

Diplomarbeit

Oliver Dahlmann

Entwicklung eines kostengünstigen Distanzmesssystems
für mobile Roboter

Studiengang Technische Informatik
Betreuender Prüfer: Prof. Dr. Gunter Klemke
Zweitgutachter: Prof. Dr. Kai von Luck
Abgegeben am 15. August 2003

Entwicklung eines kostengünstigen Distanzmesssystems für mobile Roboter

Stichworte

Mobiler Roboter, Ultraschall, Infrarot, RCX

Zusammenfassung

Diese Diplomarbeit beschreibt die Entwicklung eines kostengünstigen, auf der Basis von Ultraschall- und Infrarot-Sensoren basierenden Messsystems, das mit einem Mikrocontroller ausgestattet die Messwerte vorverarbeitet und dem Zielsystem in geeigneter Form einen kanonischen Entfernungswert übermittelt. Es erlaubt einen einfachen Anschluss an das verbreitete RCX-Modul des LEGO Robotik-Lehrsystems ‚Mindstorms‘. Die Hardware basiert auf einem AVR-Microcontroller, die Software ist in Assembler implementiert. Für den im RCX integrierten Hitachi-H8-Controller wird eine C/Assembler-Library zur Kommunikation mit dem Modul bereitgestellt.

Development of a lowcost distance measurement system for use with mobile robots

Keywords

mobile robot, ultrasonic, infrared, RCX

Abstract

This paper describes the development of a lowcost, ultrasonic- and infrared-sensors based measuring system which equipped with a microcontroller preprocesses measured data and transmits a canonic distance value to the host system in an appropriate form. It permits a simple connection to the wide-spread RCX module of the LEGO Robotics Invention System 'Mindstorms'. The hardware is based on an Atmel AVR-Controller, the software is implemented in assembler. A C-Library for the Hitachi H8 microcontroller, integrated in the RCX Computer, has been developed.

Inhaltsverzeichnis

1 Einleitung.....	4
1.1 Motivation.....	4
1.2 Aufbau der Arbeit.....	7
2 Analyse.....	8
2.1 Anforderungen.....	8
2.1.1 Hardware-Anforderungen.....	8
2.1.2 Funktionale Anforderungen.....	9
2.1.3 Sonstige Anforderungen.....	9
2.2 Aktive und passive Sensoren.....	9
2.3 Marktanalyse.....	10
2.3.1 Infrarot-Sensoren.....	10
2.3.2 Ultraschall-Sensoren.....	13
2.3.3 Laserscanner.....	16
2.3.4 Kameras.....	18
2.3.5 Kompass.....	19
2.3.6 GPS-Empfänger.....	21
2.3.7 Radar-Sensor KMY24.....	22
2.3.8 Fazit.....	23
3 Design.....	25
3.1 Distanzmessmodul.....	25
3.2 Polaroid Ultraschall-Sensor.....	25
3.3 Sharp Infrarot-Sensor.....	27
4 Realisierung.....	31
4.1 Aspekte zur Auswahl des Mikrocontrollers.....	31
4.2 Mögliche Mikrocontroller.....	32
4.2.1 Infineon C5xx (vormals Siemens SAB 80C5xx).....	32
4.2.2 Microchip PICmicro.....	32
4.2.3 Atmel AVR.....	33
4.3 Unterschiede zwischen PIC und AVR.....	34
4.4 Entscheidung für den AVR.....	37
4.5 Physikalisches Design.....	37
4.5.1 Ultraschall-Entfernungsmessung.....	37
4.5.2 Ultraschall-Impuls-Erzeugung.....	40

4.5.3	Ultraschall-Echo-Detektion.....	43
4.5.4	Infrarot-Entfernungsmessung.....	47
4.5.5	Berührungserkennung.....	48
4.5.6	Datenübermittlung zum Zielsystem.....	49
4.5.7	Bidirektionale Kommunikation über RCX-Sensor-Port.....	51
4.5.8	Stromversorgung.....	53
4.6	Aufbau.....	55
4.6.1	Labormuster auf Steckplatinen.....	55
4.6.2	Erste Prototypen.....	56
4.6.3	Labormuster auf Lochrasterplatine.....	56
4.6.4	Layout.....	58
4.6.5	Gehäuseeinbau.....	59
4.7	Software (Mikrocontroller-Programmierung).....	61
4.7.1	Ultraschall-Messung.....	65
4.7.2	Infrarot-Messung.....	66
4.7.3	Messwert-Filterung.....	69
4.8	Software (RCX-Programmierung).....	72
4.9	Funktions- und Leistungstest.....	76
4.9.1	Messwerte in Abhängigkeit von Winkel und Entfernung.....	76
4.9.2	Linearität.....	79
4.9.3	Objekte geringer Grösse.....	80
4.9.4	Praxistest Mobiler Roboter.....	82
4.9.5	Stromverbrauch.....	83
5	Resümee.....	85
5.1	Ergebnis der Arbeit.....	85
5.2	Ausblick.....	85
A.	Schaltplan.....	92
B.	Platinenlayout und Bestückungsplan.....	93
C.	Inbetriebnahme.....	97
D.	Sourcecode (RCX).....	99
E.	Sourcecode (Atmel AT90S4433).....	101

1 Einleitung

1.1 Motivation

Die anhaltend sinkenden Preise und die zunehmende Komplexität mikroelektronischer Bauelemente bei gleichzeitig geringerem Stromverbrauch machen mobile Roboter nicht mehr nur in Forschung und Industrie, sondern auch im häuslichen Bereich in Form von Haushaltsrobotern und Lehrsystemen möglich.

Firmen wie iRobot versuchen sich erfolgreich an der Entwicklung und Markteinführung von mobilen Robotern (Abbildung 1.1), die weniger den Spaß am Basteln als vielmehr einen gewissen Teil zumeist unangenehmer Arbeit abzunehmen versprechen: „Der Erste seiner Art ist ein mobiler, autonom arbeitender Staubsauger namens Roomba. Die Philosophie, die hinter Roomba steckt, ist einfach: Um Roboter in jedes Haus zu bekommen, müssen sie vor allem eines sein: Einfach und billig.“ (Frei übersetztes Zitat aus einem Interview mit Brad Stone, [Stone]).



Abbildung 1.1: Staubsauger-Robot 'Roomba'

Nicht ganz diese Philosophie treffend, da mehr als siebenmal teurer (~ €1.500), kommt der etwas edler aussehende Trilobite der schwedischen Firma Electrolux daher (Abbildung 1.2).

Dafür erhält der Käufer einen Staubsauger, der selbständig den Weg zurück zur Ladestation findet und sich während des Saugens die Positionen der Hindernisse merkt.



Abbildung 1.2: Trilobite Staubsauger-Roboter

Auch mobile Roboter, die ohne fremdes Zutun innerhalb einer von Begrenzungsobjekten aufgespannten Fläche vollautomatisch den Rasen mähen, befinden sich bereits auf dem Weg zur kommerziellen Nutzung (Massey University in Zusammenarbeit mit dem Mischkonzern Husqvarna, siehe [Husqvarna]). Das Prinzip unterscheidet sich nicht wesentlich vom Prinzip der beiden Staubsauger, der Entwicklungsstand kann indes noch nicht mit jenen mithalten. Zur Zeit ist noch ein auf dem Rasenmäher montiertes Notebook für die Steuerung erforderlich.

Für Ausbildung und Lehre, aber auch als Spielzeug mit einem grossen Spaßfaktor, hat der Spielzeughersteller Lego vor einigen Jahren mit dem Mindstorms Robotics Invention System einen in Zusammenarbeit mit dem Massachusetts Institute of Technology entstandenen Baukasten vorgestellt, mit dem sich mobile Roboter bauen lassen (Abbildung 1.3).

Handelübliche Legosteine und einige Spezialteile wie Motoren, Sensoren und der RCX, ein batteriebetriebener Computer mit integrierten Motortreibern und Sensoranschlüssen sind die Komponenten dieses Baukastens.



Abbildung 1.3: Mobiler Roboter, mit dem Lego Robotics Invention System gebaut

Allen mobilen Systemen ist eines gemein: „An intelligent robot is a machine able to extract information from its environment and use knowledge about its world to move safely in a meaningful and purposive manner.“ (Zitat aus [Arkin]). Ein 'intelligenter' Roboter muss also in der Lage sein, Informationen aus seiner Umgebung zu ziehen, und Wissen über die Welt zu nutzen, um sich sicher in geordneter Weise bewegen zu können.

Um dies zu gewährleisten, werden Sensoren benötigt, die Umwelteindrücke in geeignete, vom Zielsystem interpretierbare Signale umsetzen.

Die dem Lego Mindstorms Robotics Invention System beiliegenden Sensoren (einfache Taster für Berührungserkennung sowie ein Infrarot-Sensor für die Erkennung kontrastreicher Linien auf dem Untergrund) reichen für die ersten Programmier-Erfahrungen. Im Raum befindliche Hindernisse lassen sich hiermit jedoch nicht berührungslos erkennen und umfahren.

Die Entwicklung eines kostengünstigen Messsystems für die Hindernis-Erkennung und Distanzmessung, das sich an den Lego-RCX-Baustein anschließen lässt, ist Gegenstand dieser Diplomarbeit.

Da ein Sensor allein oftmals nicht genügend Informationen liefert bzw. in einer Situation versagt, in denen ein anderer Sensortyp bessere Ergebnisse liefert, sollen mehrere Sensoren verschiedenen Typs von einem Microcontroller abgefragt werden. Aus den verschiedenen und voneinander mehr oder weniger stark abweichenden Messwerten soll ein kanonischer Messwert gebildet werden.

1.2 Aufbau der Arbeit

Kapitel 2 analysiert die Anforderungen an ein geeignetes Distanzmessmodul und beleuchtet den Hardwaremarkt hinsichtlich für mobile Roboter geeigneter Sensoren. In Kapitel 3 wird ein Design für das Messmodul erarbeitet und in Kapitel 4 umgesetzt. Kapitel 5 bietet eine Zusammenfassung und einen Ausblick.

2 Analyse

2.1 Anforderungen

Die Hochschule für Angewandte Wissenschaften Hamburg hat in den Aufbau eines Robotik-Bereiches investiert, um es ihren Studenten zu ermöglichen, Erfahrungen in der Programmierung und Entwicklung mobiler Roboter u.a. auf Basis des Lego Mindstorms Robotics Invention Systems, im Folgenden kurz Mindstorms RIS genannt, zu sammeln.

Mindstorms RIS basiert auf einem Computer (RCX) mit drei PWM-Motorausgängen, drei analogen Sensor-Eingängen und einer Infrarot-Schnittstelle zur Kommunikation mit einem PC.

Im Lieferumfang des Mindstorms RIS sind Taster, die den direkten Berührungs-Kontakt zu einem Hindernis signalisieren und ein Licht-Sensor, der den erkannten Helligkeitsbereich in ein analoges Signal umsetzt. Es gibt jedoch keinen Sensor, der eine Distanzmessung zu Objekten ermöglichen würde. Ein solches Sensor-Modul soll hier konzipiert werden.

Das RCX-Modul wird im Auslieferungszustand mit einer auf symbolischen Ablaufplänen basierenden grafischen Sprache programmiert, kurze Zeit nach Erscheinen des Systems entstand jedoch die OpenSource Betriebssystem-Alternative LEGOs, mittlerweile in brickOS umbenannt, die eine Programmierung des RCX-Bausteins in C, C++ und Assembler ermöglicht. Im RCX-Modul kommt ein Mikrocontroller vom Typ Hitachi/Renesas H8/3292 zum Einsatz. Hierbei handelt es sich um einen Mikrocontroller mit H8/300-Kern, 16Bit- und 8Bit-Timer, A/D-Wandler (8 Kanal, 10Bit) und 43 I/O-Leitungen. Die Registerbreite beträgt 16Bit, Low- und Highbyte jedes Registers sind jedoch auch getrennt ansprechbar.

Das Betriebssystem brickOS sowie die selbstgeschriebenen Programme lassen sich komfortabel ohne jegliche Hardware-Änderungen am RCX-Baustein über die Infrarot-Verbindung übermitteln. Für das Betriebssystem und die eigenen Programme steht eine Speicherkapazität von 32KB zur Verfügung.

2.1.1 Hardware-Anforderungen

Folgende Anforderungen an die Hardware sollen erfüllt werden:

- geringe Grösse, möglichst in zu LEGO-Bausteinen mechanisch kompatibles Gehäuse eingebaut

- geringes Gewicht, um die Mobilität des Roboters nicht einzuschränken
- geringer Strombedarf, Versorgung durch Batterie oder Akkumulator

2.1.2 Funktionale Anforderungen

Die funktionalen Anforderungen, die an das Modul gestellt werden:

- ausreichend genaue Entfernungsmessung zu verschiedenen Objekten, wie Wänden, Personen, Möbeln im Nahbereich von einigen Zentimetern bis zu einigen Metern
- elektrische und softwaretechnische Kompatibilität zu LEGO RCX-System
- leichte Verwendbarkeit in eigenen brickOS-Programmen

2.1.3 Sonstige Anforderungen

Sonstige Anforderungen, die sich durch die Zielgruppe, nämlich studentische Projekte und Hobby-Elektroniker, ergeben:

- geringer Preis
- möglichst Verwendung von Standardbauteilen
- Nachbaubarkeit

2.2 Aktive und passive Sensoren

„Sensoren können unterteilt werden in passive und aktive Sensoren. Passive Sensoren leiten Entfernungsinformationen aus der Umgebungsenergie ab, typischerweise durch die Analyse mehrerer Videobilder einer Szene. Entweder werden gleichzeitig aufgenommene Bilder mehrerer Kameras oder räumlich versetzt aufgenommene Bilder einer Kamera benutzt. ...“ (aus dem Englischen übersetzt aus [Singh, West]).

Aus dem Wissen um den räumlichen Abstand der einzelnen Bilder lassen sich Distanzen zwischen oder zu Objekten errechnen.

„Im Gegensatz dazu fügen aktive Sensoren der Szenerie Energie hinzu und sind somit nicht abhängig von Umgebungslichtbedingungen...“ ([Singh, West]).

Aktive Infrarot-Sensoren senden also Infrarot-Licht aus, um die hierbei entstehende Reflektion messen zu können. Ebenso senden Ultraschall-Sensoren ein kurzes Ultraschall-Paket aus, um dessen Reflektion messen zu können.

2.3 Marktanalyse

Im Folgenden soll untersucht werden, welche Möglichkeiten der Markt bietet, wenn es um Positions-, Richtungs- und Objektdistanz-Sensoren in Form von Fertigmodulen oder Bausätzen für mobile Roboter geht. Hierbei wird nicht nur auf zum LEGO-System kompatible Module eingegangen, da sich alle analogen Messgrößen mit skalarem Charakter mit vertretbarem Aufwand in einen vom RCX verarbeitbaren Wert umsetzen lassen.

2.3.1 Infrarot-Sensoren

Lynxmotion: Die Firma Lynxmotion bietet kleine, recht preiswerte Sensor-Module (Abbildung 2.1) für den Einbau in eigene Roboter-Konstruktionen an, u.a. ein Infrarot-Modul (Part No. #3-573, \$34,95), das Hindernisse, die das ausgestrahlte Infrarotlicht reflektieren, melden kann.

Zu diesem Zweck ist ein Infrarot-Sensor von Panasonic vom Typ PNA4602M (in der vorigen Version war es ein SHARP GP1U581Y) zusammen mit zwei Infrarot-LED's auf einer kleinen Platine untergebracht. Mittels der zwei einzeln ansteuerbaren LED's ist es möglich, ein links, rechts oder frontal zum Sensor liegendes Hindernis zu detektieren. Zwei rote 3mm-LED's dienen als visuelle Kontrolle: Erkennt der Sensor ein Hindernis, so leuchtet die der gerade leuchtenden IR-LED benachbarte rote LED.

Eine Entfernungsmessung wird nicht direkt durchgeführt, vielmehr lässt sich über die LED-Helligkeit ein Schwellwert im Bereich von etwa 8“ bis 26“, abhängig von den Objekt-Eigenschaften, vorgeben.

Mittels zweier Potentiometer lassen sich LED-Helligkeit und Trägerfrequenz (durch Modulation des LED-Stromes und durch Verwendung eines frequenzselektiven Empfängers ist Betrieb bei direkter Sonnenlichteinstahlung möglich) verändern. Die Modulationsfrequenz liegt bei etwa 38kHz (Schaltplan siehe Abbildung 2.2).

Der Anschluss an das Zielsystem geschieht über zwei Leitungen, mit denen die linke und rechte LED einzeln angesteuert werden können und eine Leitung, deren Pegel ein Hindernis meldet (siehe [Robotstore1]).

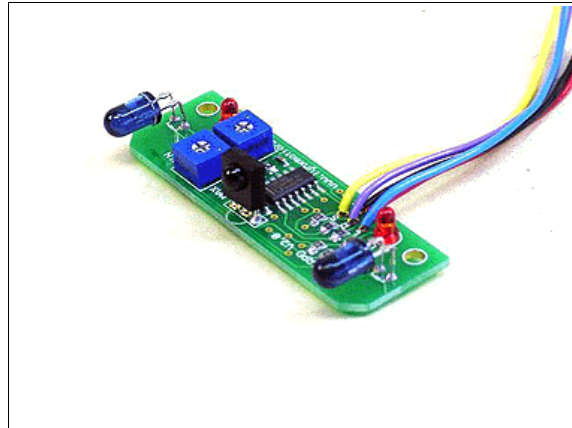


Abbildung 2.1: Infrarot-Sensor (Platine)

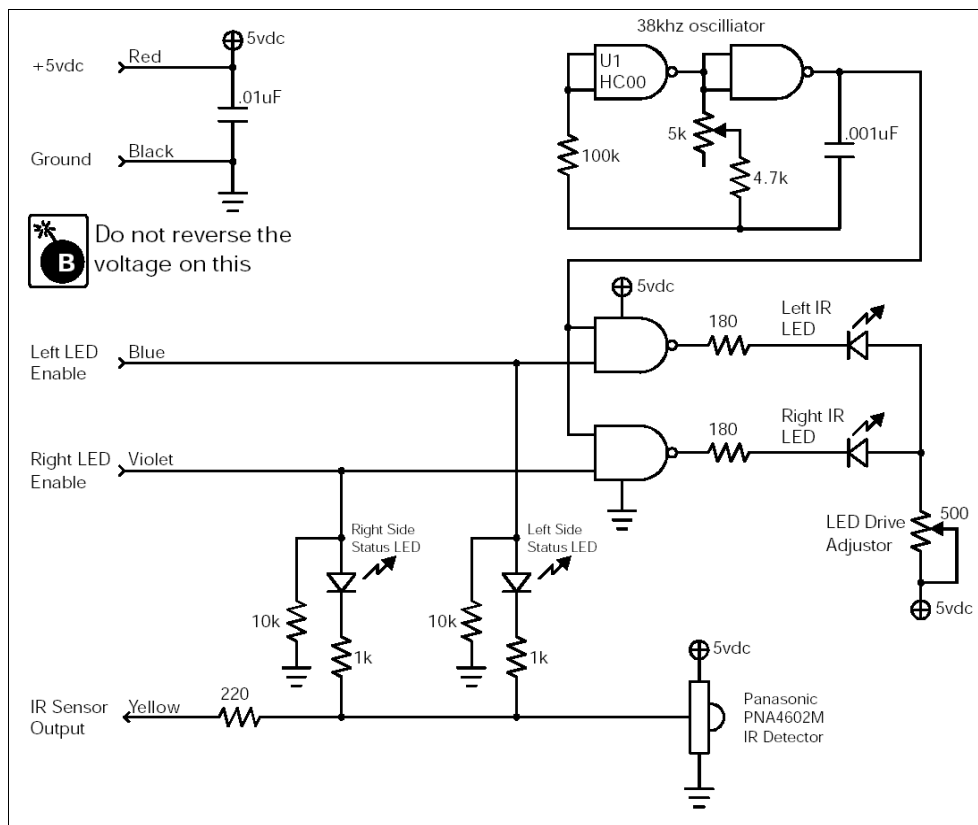


Abbildung 2.2: Infrarot-Sensor (Schaltplan)

Von SHARP gibt es einige sehr kleine und leichte Sensoren (Übersicht unter [SharpIR]), mit denen es möglich ist, Entfernungen zu Objekten sehr viel genauer aufzulösen als mit dem zuvor beschriebenen. Diese Sensoren

arbeiten alle nach dem Triangulationsprinzip, auf das später in dieser Arbeit näher eingegangen wird. Die Unterschiede zwischen den Sensoren liegen im Messbereich und im Interface:

Alle Sensoren verfügen über ein Drei- oder Vierdraht-Interface, wobei eine Leitung für die positive Versorgungsspannung (V_{CC} 5V), eine andere mit Masse (GND) belegt ist.

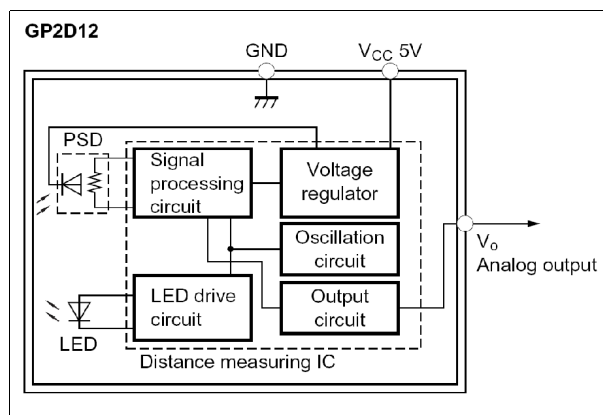


Abbildung 2.3: Blockschaltbild Sharp GP2D12

Die dritte Leitung (V_o) ist der Signalausgang: Während andere Typen einen digitalen Ausgang besitzen, der bei Über- oder Unterschreiten einer fest eingestellten Distanz zum Objekt den Pegel wechselt, verfügt der GP2D12 über einen analogen Ausgang, der im Bereich von 10 cm – 80 cm einen Spannungshub von etwa 2 V ausgibt.

Einer dieser Sensoren (GPD2D02) verfügt über einen seriellen Digital-Ausgang, wobei eine vierte Leitung für ein Taktsignal erforderlich ist. Dieser Sensortyp ist jedoch auf der entsprechenden Webseite des Herstellers nicht (mehr) zu finden, daher wird auf ihn im Folgenden nicht weiter eingegangen.

Der Spannungshub des Ausgangs des GP2D12 lässt sich über einen A/D-Wandler in digitale Werte umwandeln und vom Mikrocontroller weiterverarbeiten.

Der Sharp-Sensor arbeitet aktiv, d.h. er beleuchtet die Szenerie mit einer Infrarot-Leuchtdiode. Der Lichtstrahl ist stark gebündelt. Ein Position Sensitive Detector (PSD), der in einem festen Abstand und Winkel zur Lichtquelle angebracht ist, wandelt das vom Objekt reflektierte Licht in eine Spannung um.

2.3.2 Ultraschall-Sensoren

Beim Robotstore sind ebenfalls Ultraschall-Sensoren erhältlich, hier Ultraschall-Owl-Scanner (Part No. #3-705, \$129) genannt. Dieses Modul basiert auf dem Instrument-Grade-Sensor von Polaroid, bringt jedoch eine eigene Platine (siehe Abbildung 2.4) mit, auf der die Pulserzeugung, Ultraschallempfänger sowie ein Mikrocontroller (BasicStamp2) mit seriellem Interface untergebracht sind. Mit dem Zielsystem wird über die serielle Verbindung mit 9.600 Baud kommuniziert.

Einfache Befehle (repetierende Messung, Einzelmessung) können hierüber übermittelt werden. Der Messbereich liegt zwischen 15 cm und etwa 2,70 m, die Auflösung beträgt etwa 1 cm. Der Messwert wird ausserdem als Analog-Signal ausgegeben (0-5 V). Ein Servo zum Drehen des Ultraschallsensors lässt sich anschliessen (siehe [Robotstore2]).

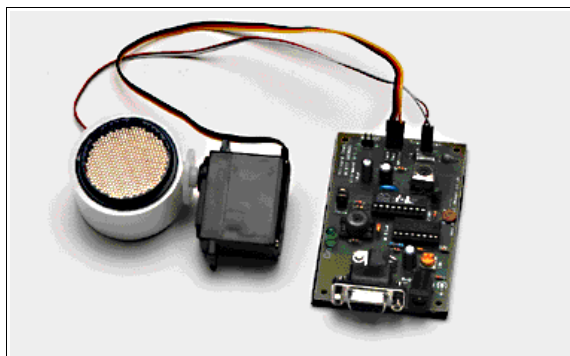


Abbildung 2.4: Ultrasonic-Owl-Scanner

Bei Robot Electronics, UK, ist das SRF08 Ultra sonic range finder Modul (Abbildung 2.5, 2.6) zum Preis von £25,50 erhältlich. Die Kommunikation mit dem Zielsystem findet über einen I2C-Bus statt, als Controller kommt auf dem Board ein PIC16F872 zum Einsatz. Der Erkennungsbereich liegt bei 3 cm bis etwa 6 m, die analoge Verstärkung des Ultraschall-Empfangsverstärkers ist in 32 Schritten einstellbar. Das Modul arbeitet mit getrennten Kapseln für Ultraschall-Sender und -Empfänger. Zusätzlich bietet das Modul einen Lichtsensor in Form eines LDR (lichtabhängiger Widerstand). In einer speziellen Betriebsart, die für die Weiterverarbeitung der Entfernungs-Daten in neuronalen Netzwerken besonders geeignet sein soll, arbeitet das Modul mit verringerter Messgenauigkeit (der Messbereich wird in eine zweistellige Anzahl diskreter Bereiche unterteilt), jedoch der Möglichkeit, mehrere Echos von hintereinanderliegenden Objekten zu erfassen.

Genauere Informationen zur Entstehungsgeschichte des Moduls, Software und Schaltplan findet man unter [SRF08].



Abbildung 2.5: SRF08 Ultrasonic Range Finder

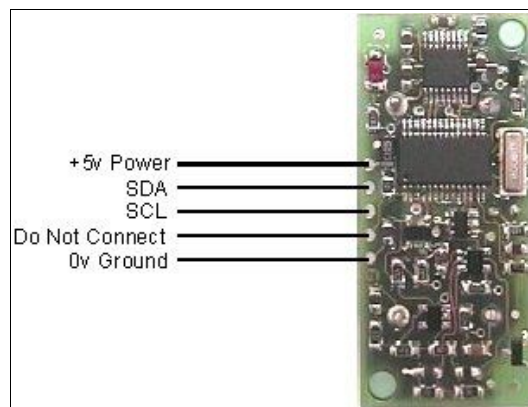


Abbildung 2.6: SRF08 Platine (Lötseite)

Vom Hersteller des beim Ultrasonic-Owl-Scanner verwendeten Sensors, Polaroid, ist eine Platine (siehe auch Abbildung 2.7) erhältlich, die die komplette Elektronik zur Ultraschall-Impuls- und Hochspannungserzeugung, Verstärkung und Echodetektion beinhaltet.

Diese Platine kann mit wenig Aufwand von einem Mikrocontroller angesteuert werden. Nötig ist nur ein Timer zur Messung der Zeitdifferenz zwischen Pulserzeugung und Reflektionserkennung.

Der daran verwendete Ultraschall-Sensor (Typbezeichnung 'Series 600, Instrument Grade') dient gleichermaßen als Ultraschallsender und -empfänger und wird daher auch Ultraschall-Transducer bezeichnet.

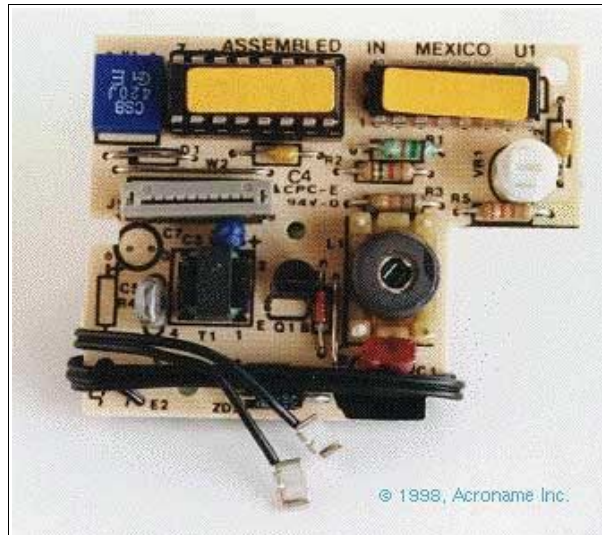


Abbildung 2.7: Polaroid 6500 Ultrasonic Range Finder

In Verbindung mit dieser Platine liegt der Messbereich bei etwa 15 cm bis maximal 5 m, abhängig von den Objekt-Eigenschaften.

Die verwendeten Ultraschallkapseln sind keine für mobile Roboter neuentwickelten Sensortypen: Sie werden schon seit Jahrzehnten in Kameras oder Bewegungsmeldern für den Einbruchmeldeanlagenbereich verwendet.

Hier werden mit Hilfe von Ultraschall- oder Infrarot-Sensoren Räume auf Veränderungen, wie Bewegungen von Personen und anderen Objekten, überwacht. Das abgestrahlte Ultraschall-Signal im Bereich von 20 bis 50kHz wird durch sich bewegende Objekte mit leicht veränderter Frequenz (Dopplereffekt) reflektiert, was sich mit wenig Aufwand auswerten lässt.

Die Abbildung 2.8 zeigt die Platinen zweier Ultraschall-Bewegungsmelder. Die rechte, kleinere, jüngere und grösstenteils in SMD-Technik bestückte Platine ist aus einem sogenannten Dualmelder entnommen, der zusätzlich zur Ultraschallmessung eine Infrarot-Messung (PIR-Prinzip) durchführt. Beide Melder arbeiten mit getrennten Ultraschall-Sender- und Ultraschall-Empfänger-Kapseln wie im bereits beschriebenen SRF08.

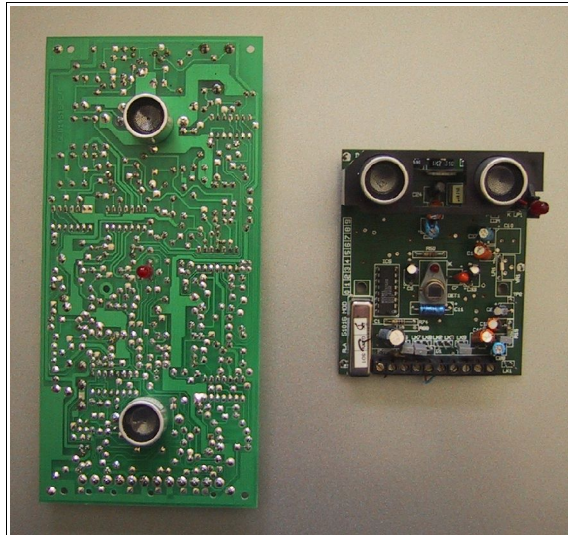


Abbildung 2.8: Bewegungsmelder

2.3.3 Laserscanner

Herkömmliche Laserscanner, die z.B. benutzt werden um Gefahrenbereiche abzusichern, tasten nur eine radiale Zeile der Umgebung ab. Über eine mit einem rotierenden Spiegel realisierte Ablenkeinheit wird ein modulierter (gepulster) Laserstrahl horizontal über das zu erfassende Areal geführt. Das Laserlicht wird vom Objekt reflektiert, die Zeit zwischen Aussendung eines Pulses und dem Empfang der Reflektion wird gemessen. Das Messergebnis ist direkt proportional zur Entfernung (siehe Abbildung 2.9, Funktionsweise Laserscanner).

Bei einer Ausbreitungsgeschwindigkeit des Lichts von etwa 300.000 km/s legt das Licht die Strecke von 20 cm in etwa $6,66 \cdot 10^{-11}$ s zurück, also 66,6 ps. Der kurze Lichtpuls wird vom Hindernis zum Scanner zurückreflektiert, legt also bis zur Detektion die doppelte Entfernung zwischen Scanner und Hindernis zurück. Will man daher die Entfernung mit ungefähr ± 5 cm Genauigkeit messen, so werden Timer benötigt, die etwa 60 ps Auflösung aufweisen, also mit einer Taktfrequenz von etwa 3 GHz arbeiten. Der Laser muss sich entsprechend schnell in seiner Intensität modulieren lassen.

Der 2D-Laserscanner PLS des Herstellers Sick AG ([Sick]) verfügt über eine RS-422 / RS-232-Schnittstelle, auf der die Einzelmesswerte eines Zeilen-Scans ausgegeben werden.

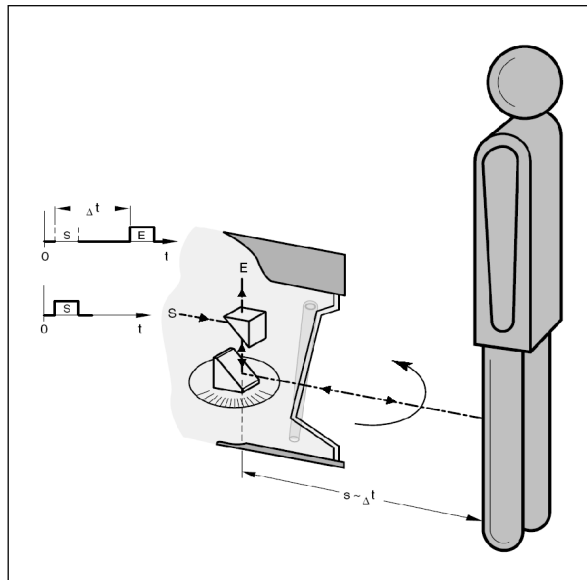


Abbildung 2.9: Funktionsweise Laserscanner

Das Fraunhofer-Institut hat mit dem AID-3D (Abbildung 2.10) einen auf dem SICK PLS-Scanner basierenden 3D-Scanner vorgestellt. An das Gehäuse des 2D-Scanners wurde ein Servo-Motor angebracht, der es ermöglicht, einen vertikalen Winkel von 90° zu überstreichen. Hiermit lassen sich nun nacheinander mehrere Zeilen erfassen, so dass sich eine Matrix aus Entfernungswerten ergibt.

Der AID-3D ermittelt in 12 Sekunden die Entfernung zu 115200 Punkten in einem Bereich von 150° Horizontal und 90° Vertikal. Durch Verringerung der Punktzahl auf 22500 erhöht sich die Geschwindigkeit auf 4 s / Erfassung. Die maximal messbare Entfernung zum Objekt liegt bei 60m. Bei einer Objekt-Distanz von 60m muss das Licht also 120m Entfernung zurücklegen, dies entspricht einer Zeitdifferenz von etwa 200ns.

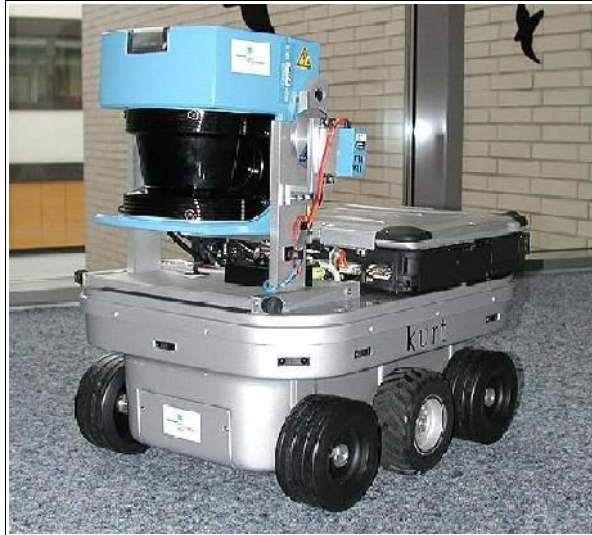


Abbildung 2.10: mit dem AID-3D ausgestatteter Roboter (Kurt2, Fraunhofer Institut)

Laserscanner sind aufgrund der aufwendigen Optoelektronik und Mechanik noch sehr teuer. Sie liefern aufgrund der hohen Menge an Messwerten ein sehr viel besseres Bild von der Umwelt, als dies einfache Ultraschall- oder Infrarot-Sensoren können, jedoch geht hiermit auch ein sehr viel höherer Aufwand in der Verarbeitung der gelieferten Daten einher.

2.3.4 Kameras

Ein interessantes kommerziell erhältliches Modul ist das CMUcam Vision System, eine kleine CCD-Kamera mit eigenem Mikrocontroller, das selbständig die Position und Grösse (bei bekannter Objekt-Grösse die Entfernung) von sich farblich oder aufgrund ihrer Helligkeit vom Hintergrund abhebenden Objekte bestimmen kann (Abbildung 2.11).

Das Modul wird über ein serielles Interface mit dem Zielsystem verbunden. Hierüber können neben Objekt-Position auch Informationen zur Farbverteilung des Gesamtbildes oder die komplette Bitmap eines Bildes abgefragt werden.

Eine der Betriebsarten erlaubt die Erfassung und automatische Verfolgung (Tracking) des ersten, nach dem Einschalten gesehenen Objektes. Dies kann auch physisch durch ein angeschlossenes, die Kamera nachführendes Servo geschehen, das vom Mikrocontroller des Moduls gesteuert wird.

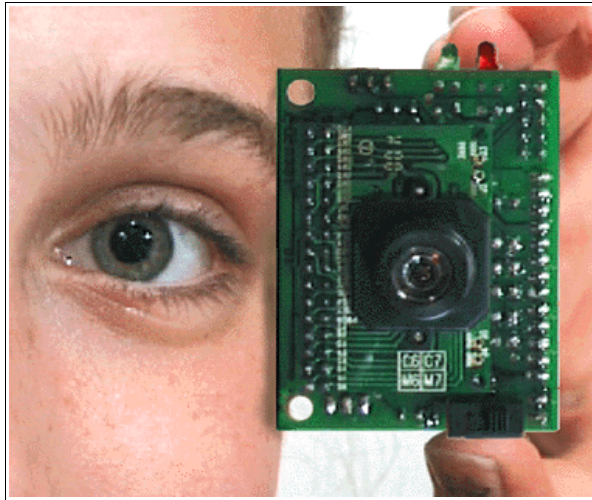


Abbildung 2.11: Kameramodul CMUcam

Bei entsprechendem Aufwand kann mittels einer Kamera auch eine Entfernungsbestimmung durchgeführt werden. Hierzu müssen dem Zielsystem Angaben über die genaue Größe aller im Blickfeld vorkommenden Objekte zur Verfügung stehen, weiterhin muss das Zielsystem in der Lage sein, die sichtbaren Objekte zu erkennen (zu unterscheiden).

Eine weitere Möglichkeit ist die Verwendung von (mindestens) zwei Kameras, die dem Roboter eine Stereosicht ermöglichen. Die Kameras sind hierzu nebeneinander in einem bekannten Abstand montiert und betrachten die Szenerie mit leicht verschiedenen Winkeln, ähnlich wie alle Säugetiere dies mit ihren Augen tun. Aus den beiden Bildern lässt sich mit recht hohem Rechenaufwand die Entfernung zu den erfassten Objekten bestimmen.

Während die bisher aufgeführten Sensoren sowohl eine Bestimmung der Position in statischen, kartografierten Räumen als auch die Erkennung von Objekten in dynamischen Szenarien ermöglichen, sollen nun als Ergänzung Sensoren betrachtet werden, die zur Positions- und Richtungsbestimmung des Roboters geeignet sind.

2.3.5 Kompass

Von der Firma Devantech gibt es ein preiswertes (\$46) Kompass-Modul, das mit einer Genauigkeit von 3 - 4 Grad sehr gute Ergebnisse erzielt (Abbildung 2.12). Es lässt sich durch seine zwei Ausgänge universell einsetzen und mit verschiedensten Zielsystemen bei wenig Aufwand koppeln.

Ausgang1 sendet ein pulsbreiten-moduliertes Rechtecksignal, dessen Pulsbreite mit 1 ms bis 37 ms proportional zum gemessenen Winkel von 0..360° ist.

Ausgang2 liefert über ein I2C-Interface ein serielles Bitmuster (0..255 oder 0..3599).

Der Kompass basiert auf zwei in 90°-Winkel angeordneten Magnetfeld-Sensoren von Philips (KMZ51), die auf magneto-resistiven Wheatstone-Messbrücken basieren.

Der KMZ51 verfügt über integrierte Spulen, um eine Messbrücke, die einem starken Magnetfeld ausgesetzt war, wieder zu kompensieren. (Datenblatt unter [KMZ51]).

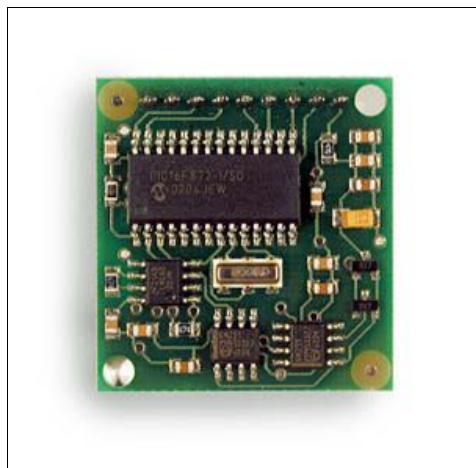


Abbildung 2.12: Kompass Devantech

Das von RobotStore angebotene Kompass-Modul basiert auf dem Dinsmore Sensor 1490, einem mechanischen, flüssigkeitsgefüllten Magnet-Kompass, dessen Nadelwinkelstellung mit Magnetfeldsensoren nach dem Hall-Prinzip ausgewertet wird: Vier Hall-Sensoren (einer pro Himmelsrichtung) mit Open-Kollektor-Ausgängen sind im Kompass enthalten. Hiermit lassen sich 8 Richtungen (N, NO, O, SO, S, SW, W, NW) detektieren, also eine Winkelgenauigkeit von 45° erzielen (Abbildung 2.13).

Durch den mechanischen Aufbau und der daraus resultierenden Massenträgheit der Kompassnadel ist jede Bewegung des Roboters mit Schwingungen der Nadel verbunden.

Mit schlechterer Genauigkeit und wahrscheinlich auch sehr viel grösserer Anfälligkeit gegenüber äußeren Magnetfeldern als der KMZ51 lässt sich der 1490-Sensor jedoch sehr viel einfacher als dieser mit beliebigen Mikrocontrollern verbinden.

Alternativ ist von Dinsmore ein Kompass-Sensor mit analogen Hall-Sensor-Ausgängen verfügbar, der sich über A/D-Wandler genauer abfragen lässt. Das Problem der schwingenden Masse, das beim KMZ51 prinzipbedingt nicht auftritt, bleibt jedoch.



Abbildung 2.13: Kompass (mechanisch, mit Hall-Sensoren)

2.3.6 GPS-Empfänger

GPS (Global Positioning System) wurde von den USA zunächst für militärische Zwecke, wie z.B. genaue Zielführung von Raketen, eingeführt. Seit einigen Jahren ist GPS auch zivil nutzbar, wovon viele in Kraftfahrzeuge und in der Schifffahrt eingesetzte Navigationssysteme Gebrauch machen.

GPS-Empfänger messen die Entfernung zu mehreren Satelliten, indem die Laufzeit der Satelliten-Signale über empfangene Zeitstempel errechnet wird. Hiermit lässt sich eine sehr genaue Positionsbestimmung durchführen.

Der in der Abbildung 2.14 gezeigte, etwa kreditkartengrosse GPS-Empfänger arbeitet mit 12 Kanälen, der Preis des Moduls liegt bei etwa \$70 (weitere Informationen auf der Webseite des Herstellers: [GPS]).

Im Sekundenabstand werden Positions-Messungen durchgeführt. Zwei serielle Ports mit TTL-kompatiblen Signalen stehen zur Anbindung an das Zielsystem zur Verfügung. Die Stromaufnahme liegt bei durchschnittlich 50mA (3,3V).



Abbildung 2.14: GPS-Empfänger

2.3.7 Radar-Sensor KMY24

Das Wort Radar kommt aus dem Englischen und steht als Abkürzung für „**R**adio **D**etection and **R**anging“. „...Ein Radargerät arbeitet im Frequenzbereich von 500 MHz bis 40 GHz, was Wellenlängen von 60 cm bis 0,75 cm entspricht. Das Funktionsprinzip beruht auf der Tatsache, dass Funkwellen von festen Gegenständen, besonders von solchen aus Metall, reflektiert werden.“ [Radar]

Günstige Radar-Sensoren wie der Siemens KMY24 (€51,10, Conrad Elektronik) geben Aufschluss über die Differenzgeschwindigkeit des mobilen Systems zu Objekten der Umgebung. Der KMY24 strahlt über die in das Gehäuse integrierte Antenne ein Mikrowellensignal ($f_0 = 2,45$ GHz) ab.

Objekte, die sich im Ausbreitungsfeld des Signals befinden, reflektieren dieses. Bewegen sich die Objekte, verändert sich das Signal geringfügig in der Frequenz (im Bereich einiger Hz, Dopplereffekt).

Das reflektierte Signal wird vom KMY24 wieder empfangen und über eine Mischerstufe, aufgebaut aus zwei Mischerdioden mit dem Signal des HF-Oszillators gemischt. Die dabei auftretende Differenzfrequenz ist proportional zur Geschwindigkeit des Objektes, der Phasengang der beiden Ausgänge liefert Informationen über die Bewegungsrichtung.

Die Entfernung zu einem Objekt lässt sich mit diesem Sensor nicht bestimmen. [KMY24]

Mit Radar-Sensoren lassen sich auch Entfernungsmessungen vornehmen, indem die Laufzeit eines Impulspaketes bestimmt wird:

Bei einer Ausbreitungsgeschwindigkeit der Mikrowellen nahe der Lichtgeschwindigkeit ist eine hohe zeitliche Auflösung nur mit hohem Aufwand möglich: Ein 1 m vom Sender entferntes Objekt würde unter der Annahme, die Ausbreitungsgeschwindigkeit des elektromagnetischen Feldes würde $3 \cdot 10^8$ m/s betragen, Signallaufzeiten von ungefähr 6,6 ns hervorrufen. Mit den in Mikrocontrollern integrierten Timern lassen sich derart kleine Laufzeiten nicht bestimmen, mit externen GHz-tauglichen Zählerbausteinen wäre eine Genauigkeit im Dezimeter-Bereich denkbar.

Eine andere Möglichkeit wäre die Messung der Phasendifferenz des abgestrahlten und des empfangenen Signals: Auch hieraus lässt sich die Entfernung zu einem Objekt bestimmen, jedoch nur im Bereich einer Wellenlänge (Die Länge einer Periode von $f_0 = 500$ MHz beträgt etwa 60 cm).

Eine Kombination beider Verfahren (Laufzeit-Bestimmung mit einem kurzen Impulspaket und Phasendifferenz-Messung) dürfte zu genauen Ergebnissen auch bei geringen Entfernungen führen.

2.3.8 Fazit

Es gibt mittlerweile ein breites Spektrum unterschiedlichster Sensoren, die für mobile Roboter geeignet und dabei trotzdem, mit Ausnahme des Laserscanners, kostengünstig sind.

Im Folgenden eine tabellarische Zusammenfassung der bisher untersuchten Sensortypen:

<i>Sensortyp</i>	<i>Kosten</i>	<i>Aufwand bei Auswertung</i>	<i>Gewicht</i>	<i>Liefert Daten über</i>
Infrarot	gering	gering	gering	Distanz
Ultraschall	gering	gering/mittel	gering	Distanz
Kamera	mittel	mittel/hoch	gering	Farbe und Helligkeit, bei hohem Aufwand Distanz
Kompass	mittel	gering/mittel	gering	absolute Ausrichtung
GPS	mittel	gering/mittel	gering/mittel	absolute Position
Laserscanner	hoch	hoch	hoch	Distanz (zu sehr vielen Messpunkten), Reflektionseigenschaften

Einige Sensoren wie Kompass sind nur für die Richtungsbestimmung geeignet, während Sensoren wie GPS-Empfänger genaue Informationen über die Position des mobilen Roboters liefern können.

Kamerabasierte Sensoren lassen sich leicht einsetzen, wenn nur Objekte erkannt werden sollen, die sich anhand ihrer Farbe oder ihrer Helligkeit von der Umgebung abheben. Entfernungsmessungen sind nur mit beträchtlichem Aufwand möglich.

Laserscanner sind für die Entfernungsmessung und die automatische Kartierung sehr gut geeignet, jedoch für den hier verfolgten Anwendungszweck (noch) viel zu teuer. Da ultraschnelle Laser samt passender Treiberbausteine aufgrund der Massenfertigung immer billiger werden (kommen in CD- und DVD-Writeern zum Einsatz, von der Leistung für geringere Entfernungen sicher ausreichend) wird sich dies sicherlich in der nächsten Zeit ändern.

Solange Laserscanner jedoch nur in extrem hohen Preisregionen zu finden sind, werden Ultraschall- und Infrarot-Sensoren für die Distanzmessung weiterhin für viele Anwendungen die erste Wahl sein.

3 Design

3.1 Distanzmessmodul

Das Distanzmessmodul soll zu geringen Kosten produzierbar sein. Es soll ein in geschlossenen Räumen interessanter Messbereich von 0 mm (Berührung) bis hin zu einigen Metern erfasst werden.

Um den gewünschten Bereich mit akzeptabler Genauigkeit zu erfassen, werden mehrere Sensoren verwendet:

- Zwei an der Front des Roboters angebrachte Taster, die die Berührung eines Hindernisses signalisieren,
- ein Infrarot-Sensor für die Entfernungsbestimmung im Nahbereich (Entfernung <1 m)
- sowie ein Ultraschall-Sensor, der Entfernungen im Bereich einiger cm bis zu einigen Metern, je nach Grösse und Beschaffenheit des Hindernisses, erfassen kann.

Das Modul soll einen analogen Wert zur Verfügung stellen, der vom beschriebenen RCX-Computer weiterverarbeitet werden kann. Um universellen Einsatz zu gewährleisten, soll auch ein serieller RS-232C-Anschluss für die Datenausgabe und Funktionssteuerung genutzt werden können.

Der Stromverbrauch soll im Hinblick auf den Einsatzzweck möglichst gering sein, so dass eine Speisung durch Batterien/Akkumulatoren auch über längere Zeit möglich ist.

3.2 Polaroid Ultraschall-Sensor

Der Ultraschall-Sensor (Typbezeichnung 'Series 600, Instrument Grade') von Polaroid, im Folgenden nur Polaroid-Sensor genannt, ist ein nach dem piezoelektrischen Prinzip arbeitender Sensor. Er besteht im wesentlichen aus einer vergoldeten Membran, die als Kontaktfläche für eine Piezo-Kristallscheibe dient, die innerhalb eines runden Metallgehäuses mit etwa 3,8 cm Durchmesser untergebracht ist.

Der Sensor dient gleichermassen als Ultraschallsender und -empfänger und wird daher auch Ultraschall-Transducer bezeichnet. Anlegen einer hohen elektrischen Spannung führt zur schnellen mechanischen Verformung des Piezokristalls. Umgekehrt führen mechanische Bewegungen der Membran zur Erzeugung einer Spannung.

Die Entfernungsmessung geschieht nach folgendem Prinzip: Ein kurzes Ultraschallpaket, typischerweise 16 Schwingungen mit einer Frequenz von etwa 50kHz, wird abgestrahlt. Hierzu sind Impulse mit einer Spannungsstärke von etwa $400V_{SS}$ erforderlich.

Nach Aussendung des Impulspakets, in englischsprachigen Funktionsbeschreibungen Burst genannt, wartet die Auswerteelektronik einige Millisekunden, um die Eigenschwingungen des Sensors nicht als Echo zu interpretieren.

Nach Ablauf dieser Wartezeit wird die Kapsel als Empfänger benutzt. Ein in Ausbreitungsrichtung stehendes Objekt reflektiert den Burst zur Ultraschallkapsel zurück. Die zeitliche Differenz zwischen Burst-Aussendung und Empfang kann gemessen werden.

Aus der gemessenen Zeitdifferenz kann die Entfernung mit hoher Genauigkeit errechnet werden. Durchdringt der Schall vor der Reflektion andere Medien als Luft, so kann das Messergebnis verfälscht werden (siehe [Physik], S.394). Weiterhin ist zu beachten, dass die Schallgeschwindigkeit von der Temperatur beeinflusst wird (siehe [Schallgeschwindigkeit]). Mit hinreichender Genauigkeit gilt:

$$c \approx 331 \text{ m/s} + 0,6 \cdot \vartheta \text{ mit } \vartheta = \text{Temperatur} [^{\circ}\text{C}]$$

Bei einer Temperatur von 20°C gilt also $c \approx 343\text{m/s}$.

Wird die Laufzeit des Schalls von Aussendung bis zur Echo-Detektion gemessen, so ergibt als Entfernung zwischen Objekt und Sensor:

$$\text{Entfernung} [mm] = \frac{c \cdot \text{Laufzeit} [\mu s]}{2 \cdot 1000}$$

In der Formel ist berücksichtigt, dass der Schall wegen des Hin- und Rücklaufs die doppelte Strecke zurückgelegt hat.

Mit zunehmender Entfernung des Objekts nehmen die reflektierten Schallwellen in der Intensität ab, daher ist ein Verstärker erforderlich, dessen Verstärkungsfaktor (auch Gain-Faktor genannt) in Abhängigkeit von der Zeit erhöht werden kann.

Vom Hersteller Polaroid wird passend zu diesem Sensor eine Platine angeboten, auf der die Impuls- und Hochspannungserzeugung, Verstärkung

und Echodetektion untergebracht ist. Diese Platine kann mit wenig Aufwand von einem Mikrocontroller angesteuert werden.

In Verbindung mit dieser Platine liegt der Messbereich bei etwa 15 cm bis 5 m.

3.3 Sharp Infrarot-Sensor

Der Infrarot-Sensor GP2D12 des Herstellers SHARP, im Folgenden nur noch Sharp-Sensor genannt, ist ein Bauteil aus einer Familie verschiedener Infrarot-Sensoren, die alle nach dem Triangulationsprinzip arbeiten.

Die Sensoren unterscheiden sich hinsichtlich des Messbereichs (10 cm - 80 cm bzw. 20 cm - 150 cm) und dem Punktdurchmesser des Infrarot-Lichtstrahls (Divergenz).

Der Spannungshub des Ausgangs des GP2D12 lässt sich über einen A/D-Wandler in digitale Werte umwandeln und vom Mikrocontroller weiterverarbeiten. Alternativ kann ein digital arbeitender Sensor (GP2D02) verwendet werden.

Der Sharp-Sensor arbeitet aktiv, d.h. er beleuchtet die Szenerie mit einer Infrarot-Leuchtdiode. Der Lichtstrahl ist stark gebündelt. Ein Position Sensitive Detector (PSD), der in einem festen Abstand und Winkel zur Lichtquelle angebracht ist, wandelt das vom Objekt reflektierte Licht in eine Spannung um. Hierbei ist weniger entscheidend, mit welcher Intensität das Licht auf den PSD strahlt, als vielmehr der Ort, der auf dem länglichen Bauteil beleuchtet wird. Dieser ist maßgeblich von der Entfernung zum Objekt abhängig.

Aus der Zeichnung (Abbildung 3.1) ist ersichtlich, dass die Auflösung im Nahbereich deutlich besser sein muss als bei höheren Entfernungen, da der Winkel und die Entfernung nicht proportional zueinander sind.

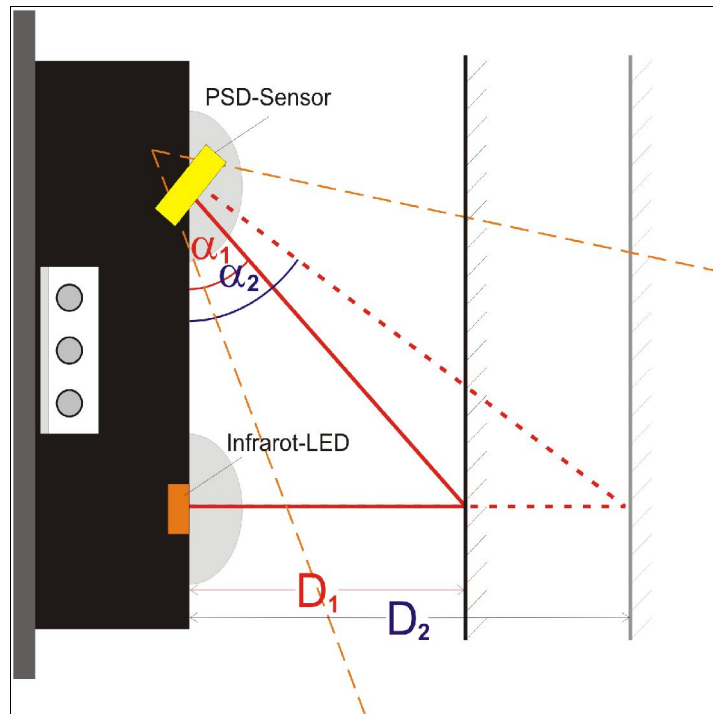


Abbildung 3.1: Triangulationsprinzip

Eine Schwäche des Sensors ist, dass der Ausgangswert nicht monoton fallend zur Entfernung verläuft. Bei Entfernungen unterhalb von etwa 8 cm nimmt der Spannungswert ebenso wie bei grösser werdenden Entfernungen oberhalb von 8 cm ab. Um einem Messwert also einen eindeutigen Entfernungswert zuordnen zu können, muss

- a) entweder mechanisch dafür gesorgt werden, dass eine Mindestentfernung zwischen Objekt und Sensor nicht unterschritten werden kann oder
- b) ein weiterer Sensor das Unter-/Überschreiten des Messwert-Maximums erkennen, so dass die nachfolgende Messwertverarbeitung den Fehler korrigieren kann.

Beim Einsatz des hier entwickelten Distanz-Messmoduls ist darauf zu achten, eine Mindestentfernung zum Messobjekt einzuhalten, damit der beschriebene Fall nicht eintreten kann.

Nachfolgend einige Grafiken (Abbildung 3.2 bis 3.6, Quelle: [Breheny]), die den Zusammenhang zwischen dem Messwert in Abhängigkeit der Entfernung bei verschiedenen Farben und Abmessungen des Objekts verdeutlichen. Die Messergebnisse basieren auf dem Sensor GP2D02, der

im Gegensatz zum besprochenen GP2D12 über einen digitalen, bitseriellen Ausgang verfügt. Von außen wird ein Taktsignal angelegt, der Sensor taktet daraufhin ein 8bittiges Messergebnis auf den Ausgang.

Zu sehen ist, dass Höhe und Breite des Objektes keinen grossen Einfluss auf die Messgenauigkeit ausüben. Die Farbe eines Objekts hingegen kann das Messergebnis signifikant beeinflussen, oberhalb Entfernungen von etwa 20 cm beträgt der Messfehler zwischen einem weißen und einem schwarzen Objekt bis zu etwa 10-15 cm.

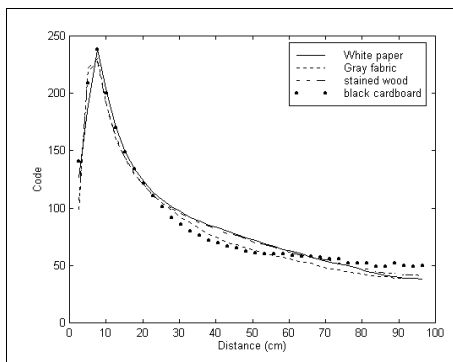


Abbildung 3.2: Abhängigkeit von Materialeigenschaften, -farbe

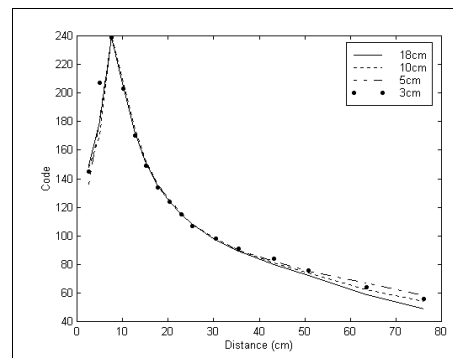


Abbildung 3.3: Abhängigkeit von der Höhe des Objekts

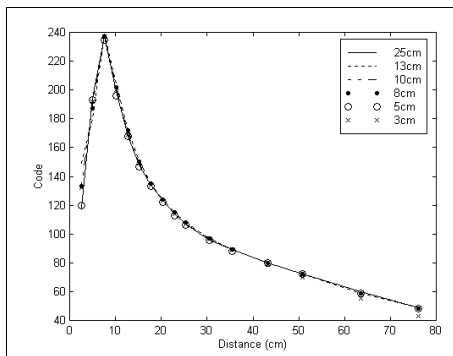


Abbildung 3.4: Abhängigkeit von der Breite des Objekts

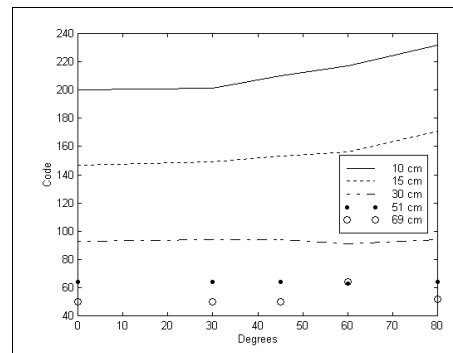


Abbildung 3.5: Abhängigkeit vom horizontalen Winkel (Graues Objekt)

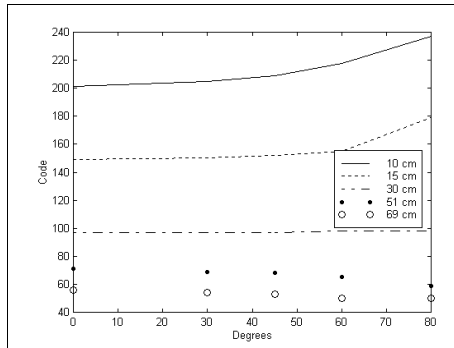


Abbildung 3.6: Abhängigkeit vom horizontalen Winkel (Weißes Objekt)

4 Realisierung

4.1 Aspekte zur Auswahl des Mikrocontrollers

Bei der Auswahl des Mikrocontrollers sind verschiedene Aspekte zu beachten:

Stromverbrauch, Grösse und somit Platinenfläche, Integration verschiedener Funktionsblöcke, Geschwindigkeit, Preis, Verfügbarkeit und nicht zuletzt die Entwicklungsumgebung.

Würde es nur auf Preis, Verfügbarkeit und in grosser Zahl vorhandener, auch freier, Entwicklungsumgebungen ankommen, könnte man sicher auf den seit über 20 Jahren eingesetzten Ur-Mikrocontroller 8031 zurückgreifen, der ursprünglich von Intel entwickelt wurde, später aber von vielen Herstellern, u.a. Philips, produziert wurde.

Was ihn von anderen aus dieser Zeit stammenden Mikroprozessoren unterscheidet, ist das Vorhandensein integrierter Funktionsblöcke wie Timer und UART (serielle Schnittstelle), was die Anzahl externer Komponenten auf der Platine deutlich verringert hat.

Ein grosser Nachteil dieses Controllers gegenüber modernen ist jedoch, dass wesentliche Bestandteile des Gesamtsystems wie RAM und ROM (oder auch E(E)PROM als Programm- und Tabellen-Speicher) nicht im Mikrocontroller integriert sind, sondern in Form externer Komponenten zum Einsatz kommen müssen. Dies verursacht zusätzliche Kosten und belegt gerade bei mobilen Systemen wertvolle Platinenfläche.

Ein weiterer wesentlicher Nachteil, der sich aus einem nicht in den Controller integrierten Programm-Speicher ergibt, tritt bei der Software-Entwicklung oder späteren Software-Updates auf: Ein solches System lässt sich nicht in-circuit programmieren, das E(E)PROM muss zur Neuprogrammierung aus dem Sockel genommen und in einem EPROM-Programmiergerät ggf. gelöscht und neu beschrieben werden.

Moderne Controller bieten internes RAM und einen internen nichtflüchtigen Programm- und Datenspeicher, der meist als Flashspeicher oder EEPROM realisiert ist. Sie lassen sich in der Schaltung (über eine serielle Verbindung) programmieren.

Um Strom- und Platinenfläche sparen zu können, wird die Wahl auf einen Mikrocontroller fallen, der über folgende Merkmale verfügt:

- integrierter A/D-Wandler für die Abfrage von Sensoren, die nur analoge Werte liefern (hier: SHARP GP2D12)
- integrierter UART, damit mit möglichst wenig externem Aufwand Kommunikation mit einem Terminal (PC) stattfinden kann
- integrierte Timer zur Zeitmessung (zur Laufzeitmessung des Ultraschall-Signals)
- integrierter RAM- und ROM-Speicher
- möglichst kleine Bauform
- möglichst geringer Strombedarf

Nicht zuletzt entscheidet die Leistungsfähigkeit der verfügbaren Entwicklungsumgebung über die Auswahl des geeigneten Controllers.

4.2 Mögliche Mikrocontroller

4.2.1 Infineon C5xx (vormals Siemens SAB 80C5xx)

Infineon C5xx-Mikrocontroller. Arbeitet nach dem CISC-Prinzip (Complex Instruction Set Computer), verfügt also über viele und komplexe Befehle. Diese Mikrocontroller-Familie ist schon länger am Markt verfügbar, einige Controller bieten 3 Timer, einen UART, internes RAM und ROM. Leider ist das interne ROM entweder maskenprogrammierbar, muss also vom Hersteller beschrieben werden, oder OTP (One Time Programmable, nur einmal programmierbar). Alternativ kann jedoch ein externer Programmspeicher in Form eines E(E)PROMs zum Einsatz kommen, für diesen Einsatz aufgrund der erforderlichen zusätzlichen Fläche generell ein Nachteil.

4.2.2 Microchip PICmicro

PICmicro®-Mikrocontroller des Herstellers Microchip. Dieser nach dem RISC-Prinzip (Reduced Instruction Set Computer) arbeitende Mikrocontroller lässt sich mit wenigen, einfachen Befehlen programmieren, die dafür jedoch sehr viel schneller ausgeführt werden als die Befehle eines CISC-Prozessors. PICmicro®-Mikrocontroller sind in vielen verschiedenen Größen und Ausstattungen (Anzahl der I/O-Leitungen, Gehäuseversionen, mit/ohne A/D-Wandler, etc.) verfügbar.

In Frage käme z.B. der 16F870 (das ‚F‘ in der Typenbezeichnung steht für Flash, also mehrfach programmierbar, ‚C‘-Typen sind OTP) mit folgenden Merkmalen:

- Befehlssatz mit 35 verschiedenen Befehlen
- 2KWord-Programmspeicher, 14Bit Befehlswortbreite
- 128 Bytes RAM Datenspeicher

- 64 Byte EEPROM Datenspeicher
- bis zu 11 Interrupt-Quellen
- SLEEP-Stromspar-Mode
- zwei 8Bit- und einem 16Bit-Timer
- 10Bit A/D-Wandler mit 5 Eingängen (Multiplexer)
- integrierter USART (Universal Synchronous Asynchronous Receiver Transmitter)
- integrierter Hardwarestack mit 8 Ebenen

Der 16F870 verbraucht sehr wenig Strom (unter 1,6 mA bei 4MHz Taktfrequenz) und lässt sich in der Schaltung programmieren. Eine Programmierumgebung für die Programmierung in Assembler ist kostenlos auf der Webseite des Herstellers verfügbar. [Microchip]

4.2.3 Atmel AVR

Atmel AVR 8Bit-RISC Mikrocontroller. AVR-Mikrocontroller sind mit einem Flash-Programmspeicher ausgestattet und in-circuit programmable.

Die typische Befehlsausführungszeit liegt wie bei den PICmicro's bei einem Taktzyklus pro Befehl, ein mit 8MHz getakteter Prozessor bringt daher etwa 8MIPS Geschwindigkeit.

Ein geeigneter Mikrocontroller aus dieser Familie ist der AT90S8535 bzw. der AT90S4433 (Angaben zum 4433 in Klammern). Er bietet folgende Möglichkeiten:

- Befehlssatz mit 118 verschiedenen Befehlen
- 32 Register
- 8 (4) KByte-Programmspeicher, min. 1000mal wiederbeschreibbar
- 512 (128) Byte RAM Datenspeicher
- 512 (256) Byte EEPROM Datenspeicher
- Stromsparmode (Power Down, per Interrupt weckbar)
- ein (zwei) 8Bit- und ein 16Bit-Timer
- 10Bit A/D-Wandler mit 6 (8) Eingängen (Multiplexer)
- Analog-Komparator
- integrierter UART
- dynamischer wachsender Stack im RAM-Speicher

Wie für den PICmicro ist auch für den AVR eine kostenlose Entwicklungsumgebung auf der Webseite des Herstellers verfügbar. [ATMEL]

4.3 Unterschiede zwischen PIC und AVR

Da ich vor dieser Diplomarbeit weder mit dem Atmel- noch dem Microchip-Mikrocontroller Erfahrungen gesammelt hatte, fiel die Entscheidung für einen dieser für das Projekt gleichermaßen geeigneten Controller ohne eine Beeinflussung durch eine eventuelle Gewöhnung an die eine oder andere Architektur, stattdessen fielen mir am Konzept des PICmicro einige Dinge auf, die ich als unnötige Einschränkung empfand.

Da wäre der begrenzte Hardwarestack, dessen Tiefe von 8 Ebenen durchaus, wenn auch selten, bei der Verschachtelung von Unterprogrammen zu einem Problem werden kann. Atmel-Controller verwenden einen Stack dynamischer Grösse, der zu kleiner werdenden Adressen hin wächst. Die Wurzel des Stacks wird nach dem Reset durch das Schreiben der Startadresse in das oder die (abhängig von der Grösse des RAM-Speichers) entsprechende(n) Register festgelegt.

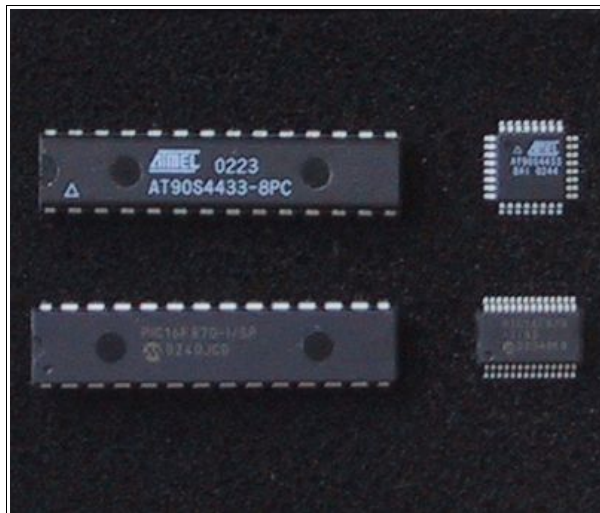


Abbildung 4.1: AT90S4433 (oben) und PIC16F870 (unten), verschiedene Bauformen

Die Hardwarefunktionen wie auch das interne RAM werden beim PICmicro über mehrere ‚Registerbänke‘ angesprochen, die einen gemeinsamen Adreßraum belegen. Diese Registerbänke werden über Bank-Switching umgeschaltet, d.h. wahlweise in den Adreßraum eingeblendet. Nötig ist dies, da die Befehlswörter je nach Typ nur 12- oder 14Bit breit sind und für die im Befehlswort eingebettete Adresse nur 7Bit übrig bleiben. Daher lässt sich in einem Befehlswort nicht die vollständige Adresse übermitteln, die höherwertigen Bits müssen vor dem Zugriff über Bank-Switching-Bits (RP1, RP0) im STATUS-Register gesetzt bzw. gelöscht werden.

Indirekte Adressierung ist beim PIC nur über ein 8bitiges Adreßregister (FSR) möglich. Bei PICs mit 9Bit Adreßraum ist daher auch an dieser Stelle die Aufteilung des Adreßraumes in Bänke nötig (STATUS, Bit IRP).

Der AVR-Controller unterstützt nur bedingt die direkte Addressierung, bei RAM-Zugriffen möglich, bei Lese- und Schreibzugriffen auf den Flash-Speicher ist nur die indirekte Addressierung über die 16bitigen X,Y oder Z-Register (je zwei Register R26..R31 zusammengefaßt) möglich.

Das Lesen von Konstanten aus dem Programm-Speicher-Flash ist bei PIC-Prozessoren nur über Umwege möglich, hierzu sind längere Befehlsfolgen ähnlich dem Zugriff auf das EEPROM nötig (siehe auch [PIC], Abschnitt 3.5), bei AVR-Controllern kann über die indirekte Adressierung direkt aus dem Flash-Speicher gelesen werden.

Das Konzept der Register ist bei beiden Mikrocontroller-Familien sehr unterschiedlich implementiert: PICmicro-Programmierern stehen ein Akku (hier w, Working Register, genannt) und das direkt adressierbare RAM (Register File Address) zur Verfügung. Arithmetische und logische Befehle, die Daten aus dem RAM verarbeiten, verfügen über ein Flag (0 oder 1), das darüber entscheidet, ob das Ergebnis in das w-Register oder zurück in das RAM geschrieben wird. Ein sehr leistungsfähiges Konzept, wenn auch der Quelltext etwas schwieriger zu lesen ist. Dadurch, dass durch die Unterscheidung mittels des Flags viele Befehle eine Doppelfunktion erfüllen, relativiert sich die geringe Befehlsanzahl des PIC-Prozessors wieder.

Der AVR-Programmierer greift hingegen auf 32 Register (r0..r31) zurück, von denen r0..r15 nur eingeschränkt nutzbar sind. Direkte Manipulation der im RAM befindlichen Daten ist ausgeschlossen, nur Registerinhalte oder Konstanten werden von den logischen und arithmetischen Befehlen verarbeitet.

Bedingte Sprünge schließlich werden beim PIC-Prozessor über einen Vergleichsbefehl *btfs/btfs Status,X* (Vergleich, ob Bit X in Status-Register gesetzt oder gelöscht, abhängig vom Ergebnis des Vergleichs den nächsten Befehl überspringen) und einem nachfolgenden, unbedingtem Sprungbefehl *goto* ausgeführt, beim Atmel-Prozessor über das schon vom 6502 bekannte Konzept der bedingten Sprungbefehle. Durch solche Techniken kommt der PIC-Prozessor mit sehr viel weniger Befehlen aus als der Atmel-Prozessor, die Programmierung ist dafür meiner Ansicht nach unübersichtlicher (zumindest sehr ungewohnt) und die Code-Ausführung bei gleicher Taktfrequenz langsamer. Der PIC-Prozessor benötigt für die Befehlsfolge

btjsc..., *goto...* im Sprungfall 3 Taktzyklen, der AVR für die Verzweigungsbefehle (z.B. *brsq*) im Sprungfall 2 Taktzyklen.

Ich konnte bei der Durchsicht der Datenblätter des AVR- und des PIC-Chips eher eine Verwandtschaft des Assembler-Befehlssatzes zwischen AVR und den bisher von mir verwendeten Prozessoren (65xx, 803x/5x, 68HCxx und 680xx) erkennen, was teilweise ausschlaggebend für die Entscheidung für den AVR-Prozessor war.

Bei ersten Experimenten mit der Entwicklungsumgebung AVR Studio 4 fiel mir positiv der integrierte Simulator auf, mit dem sich u.a. Registerinhalte während der simulierten Programmausführung ansehen und ändern lassen. Ganz perfekt ist indes auch diese Software nicht; z.B. führt der Assembler keinen Test durch, ob möglicherweise mehr RAM belegt wird als physikalisch im gewählten Mikrocontroller vorhanden ist. In der folgenden Abbildung sind Warnmeldungen des Assemblers zu sehen, die auf ungerade Mengen an Bytes innerhalb eines Datenfeldes hinweisen, jedoch befindet sich an der angegebenen Position Quelltext, keine *.db*-Zeile. Ungeachtet solcher (kleineren) Probleme lässt sich mit der IDE sehr gut arbeiten.

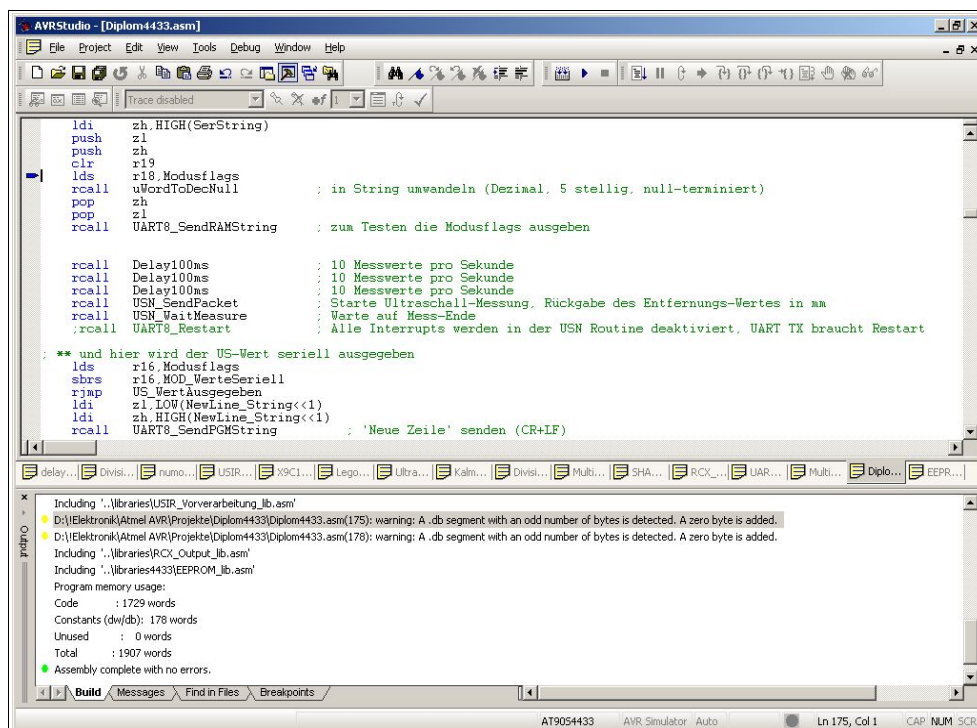


Abbildung 4.2: AVR Studio 4, geöffnetes Projekt

4.4 Entscheidung für den AVR

Ich bin mir sicher, dass das hier behandelte Problem genauso gut mit einem PIC-Prozessor hätte gelöst werden können - aufgrund der hervorragenden IDE und dem etwas gewohnter wirkenden Assembler-Befehlssatz fiel die Wahl jedoch auf einen Atmel-Mikrocontroller, zunächst auf den AT90S8535, der im Laufe des Designs aufgrund der kleineren Abmessungen durch den in weiten Teilen übereinstimmenden AT90S4433 ersetzt wurde.

Der AT90S4433 verfügt nur über 4KB Flashspeicher, 128 Byte RAM, 256 Byte EEPROM und etwas weniger I/O-Leitungen als der AT90S8535, reicht aber für dieses Projekt aus.

Nachteilig ist das Nichtvorhandensein komplexer arithmetischer Befehle wie Multiplikation und Division, diese müssen durch Software nachgebildet werden. Auch die neueren ATmega-Controller helfen hier nur wenig weiter, da nur 8Bit-Multiplikationsbefehle und keine Divisionsbefehle vorhanden sind.

Im konkreten Anwendungsfall führt der Mikrocontroller die Messungen durch, verarbeitet die Messwerte zu einem möglichst wahrscheinlichen Entfernungswert und gibt den Wert in geeigneter Form an das Zielsystem (Lego RCX-Controller oder serielle Schnittstelle) weiter. Ausserdem kann das Zielsystem über ein einfaches Protokoll verschiedene Verhaltensweisen des Moduls steuern, z.B. verschiedene Entfernungsbereiche, Stromsparmodi, etc.

4.5 Physikalisches Design

4.5.1 Ultraschall-Entfernungsmessung

Die Ultraschallmessung wird mit einem Transducer des Herstellers Polaroid durchgeführt, der auch in Sofortbildkameras dieses Herstellers zum Einsatz kam.

Zunächst wurde vorgesehen, eine ebenfalls von Polaroid gefertigte Elektronik (Polaroid 6500 Ranging Module) zu nutzen, die die gesamte für die Ultraschall-Laufzeit-Messung erforderliche Analog- und einen beträchtlichen Teil der erforderlichen Digital-Elektronik wie

- programmierbarer Verstärker (11 Stufen),
- Takt- und Ultraschall-Signal-Erzeugung,
- Zähler für GAIN-Control (zeitabhängige Verstärkung)

auf einer Platine beinhaltet. Diese Platine kam ursprünglich in AutoFocus-Kameras zum Einsatz. Abbildung 4.3 zeigt den Schaltplan dieses Moduls.

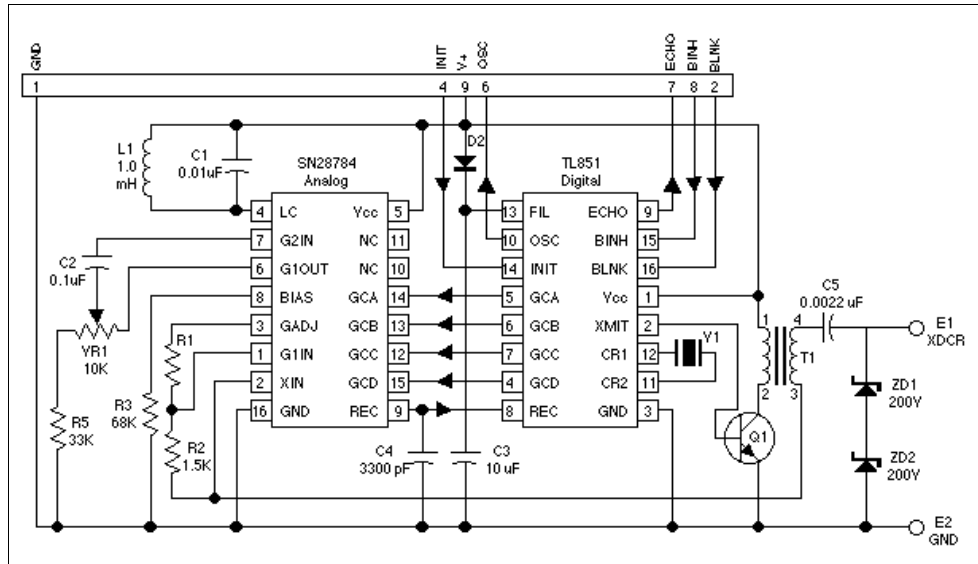


Abbildung 4.3: Schaltplan Polaroid 6500 Series Sonar Ranging Module

Diese Elektronik erzeugt bei Triggerung des Einganges ‚INIT‘ einen Ultraschall-Burst mit 16 Schwingungen (50kHz) und misst die Dauer bis zum Eintreffen eines von einem Objekt reflektierten Echos. Der Signalverlauf einer Messung ist in Abbildung 4.4 zu sehen. Das Signal 'Internal Blanking' stellt die Echounterdrückung dar, ohne die bereits der auszusendende Burst bzw. dessen Nachschwingen als Echo erkannt werden würde. Diese Echounterdrückung wird in der gewählten Betriebsart (durch BINH, BINL = Low) vom Digital-IC TL851 selbst vorgenommen. Für die Erläuterung der anderen Betriebsarten sei auf das Datenblatt des Sonar Ranging Moduls unter [Acroname] verwiesen.

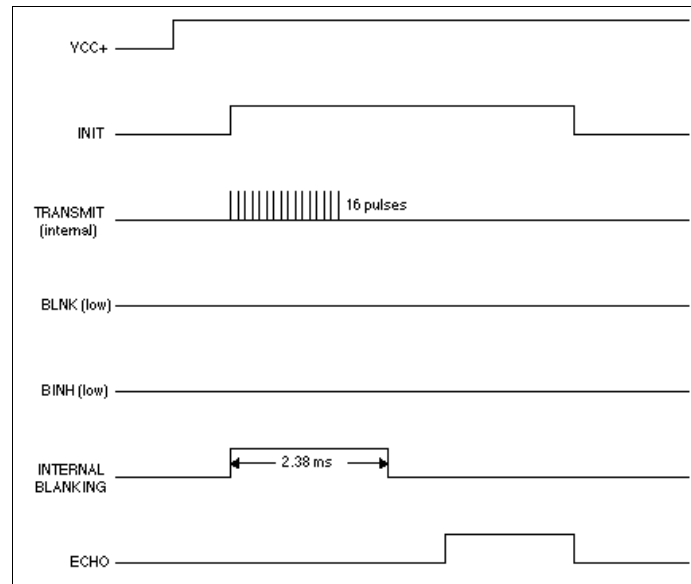


Abbildung 4.4: Signalverlauf einer Messung

Da das Echo-Signal mit zunehmender Entfernung des zu messenden Objekts vom Ultraschall-Transducer immer schwächer wird, wird die Verstärkung des Eingangs-Verstärkers in insgesamt 11 Stufen während der ersten 40 ms nach Aussendung des Bursts erhöht. Der Empfang eines Echos führt zu einer Pegelveränderung der Ausgangsleitung ‚ECHO‘.

Weitere Informationen zu diesem für \$34 in den USA erhältlichen Modul sind unter [Acroname] zu finden.

Die Funktionalität des Moduls wäre für die Integration in das Distanzmessmodul gut geeignet, da die Platine jedoch nicht in SMD-Technik aufgebaut ist, sondern aus bedrahteten Bauteilen und integrierten Schaltungen im DIL-Gehäuse, ist sie entsprechend gross. Ein Nachbau des Schaltungsteils in SMD-Technik ist auch nicht möglich, da speziell die verwendeten IC's einerseits nur im DIL-Gehäuse verfügbar sind, andererseits ausserhalb der USA nicht beschaffbar zu sein scheinen. Auch die hohe Ruhestromaufnahme der Schaltung von 100 mA, die Verwendung eines u.a. aus einer mechanisch grossen Spule aufgebautem LC-Filter und nicht zuletzt der hohe Preis lässt sie für den geplanten Einsatzzweck nicht geeignet erscheinen.

Aus diesen Gründen habe ich mich entschlossen, dieses zunächst eingeplante Modul durch eine eigene Schaltung zu ersetzen, die

grundlegende Funktionsweise ist mit der des Polaroid-Moduls zu vergleichen.

Der gesamte digitale Schaltungsteil, also Erzeugung des Ultraschall-Bursts und die Verstärkungssteuerung konnte durch den Mikrocontroller und wenige Bauteile vollständig ersetzt werden. Die Funktion des analogen Schaltungsteils wird mit einem Standard-Operationsverstärker, einem digital steuerbaren Potentiometer, einem Transistor und einigen passiven Bauteilen nachgebildet (siehe Abbildung 4.5).

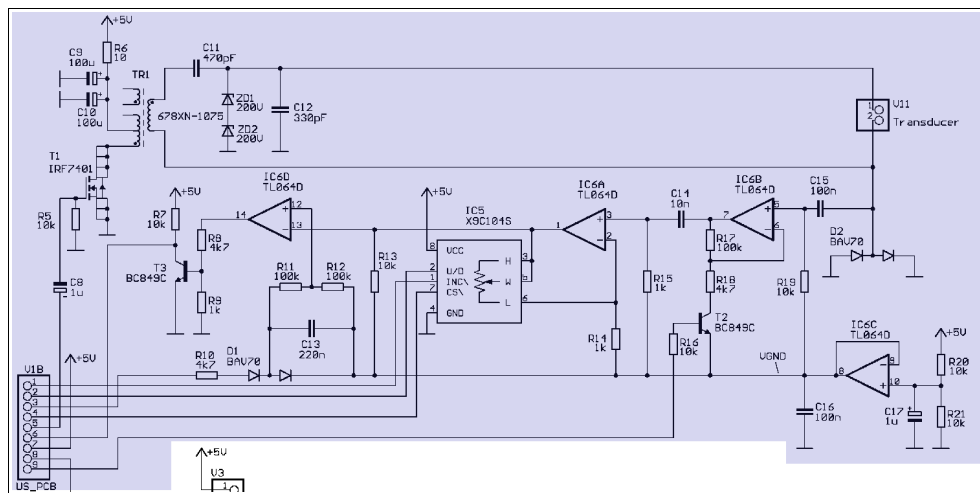


Abbildung 4.5: Schaltungsteil 'Ultraschall-Sensorik'

4.5.2 Ultraschall-Impuls-Erzeugung

Sofern nicht explizit angegeben, beziehen sich Bauteilebezeichnungen im Folgenden auf die im Text eingebetteten Ausschnitte des Schaltplans bzw. auf den im Anhang zu findenden Gesamtschaltplan des Distanzmessmoduls.

An einer Ausgangsleitung des Mikrocontrollers wird ein Schwingungspaket mit 16 Schwingungen, 50kHz, $5V_{SS}$ erzeugt. Ein mit diesem Signal angesteuerter MOSFET (T_1) steuert einen Transformator (TR_1) an, der hieraus ein Schwingungspaket mit $400V_{SS}$ erzeugt.

Die hierfür notwendige Energie wird zwei parallel geschalteten $100\mu\text{F}$ -Elkos (C_9 und C_{10}) entnommen, die über den Widerstand R_6 mit 5V geladen werden. Hierdurch wird der Stromfluss aus der 5V-Versorgung begrenzt. Ohne $R_6/C_{9,10}$ würde sich der Ultraschall-Burst als starke Schwankung auf der 5V-Versorgung fortsetzen.

Zwei in Reihe geschaltete 200V-Zenerdioden (ZD_1 , ZD_2) sorgen dafür, dass die Spitzenspannung des an C_{11} anliegenden Schwingungspakets auf $400V_{SS}$ begrenzt wird. Der Ultraschall-Transducers wird sowohl als Sender als auch als Empfänger benutzt.

Als hochspannungserzeugender Transformator wurde zunächst der der Polaroid-Platine verwendet, der jedoch ein Beschaffungsproblem darstellt. Der Hersteller TOKO bietet problemlos erhältliche Transformatoren an, die für die Hochspannungserzeugung für den Betrieb von Kaltkathodenröhren (CCFL, eingesetzt als Hintergrundbeleuchtung von TFT-Displays) konzipiert wurden. Diese Transformatoren gibt es mit ähnlichen Wicklungsverhältnissen ($\sim 1:100$), die benötigte Platinenfläche ist etwas grösser, dafür ist der TOKO-Transformator flacher als das Polaroid-Pendant und für die SMD-Montage geeignet.

In den Abbildungen 4.6 und 4.7 ist die Reflektion eines etwa 40 cm entfernt stehenden Hindernisses zu sehen. Gemessen wurde am Eingang des Ultraschallverstärkers (zwischen GND und D_2/C_{15}).

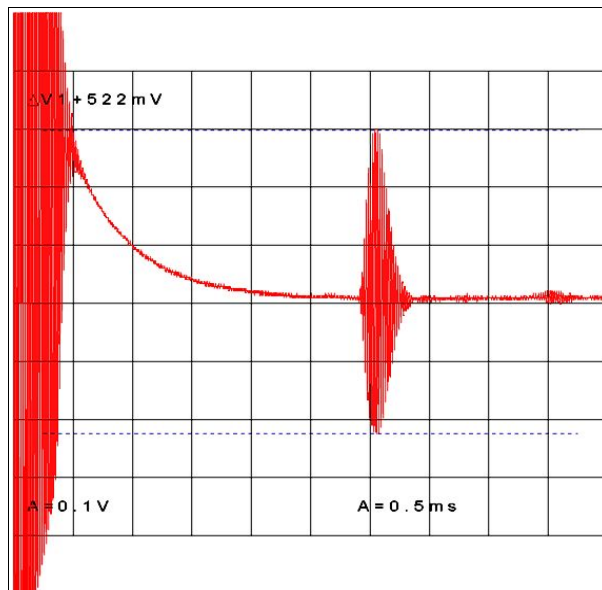


Abbildung 4.6: Reflektion, Polaroid-Transformator

Das Wicklungsverhältnis stimmt zwar mit dem Original Polaroid-Transformator etwa überein, die Induktivität leider nicht; die der Sekundärwicklung ist etwa 5mal (115mH statt 21mH) höher. Daraus ergibt sich leider eine andere Resonanz-Frequenz, zu sehen beim Ausschwingen, also direkt nach der Erzeugung der Ultraschall-Impulse.

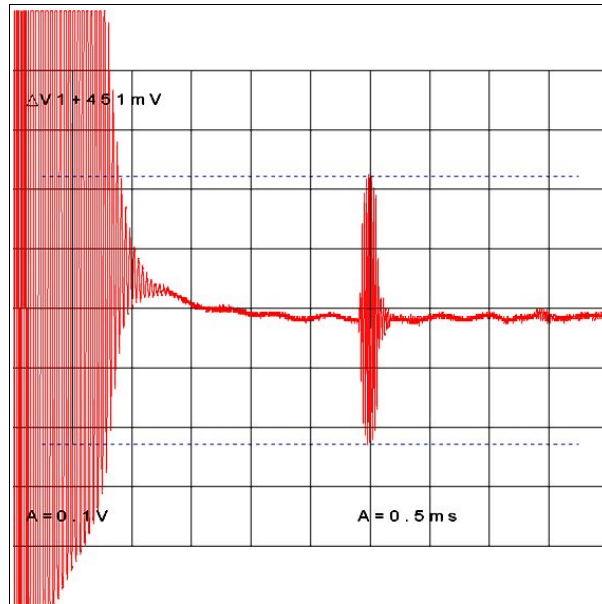


Abbildung 4.7: Reflektion, TOKO-Transformator

$$f_0 = \frac{1}{2 \cdot \pi \cdot \sqrt{L \cdot C_{ges}}} \quad \text{mit } L = 21 \text{mH und } C_{ges} = 407 \text{pF} \quad \rightarrow \quad f_0 = 54 \text{kHz}$$

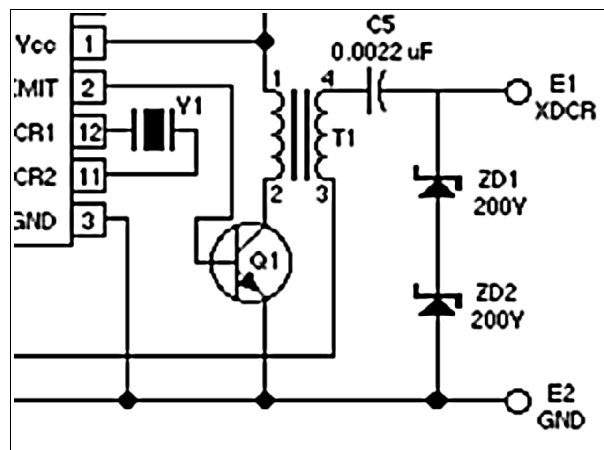


Abbildung 4.8: Ausschnitt Transducer-Treiber des Polaroid Sonar Ranging Moduls

C_{ges} ergibt sich aus der Reihenschaltung von C_5 (Bauteilbezeichnung aus dem Schaltplan des Polaroid-Moduls, siehe Abbildung 4.8) und der Eigenkapazität des Transducers von etwa 500pF.

Mit dem TOKO-Transformator und der hier angegebenen Dimensionierung liegt die Resonanzfrequenz des aus Sekundärwicklung, C_{11} , C_{12} (330pF-Kondensator) und der Kapazität des Ultraschall-Transducers bestehenden Schwingkreises bei etwa 29kHz (gemessen). Da C_{11} mit der Eigenkapazität des Ultraschall-Transducers einen kapazitiven Spannungsteiler ergibt, kann er nicht auf 110pF (ergibt sich aus obiger Formel mit der Induktivität des TOKO-Transformators) verkleinert werden. Hierbei ergäbe sich zwar eine Resonanzfrequenz von etwa 50kHz, jedoch würde die Spannung über dem Ultraschall-Transducer zusammenbrechen.

Um mit dem TOKO-Transformator (678XN-1075) gute Ergebnisse zu erzielen, wurde parallel zu den beiden Zenerdioden ein Kondensator C_{12} von 330pF (experimentell ermittelt) geschaltet. Der Reihenkondensator C_{11} wurde durch 470pF ersetzt.

In den beiden Oszillogrammen (Abbildung 4.6, 4.7) ist zu sehen, dass der Burst bei Verwendung des TOKO-Transformators etwa doppelt so lange nachschwingt (in der englischsprachigen Literatur auch als Ringing bezeichnet) als bei Verwendung des Polaroid-Transformators. Hierdurch verschlechtert sich der minimal messbare Mindestabstand zum Messobjekt (wird grösser), da während des Nachschwingens kein Echo detektiert werden kann. Ebenso hat die Amplitude des reflektierten Signals abgenommen. Das empfangene Echo ist bei Verwendung des TOKO-Transformators schärfer, da es nicht zu Nachschwingungen aufgrund der Resonanzfrequenz führt.

In der Praxis ist trotzdem eine gute Empfindlichkeit zu verzeichnen, die Verschlechterung im Nahbereich um einige cm wird durch den Sharp-Infrarot-Sensor gut ausgeglichen.

4.5.3 Ultraschall-Echo-Detektion

Das Empfangssignal wird über zwei antiparallel geschaltete Dioden auf $0,6V_{SS}$ begrenzt einem Operationsverstärker (IC_{6B}) zugeführt, dessen Verstärkung über einen im Rückkopplungszweig befindlichen Transistor (T_2) zwischen 1fach und 20fach umgeschaltet werden kann. Ein nachfolgender Kondensator (C_{14}) dient in Verbindung mit R_{15} als Hochpassfilter und entfernt eventuelle Gleichspannungsanteile aus dem Signal, die u.a. durch Offset-Fehler entstanden sein können.

Es folgt eine weitere Verstärkungsstufe, deren Verstärkung quasilinear zwischen etwa 2fach und 100fach mittels eines digital steuerbaren Potentiometers (IC_5) gesteuert werden kann.

Der Mikrocontroller erhöht im Verlauf der Messung kontinuierlich die Empfindlichkeit des Verstärkers. Zunächst wird nach Ausschwingen des Bursts die Empfindlichkeit des gesamten Verstärkers von 2x auf etwa 40x erhöht, indem der Transistor T_2 vom Mikrocontroller angesteuert wird. Im weiteren Verlauf wird die Verstärkung durch stufenweises Erhöhen des Widerstands des Digitalpotis IC_5 erhöht. Die theoretisch maximal mögliche Verstärkung beträgt $V=2000$. Im Kapitel 4.7.1 (Ultraschallmessung) werden die zeitlichen Zusammenhänge der Verstärkungserhöhung erklärt.

Der aus den Widerständen R_{20} und R_{21} aufgebaute Spannungsteiler mit einem nachfolgenden Impedanzwandler (IC_{6C}) sorgt für eine virtuelle Masse dieses Schaltungsteils, deren Potential etwa 2,5V über GND liegt.

Auf diese Weise kann auf eine symmetrische Spannungsversorgung des Operationsverstärkers verzichtet werden. Die so erzeugte, über C_{17} und C_{16} geglättete, virtuelle Masse ist alles andere als sauber und schwankt stark gegenüber GND, dies hat jedoch keine Auswirkungen auf die Funktion der Schaltung, da sowohl das verstärkte Signal als auch das Vergleichssignal an C_{13} diese Masse als Bezugspunkt verwenden.

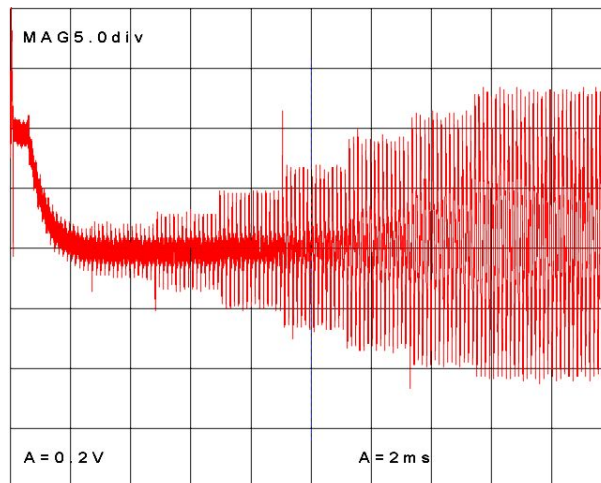


Abbildung 4.9: sinusförmiges 50kHz Signal, GAIN-Erhöhung

Abbildung 4.9 zeigt die Verstärkung eines sinusförmigen Eingangssignals mit kontinuierlicher Erhöhung des Verstärkungsfaktors über die ersten 16 ms. Gemessen wurde an Pin1, IC_{6A} , am Ausgang der durch das Digitalpoti geregelten Verstärkerstufe.

Das Ausgangssignal dieses Verstärkers wird einem Komparator (IC_{6D}) zugeführt, der es mit einer an einem sich entladenden Kondensator (C_{13}) abfallenden Spannung (genauer: der Hälfte der an C_{13} abfallenden Spannung, Spannungsteiler R_{11}/R_{12}) vergleicht, die im Laufe der Messung auf das Potential der virtuellen Masse abfällt, was die Schaltschwelle (Treshold) des Komparators kontinuierlich sinken und somit die Echo-Detektions-Empfindlichkeit des Empfängers stetig steigen lässt.

Der Kondensator C_{13} wird vom Mikrocontroller zu Beginn der Messung auf etwa 0,6V, begrenzt durch die im Schaltbild rechts zu sehende Hälfte der Doppeldiode D_1 , aufgeladen. Die andere Hälfte der Doppeldiode dient dazu, eine Entladung des Kondensators über den Ausgang des Mikrocontrollers zu vermeiden. Die Zeitkonstante des RC-Glieds aus C_{13} und R_{11}/R_{12} beträgt etwa 40 ms.

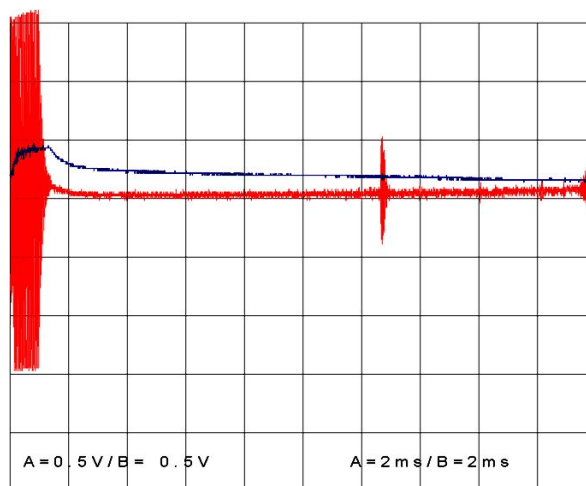
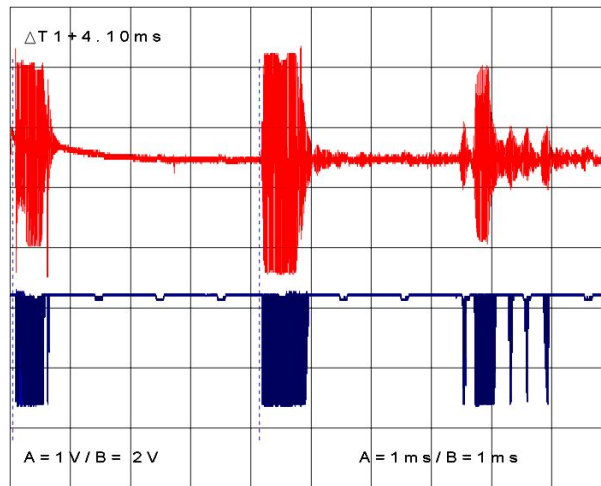


Abbildung 4.10: Signale am Komparator IC_{6D}

In Abbildung 4.10 sind die beiden am Komparator (IC_{6D}) anliegenden Signale zu sehen, in etwa 2m Entfernung befindet sich ein Hindernis (Bürostuhl):

Der Transistor T_3 konvertiert den Ausgangspegel des Komparators in logikgerechte TTL-Pegel. Ein empfangenes Echo-Signal führt zu LOW-Pegel am Kollektor des Transistors T_3 (siehe Abbildung 4.11, links der erzeugte Ultraschall-Burst, in der Schirmmitte ein Echo von einem etwa 80 cm entfernten Objekt, rechts das von einer 130 cm entfernten Wand zurückgeworfene Signal).



**Abbildung 4.11: Ultraschallsignal, Kanal1 (rot):
Pin7 IC6b, Kanal2 (blau): Ausgang Kollektor T3**

Im Folgenden wird betrachtet, inwieweit das von entfernten Objekten reflektierte Echo bei Änderung der Impulsanzahl des Bursts ebenfalls eine Änderung erfährt. Abbildung 4.12 stellt den Burst, das nachfolgende Ausschwingen des Schwingkreises Transformator/Transducer sowie das reflektierte Echo eines etwa 25 cm entfernten Objektes dar. Beim blau dargestellten Signalzug besteht das Burstpaket aus nur einer Schwingung, beim rot dargestellten aus acht Schwingungen mit einer Frequenz von 54kHz. Wie zu erwarten war, ist die Reflektion um so ausgeprägter, je länger der Burst ist. Gleichzeitig verlängert sich mit Verlängerung des Bursts auch der Totbereich, in dem keine Entfernungsmessung stattfinden kann, wenn dieser auch deutlich stärker vom Ausschwingen des Gesamtsystems Transformator, Kapazitäten C_{11} und C_{12} , Transducer abhängt.

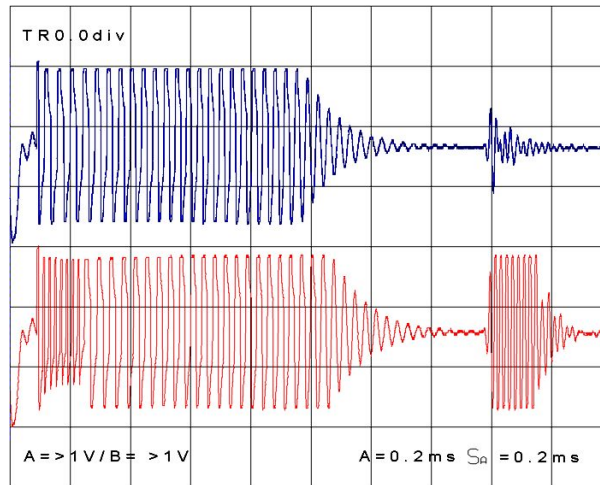


Abbildung 4.12: Burstdauer 1 Impuls (blau), 8 Impulse (rot)

4.5.4 Infrarot-Entfernungsmessung

Für den Infrarotteil ist nur wenig Beschaltung erforderlich: Ein Infrarot-Sensor vom Typ Sharp GP2D12 kommt zum Einsatz. Dieser liefert abhängig von der Entfernung zum Objekt eine Ausgangsspannung von etwa 1V bis 3V. Um diese Spannung in einen weiterverarbeitbaren Digital-Wert zu konvertieren, wird ein Kanal des im Mikrocontroller vorhandenen sechskanaligen Analog-Digital-Wandlers benutzt. Der A/D-Wandler benötigt eine möglichst saubere Versorgungsspannung, die über den Filter aus L_1 und C_6 (siehe Abbildung 4.13) aus der 5V-Versorgung gewonnen wird. Das analoge Eingangssignal wird in einen digitalen Wert mit 10Bit-Auflösung gewandelt.

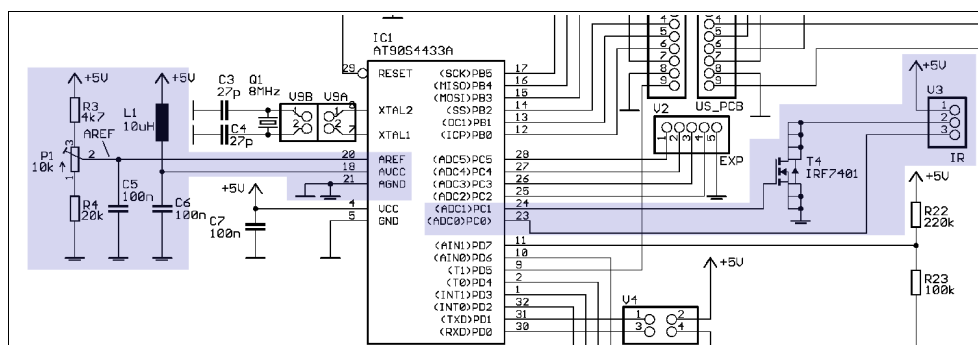


Abbildung 4.13: Schaltungsteil 'Infrarot-Sensorik'

Die untere Grenze der quantifizierbaren Eingangsspannung wird durch AGND festgelegt, die obere Grenze durch die Referenzspannung am Pin AREF des Mikrocontrollers. AREF muss also bei knapp über 3V liegen, um

einerseits den möglichen Wertebereich fast vollständig ausnutzen zu können, andererseits um Übersteuerungen des AD-Wandlers zu verhindern.

Die Stromaufnahme des Infrarot-Sensors liegt bei etwa 27,5mA bei 5,0V Versorgungsspannung. Um Strom sparen zu können, wird der IR-Sensor nicht dauerhaft mit der Versorgungsspannung von 5V versorgt, sondern von einem MOSFET (T_4) eingeschaltet.

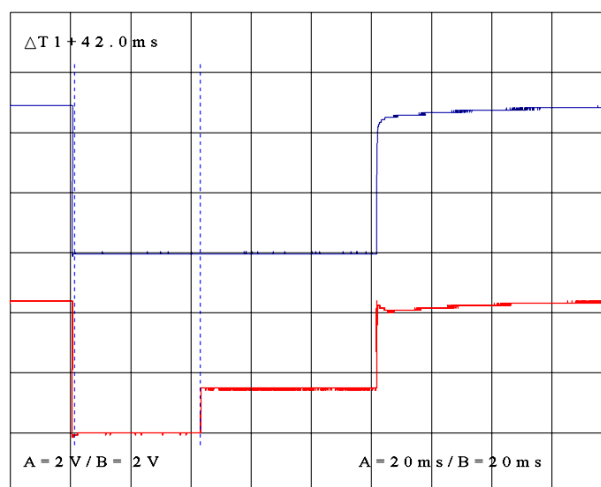


Abbildung 4.14: Kanal1: Geschalteter Masse-Anschluss des IR-Sensors, Kanal2: Analoges Ausgangssignal

Nach dem Einschalten der Versorgungsspannung (da ein n-Kanal-MOSFET mit $U_{GS} > 4V$ verwendet wird, wird hier nicht der +5V-, sondern der Masse-Anschluss geschaltet) benötigt der Sensor einige Zeit (hier 42 ms, Abbildung 4.14), bis der Ausgang stabile Messwerte liefert. Diese Verzögerung ist bei der Software-Implementierung zu beachten.

Die Stromaufnahme des SHARP-Infrarot-Sensors besteht zeitlich betrachtet aus einem etwa 0,5 ms währenden Muster aus kurzen Impulsen von bis zu 55 mA, die sich im Abstand einer Millisekunde wiederholen.

Wenn pro Sekunde zwei Messungen ausreichend sind und pro Messung eine Einschaltdauer von etwa 75 ms angenommen wird, sinkt der mittlere Stromverbrauch des Sensors durch Einsatz des MOSFETs auf etwa 4,1mA.

4.5.5 Berührungserkennung

Als letzte Instanz dienen zwei an der Front des Roboters angebrachte Taster der Berührungserkennung, also der Erkennung der Distanz $d=0$ zum

Hindernis. Sie werden, wie in Abbildung 4.15 dargestellt, an den mit EXP bezeichneten Erweiterungsanschluss des Distanzmesssystems angeschlossen.

Es wurden sehr leichtgängige, umschaltende Taster gewählt, von denen hier nur der Öffner verwendet wird. Die Eingangsleitungen des Mikrocontrollers verfügen über zuschaltbare Pullup-Widerstände, die in diesem Fall aktiviert sind. Pin EXP5 liegt auf GND. Im Ruhezustand liegt Low-Pegel auf den Leitungen EXP1 und EXP2. Wird einer der Taster gedrückt, so springt der entsprechende Eingang EXP1 oder EXP2 auf High-Pegel.

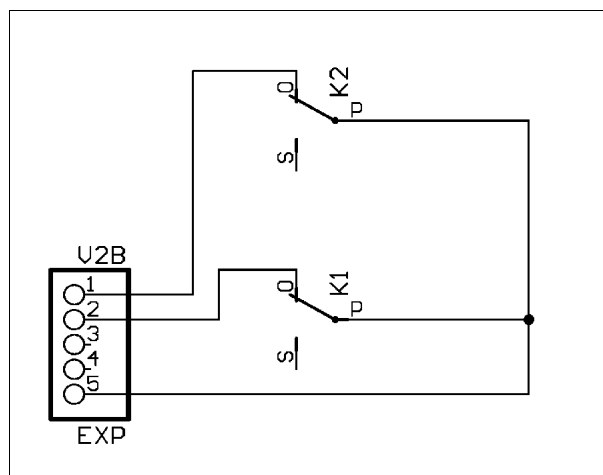


Abbildung 4.15: Taster zur Berührungserkennung

4.5.6 Datenübermittlung zum Zielsystem

Das Ergebnis einer Entfernungsmessung kann in digitaler Form am seriellen Anschluss des Mikrocontrollers gelesen werden. Das Zielsystem, das Lego RCX-Modul, hat aber keinen seriellen Port, verfügt jedoch über analoge Eingänge.

Daher wird ein Analog-Wert benötigt, der entweder über einen Timer mittels Pulsbreitenmodulation (PWM) und ein nachfolgendes RC-Glied erzeugt werden kann (billigste Lösung) oder wie hier von einem Digital-Analog-Wandler, der einen analogen Spannungswert höherer Genauigkeit ausgeben kann.

Beide Lösungen sind praktikabel und im Rahmen der hier erfordernten Genauigkeit ausreichend, aus Gründen der Erweiterbarkeit um genauere Sensoren und da der verwendete Mikrocontroller nur über zwei Timer

verfügt, die beide bereits anderweitig genutzt werden, wird hier der Einsatz eines D/A-Wandlers weiter verfolgt.

Im ersten Ansatz wurde ein schon etwas länger auf dem Markt verfügbarer Lowcost-Wandler eingeplant, der ursprünglich für Audio-Anwendungen wie tragbare CD-Player konzipiert wurde: Der TDA1543 von Philips ist ein zweikanaliger 16Bit-D/A-Wandler, der mit Abtastfrequenzen von 50kHz bis hinunter zu statischem Betrieb arbeitet. Er wird über einen I2C-Bus mit dem Mikrocontroller verbunden.

Die endgültige Wahl fiel jedoch auf einen 16Bit-D/A-Wandler des Herstellers MAXIM, da sich der TDA1543 als zu stromhungrig erwies ($>50\text{mA}$). Der MAX5541 benötigt zur Stromversorgung typisch $0,3\text{mA}$ und ist daher für mobile, akku- oder batteriebetriebene Geräte die bessere Wahl.

In Abbildung 4.16 ist das serielle Protokoll zu sehen, in dem der DAC die 16bittigen Datenworte erwartet. Sobald $\overline{\text{CS}}$ Low-Potential annimmt, erwartet der DAC auf jeder steigenden Flanke von SCLK ein stabil anliegendes Datenbit auf der DIN-Leitung. Das erste Bit ist das höchstwertigste (Most Significant Bit, MSB). Nach Übertragungs des LSB's wird $\overline{\text{CS}}$ zurückgenommen, daraufhin wird das übertragene Datenwort in das Ausgangslatch übernommen, der analoge Ausgangspegel nimmt den neuen Wert an.

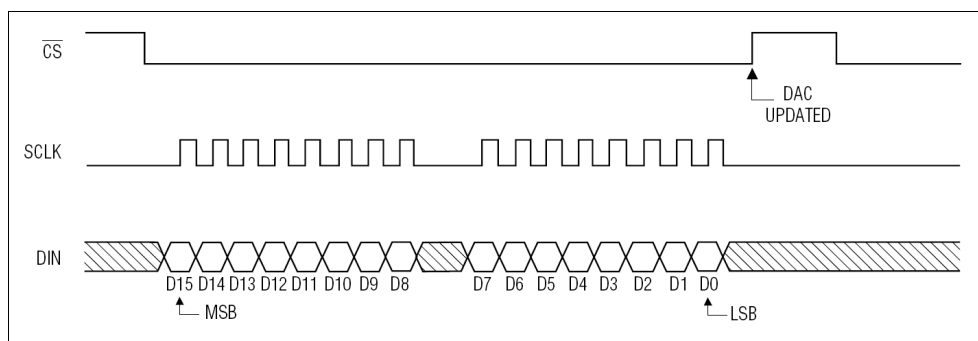


Abbildung 4.16: Serielles Protokoll, MAX5541

Leider benötigt der D/A-Wandler eine extern zugeführte Referenzspannung, die noch dazu aufgrund des verwendeten Wandler-Konzepts (R2R-Ladder, starke Schwankung des Innenwiderstands $\text{REF} \rightarrow \text{AGND}$ abhängig von den Wertänderungen am digitalen Eingang) sehr niederohmig sein muss.

Diese Referenzspannung wird von VR_1 (TL431C) erzeugt, einer sehr rauscharmen und niederohmigen $2,5\text{V}$ -Referenzspannungsquelle. Abbildung 4.19 zeigt diesen Schaltungsteil.

Das Datenblatt des D/A-Wandlers ist unter [MAX5541] zu finden.

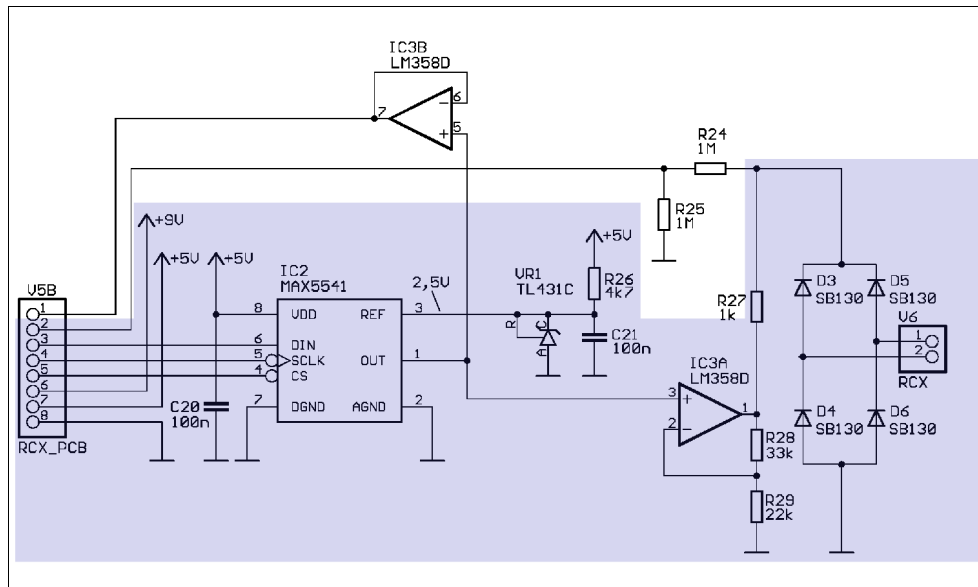


Abbildung 4.17: Schaltungsteil 'D/A-Wandler'

Der Spannungshub des Ausgangssignals reicht für eine Vollaussteuerung des im RCX-Modul befindlichen A/D-Wandlers nicht aus, daher wird es um den Faktor 2,5 verstärkt.

Die Schottkydioden D₃ - D₆ sind erforderlich, da ein RCX-Anschluss als zweiadriger, elektronisch verpolungssicherer Anschluss konzipiert wurde, der keine als solche ausgezeichneten Masse- und Signal-Leitungen hat.

Das Diodennetzwerk stellt eine Verbindung der Masse des RCX-Moduls mit der Masse des Distanzmessmoduls sicher und sorgt für einen Stromfluss vom A/D-Wandler-System des RCX-Moduls zum analogen Ausgang des Distanzmessmoduls: Über eine Spannungsquelle (Pull-Up-Widerstand) im Inneren des RCX-Moduls fließt ein Strom durch den externen Sensor, der als Analog-Eingangswert gemessen wird.

4.5.7 Bidirektionale Kommunikation über RCX-Sensor-Port

Das RCX-Modul hat die Möglichkeit, sog. aktive oder passive Sensoren zu betreiben. Der Terminus 'Aktiv/Passiv' wird hier in einem anderen Zusammenhang, als in Kapitel 2.2 beschrieben, benutzt: Aktive Sensoren sind hier solche, die vom RCX-Modul mit Strom versorgt werden (müssen). Hierzu teilt das RCX-Modul die Zeit in Zeitscheiben ein, während derer abwechselnd eine konstante Spannung am RCX-Anschluss angelegt wird bzw. ein analoger Wert gemessen wird.

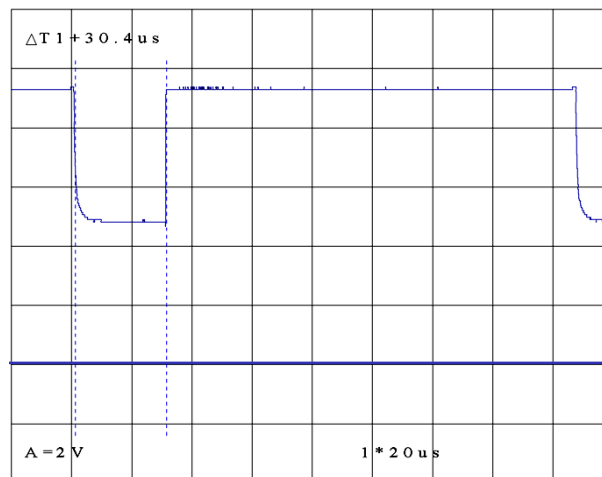


Abbildung 4.18: Signalverlauf am RCX-Eingang, Aktiver Sensor

Die horizontale blaue Linie in Abbildung 4.18 markiert 0V. Zwischen den Zeitmarkern ist das anliegende Messsignal des Sensors zu sehen. Sowohl passive (Mess-) als auch aktive (Stromversorgungs-) Phase sind starken zeitlichen Schwankungen unterworfen, gemessen wird jedoch mindestens über einen Zeitraum von etwa $30\mu s$.

Über die Umschaltung Passiv/Aktiv lässt sich als Nebeneffekt ein einfacher Rückkanal zur Kommunikation mit dem Distanzmessmodul schaffen: Vorhandensein der Versorgungsspannung wird als ‚logisch 1‘ gewertet, Nichtvorhandensein als ‚logisch 0‘. Da das RCX-Modul zur AD-Wandlung eine über einen Widerstand abfallende Spannung anlegt, gilt diese ($\sim 5V$) als ‚logisch 0‘. Im aktiven Modus steigt die Ausgangsspannung auf etwa $7V$ an, was als ‚logisch 1‘ interpretiert wird.

Wie in Kapitel 4.8 (Software, RCX-Programmierung) gezeigt wird, gibt es eine Möglichkeit, den Sensoreingang über einen beliebigen Zeitraum ohne die Unterbrechung durch einen Samplingvorgang vom RCX mit Strom versorgen zu lassen.

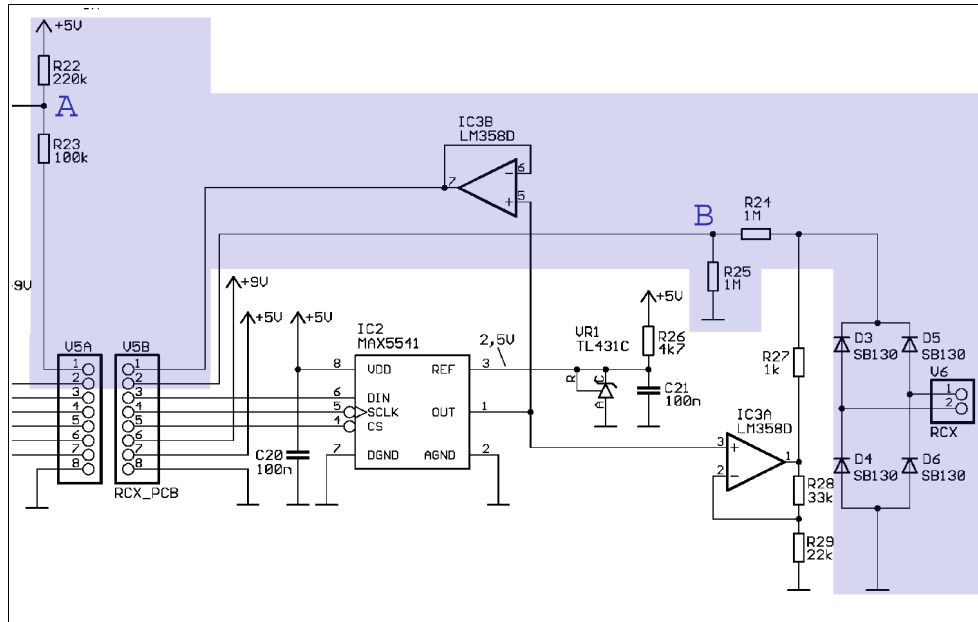


Abbildung 4.19: Schaltungsteil 'RCX-Kommunikation'

Wie in Abbildung 4.19 zu sehen, wird das RCX-Signal über den Spannungsteiler aus R_{24} , R_{25} auf die Hälfte der ursprünglichen Amplitude geteilt (als Signal 'B' bezeichnet).

Der im Mikrocontroller vorhandene Analog-Komparator vergleicht dieses Signal nun mit einer Referenzspannung, gewonnen aus dem Spannungsteiler R_{22}/R_{23} (Signal 'A').

Da das vom RCX empfangene Signal stark vom eigenen übermittelten Messwert an R_{27} beeinflusst wird, wird das Ausgangssignal des D/A-Wandlers IC2 in die Erzeugung der Referenzspannung mit einbezogen. Hierzu wird der Ausgang des D/A-Wandlers über einen Impedanzwandler (IC_{3B}) dem Spannungsteiler aus R_{22}/R_{23} zugeführt. Die Referenzspannung am Pin AIN1 des Mikrocontrollers liegt dadurch immer etwa in der Mitte zwischen analogem Ausgangssignal des Distanzmessmoduls und erzielbarem High-Pegel durch den RCX.

Über diese (unidirektionale) Kommunikation kann der RCX das Verhalten des Distanzmessmoduls beeinflussen. Näheres wird im Kapitel 4.7 (Software, Mikrocontroller-Programmierung) beschrieben.

4.5.8 Stromversorgung

Ein testweise mit verschiedenen Widerständen von 470Ω bis hinunter zu 150Ω belasteter, auf 'Aktiv' geschalteter RCX-Sensoreingang zeigte, dass

der Stromfluss zur Versorgung eines Sensors durch eine Konstantstromquelle auf etwa 14mA begrenzt wird.

Aufgrund der Erfahrungen, die mit dem hohen Strombedarf der ursprünglich eingeplanten Polaroid-Platine und dem Infrarot-Sensor gesammelt wurden, und um eine Kommunikation zwischen RCX und Distanzmesssystem in der beschriebenen Weise zu ermöglichen, bezieht die Schaltung die notwendige Energie aus einer 9V-Blockbatterie oder einem 9V-Akkumulator.

Die Spannungsstabilisierung wurde in den ersten Labormustern mit einem herkömmlichen Linearregler vom Typ 78S05 realisiert.

Dieser wurde im folgenden Design durch einen MAX8881 (IC₄, Abbildung 4.20) ersetzt, der gegenüber dem 78x05 einige Vorteile bietet:

Es handelt sich um einen LowDrop-Regler, der schon mit Eingangsspannungen, die geringfügig über der Ausgangsspannung liegen, stabil arbeitet. Ein 78x05 benötigt mindestens 7,5V um die Ausgangsspannung von 5V zu erzeugen. Dieser Vorteil ist in dieser Anwendung jedoch nicht relevant, da die Schaltung mit 9V-Versorgungsspannung arbeitet. Der Ausgangsverstärker für das RCX-Interface benötigt eine Spannung von mindestens 7V.

Hier nutzbare Vorteile sind jedoch seine geringe Grösse (SOT23-6), sein geringer Eigenstromverbrauch von nur 3,5µA, seine umfangreichen Schutzschaltungen (Schutz gegen Verpolung, Schutz gegen Kurzschluss (dauerkurzschlussfest), Temperatur-Überwachung) und die Erzeugung eines Power-OK-Signals (POK).

Der POK-Ausgang lässt sich direkt mit dem Reset-Eingang des Mikrocontrollers verbinden. Bis sich die Spannung an den ausgangsseitigen Elektrolytkondensatoren auf 90% des Nominalwertes von 5V aufgebaut hat, liegt das Potential dieser Leitung auf Low-Pegel.

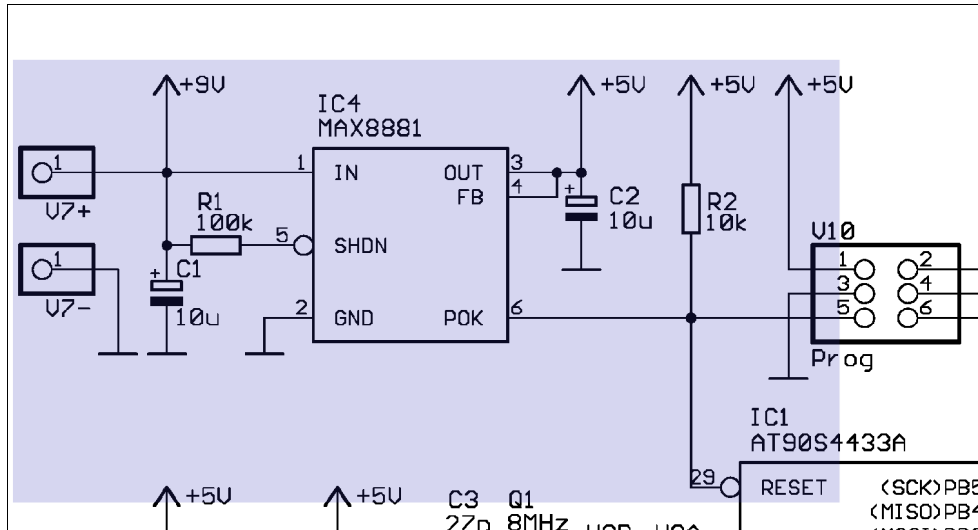


Abbildung 4.20: Schaltungsteil 'Stromversorgung und Reset'

Der Versorgungsspannungsbereich des AT90S4433 ist mit 4,0V – 6,0V spezifiziert, ein bei Erreichen von 4,5V ausklingendes Reset-Signal führt somit zu stabilen Startbedingungen.

Da es sich um einen Open-Source-Ausgang handelt, ist noch ein Pullup-Widerstand erforderlich, um einen High-Pegel zu erzeugen.

Die Shutdown-Leitung zum Abschalten des Reglers ($V_{OUT} = 0V$) wird hier nicht genutzt.

Ein Datenblatt des Spannungsreglers findet sich auf der Website des Herstellers [MAX8881].

4.6 Aufbau

4.6.1 Labormuster auf Steckplatinen

Beim Aufbau des Prototyps wurden in erster Linie bedrahtete Bauelemente verwendet, nur in Fällen, in denen eine Beschaffung bedrahteter Bauelemente schwer möglich war oder diese einfach nicht existierten, wurden SMD-Bauteile verwendet. Zu diesem Zweck wurden aus Lochrasterplatinen Adapter hergestellt. Dies betrifft den D/A-Wandler, die MOSFETs und den Spannungsregler.

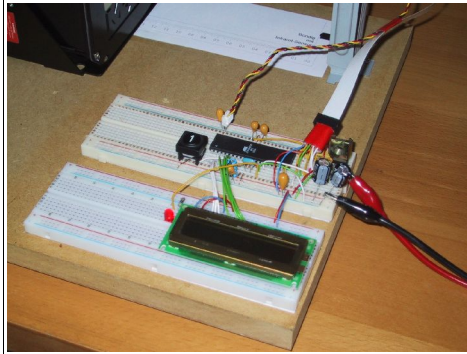


Abbildung 4.21: erstes Labormuster mit AT90S8535, LCD 1x16

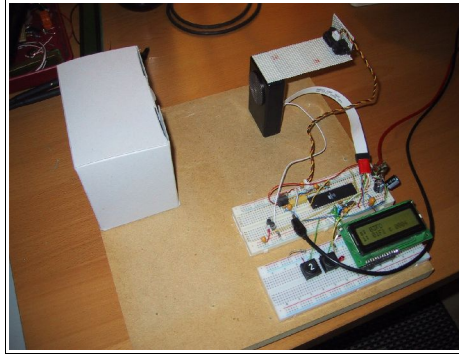


Abbildung 4.22: zweites Labormuster mit AT90S8535, LCD 2x16

4.6.2 Erste Prototypen

Im ersten Entwurf wurde ein Mikrocontroller vom Typ Atmel AT90S8535 verwendet, der in seinen Möglichkeiten mit Ausnahme der Grösse des internen RAM-Speichers, der Grösse des EEPROMs und der Anzahl der I/O-Leitungen weitgehend mit dem AT90S4433 identisch ist.

Zur Ausgabe von Text und Werten kam zunächst ein alphanumerisches LC-Display, zunächst einzeilig (siehe Abbildung 4.21), im nächsten Entwurf zweizeilig (Abbildung 4.22), zum Einsatz. Später wurde das LC-Display durch ein am seriellen Port angeschlossenes Terminal (Windows98-PC mit der Software Hyperterm) ersetzt.

Das im Bild zu sehende Flachbandkabel diente zum Anschluss der Polaroid-Ultraschall-Elektronik, die mittlerweile wie beschrieben durch einen eigenen Schaltungsentwurf ersetzt wurde. Auf Abbildung 4.22, links oberhalb des Mikrocontrollers, ist auch eine eigene Spannungsstabilisierung für den A/D-Wandler sowie der Spindeltrimmer zur Einstellung der Referenzspannung zu sehen.

4.6.3 Labormuster auf Lochrasterplatine

Um den endgültigen Schaltungsentwurf vor der Platinenfertigung zuverlässig testen zu können, wurde ein Labormuster auf einer Lochrasterplatine aufgebaut. Die verwendeten SMD-IC's wurden hierzu auf kleine Adapterplatinen gelötet. Die Bauteile wurden auf der Rückseite der Platine wenn möglich direkt (Lötzinnbrücken) oder mit Kupferlackdraht miteinander verbunden. In der Abbildung 4.23 sind die einzelnen Schaltungsteile zu erkennen:

- Links oben die Ultraschall-Impuls- und Hochspannungserzeugung, der MOSFET wird verdeckt durch einen Tantal-Elektrolyt-Kondensator.
- Darunter der Ultraschall-Verstärker mit dem digital steuerbaren Potentiometer (X9C104).
- In der Mitte der Microcontroller mit Takterzeugung.
- Darüber der auf eine Adapterplatine gelötete Spannungsregler.
- Auf der rechten Seite der D/A-Wandler und der für die Anpassung an das RCX-System nötige Operationsverstärker (hier LM324, ersetzt durch LM358D).
- Die schwebende Platine auf der rechten Seite trägt die Schottky-Dioden für das RCX-Interface, die die auf der Hauptplatine befindlichen, zuerst eingesetzten 1N4148-Dioden wegen des geringeren Spannungsabfalls ersetzen.
- Die vier Schrauben halten das auf der Lötseite angebrachte Gehäuse mit dem Ultraschall-Transducer und dem Infrarot-Sensor.

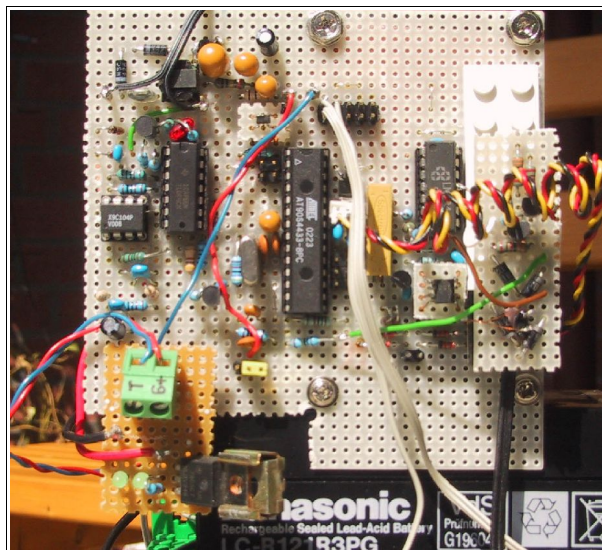


Abbildung 4.23: Labormuster (Lochrasterplatine)

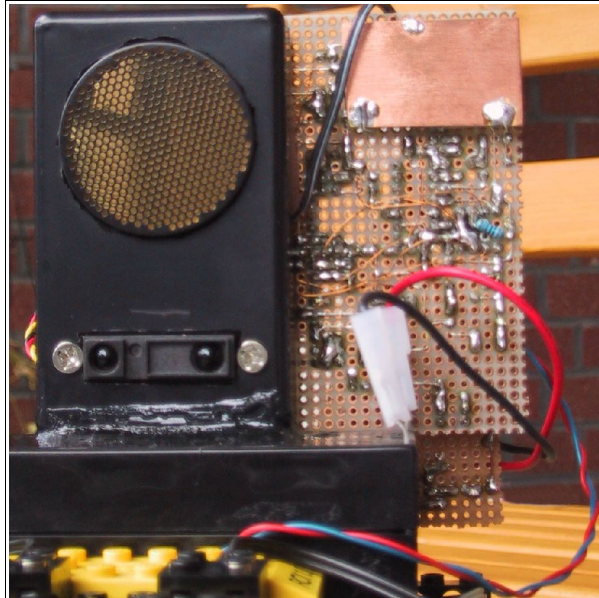


Abbildung 4.24: Labormuster (Platinen-Rückseite, Sensoren)

4.6.4 Layout

Schaltplan und Platinenlayout wurden mit dem Programm EAGLE (Easily Applicable Graphical Layout Editor) in der Version 4.09r2 erstellt.

Für den nichtkommerziellen Einsatz ist EAGLE in der Light-Version (mit der Beschränkung auf max. 100 mm x 80 mm-Platinenfläche, 2 Layer und nur ein Schaltplanblatt) kostenlos und kann von der Webseite des Herstellers CadSoft heruntergeladen werden [EAGLE].

Mit diesem CAD-Programm ist die Erstellung von Schaltplänen und Platinenlayouts möglich. In den mitgelieferten Bauteil-Bibliotheken sind die meisten Bauteile bereits vorhanden, neue Bibliotheken lassen sich mit einem Editor recht komfortabel erstellen. Die Generierung des Platinenlayouts direkt aus dem Schaltplan ist möglich, gesonderte Netzlisten müssen nicht erstellt werden. Die Bauteile, die manuell auf der Platinenfläche positioniert werden, sind zunächst durch sogenannte Airwires miteinander verbunden (gerade Linien zwischen miteinander verbundenen Pins), ein Autorouter erledigt auf Wunsch einen Teil des Entflechtens der Leiterbahnen. Die Ergebnisse des Autorouters zeigen auf, ob die Platzierung der Bauteile zu routbaren Ergebnissen führen kann: Kann der Autorouter einen hohen Prozentsatz der Leiterbahnen nicht verlegen oder geht er sehr verschwenderisch mit Vias (Durchkontaktierungen) um, ist die Wahrscheinlichkeit hoch, dass die Bauteile noch nicht optimal platziert sind.

Um zu guten Ergebnissen, also kurzen, direkten Leiterbahnen und wenigen Durchkontaktierungen zu gelangen, ist jedoch manuelles Routen der Leiterbahnen nötig. Die Vorstellungskraft des menschlichen Layouters ist hier dem Algorithmus des Autorouters klar überlegen.

Die Masseverbindungen werden über Masseflächen realisiert. Hierdurch werden die EMV-Eigenschaften der Schaltung verbessert, was sich auf die Leistung speziell der analogen Schaltungsteile wie dem Ultraschallverstärker positiv auswirkt.

Das Platinenlayout wurde hinblickend auf SMD-Bestückung erstellt, um die Grösse des Moduls möglichst gering zu halten. Die Bestückung der Bauteile mit einem handelsüblichen SMD-Lötkolben (verwendet wurde ein ERSA Minityp 12V, 6W) sowie einer Pinzette bereitet keine grossen Probleme, lediglich der Mikrocontroller im TQFP32-Gehäuse und der Spannungsregler im SOT23-Gehäuse weisen einen sehr kleinen Pinabstand von 0,80 mm bzw. 0,95 mm auf und sind entsprechend schwieriger zu bestücken.

4.6.5 Gehäuseeinbau

Um das Modul problemlos mit dem LEGO Mindstorms RIS verwenden zu können, ist neben elektrischer auch mechanische Kompatibilität nötig. Denkbar war der Bau eines Gehäuses mit den LEGO-üblichen Noppen oder die Zweckentfremdung eines existierenden LEGO-Gehäusetyps.

Die Wahl fiel auf ein LEGO-Batterie-Gehäuse, in dem normalerweise eine 9V-Blockbatterie Platz findet. Damit die Schaltung in dieses Gehäuse passt, musste sie auf drei Platinen aufgeteilt werden, die sandwichartig übereinandermontiert nicht grösser als eine 9V-Batterie sein durften (Abbildung 4.25).

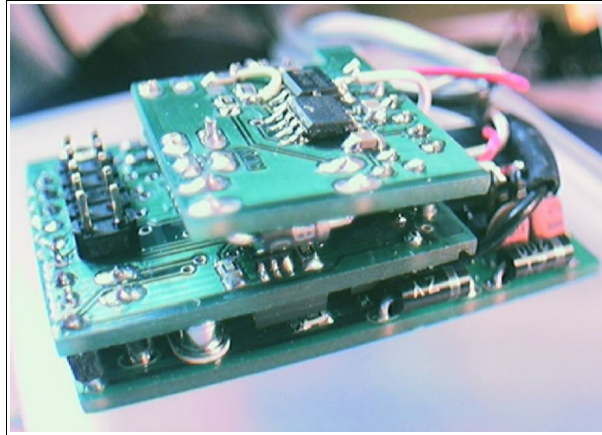


Abbildung 4.25: Die fertig bestückten Platinen

Die in das Batterie-Gehäuse eingelassenen Kontaktreihen zu je 6 Noppen wurden mit einem feinen Bohrer in drei unabhängige Steckfelder getrennt. Eines der Felder dient zum Anschluss der Versorgungsspannung, ein anderes zum Anschluss des RCX-Sensor-Eingangs. Um eine Zerstörung des Moduls durch versehentliche Verpolung zu vermeiden, wurde die Versorgungsspannung über eine Schottky-Diode (SB130) mit dem Modul verbunden.

Das fertig eingebaute Modul ist in Abbildung 4.26 zu sehen. Der freie Platz über dem Transformator wird für die Durchführung der Kabel genutzt. Der Programmieranschluss, der serielle Anschluss und das Potentiometer zur Einstellung des A/D-Wandlers sind ohne Ausbau des Modules erreichbar. Die in Abbildung 4.25, 4.26 zu sehende Platine entspricht nicht dem endgültigen Platinenlayout im Anhang dieser Arbeit. Die zwei zusätzlichen Brücken sind im endgültigen Layout nicht erforderlich.

Der Ultraschall- und der Infrarotsensor wurden in ein kleines Plastikgehäuse (Abbildung 4.45) eingebaut, das auf einen Legostein mit 2x4 Noppen geklebt wurde. Die Anschlusskabel wurden mit etwa 15 cm Länge bewußt etwas länger ausgelegt, um bei der Montage des Sensors einige Freiheiten zu haben.

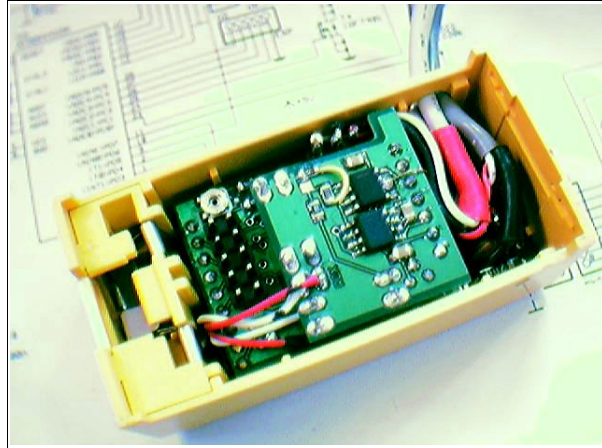


Abbildung 4.26: Gehäuseeinbau

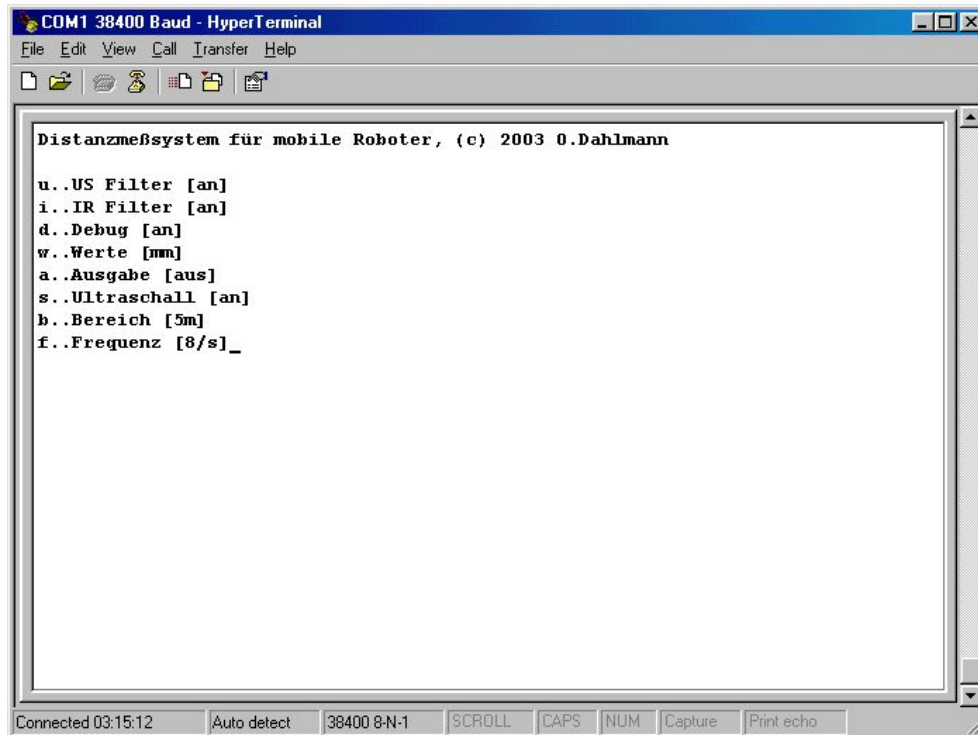
4.7 Software (Mikrocontroller-Programmierung)

Im Hinblick auf die Wiederverwendbarkeit des gesamten Konzeptes wurde die Software in einzelne Funktionsblöcke unterteilt. Diese Funktionsblöcke wurden in Form von Libraries (Bibliotheken) realisiert, die somit auch problemlos in späteren Entwicklungen weiterverwendet werden können.

Als Programmiersprache für das Projekt wurde aus mehreren Gründen Assembler ausgewählt: Es ergeben sich bei geschickter Programmierung Vorteile wie geringe Code-Grösse und hohe Geschwindigkeit, hardwarenahe Programmierung ist in Assembler einfacher und direkter möglich als in für den Controller ebenfalls verfügbaren Hochsprachen wie C oder Basic.

Das Projekt ‚distanz.aps‘ besteht aus dem Hauptprogramm ‚distanz_main.asm‘ und etlichen Libraries, die hinzugelinkt werden. Sämtliche trennbaren Programmteile wie Ultraschall-Messung, Infrarot-Messung, RCX-Ausgabe, RCX-Eingabe, etc. wurden in einzelne Libraries verpackt.

Nach dem Reset führt der Mikrocontroller ohne weiteres Zutun etwa 8 Ultraschall- und Infrarot-Messungen pro Sekunde durch. Über ein Terminal-Programm kann über die serielle Schnittstelle (38.400Baud, 8N1) mit dem Modul kommuniziert werden. Das erste empfangene Zeichen, dem kein Befehl zugeordnet ist, führt zur Ausgabe eines Menüs (siehe Abbildung 4.27). Bei Übermittlung eines der angegebenen Zeichen wechselt die entsprechende Einstellung.

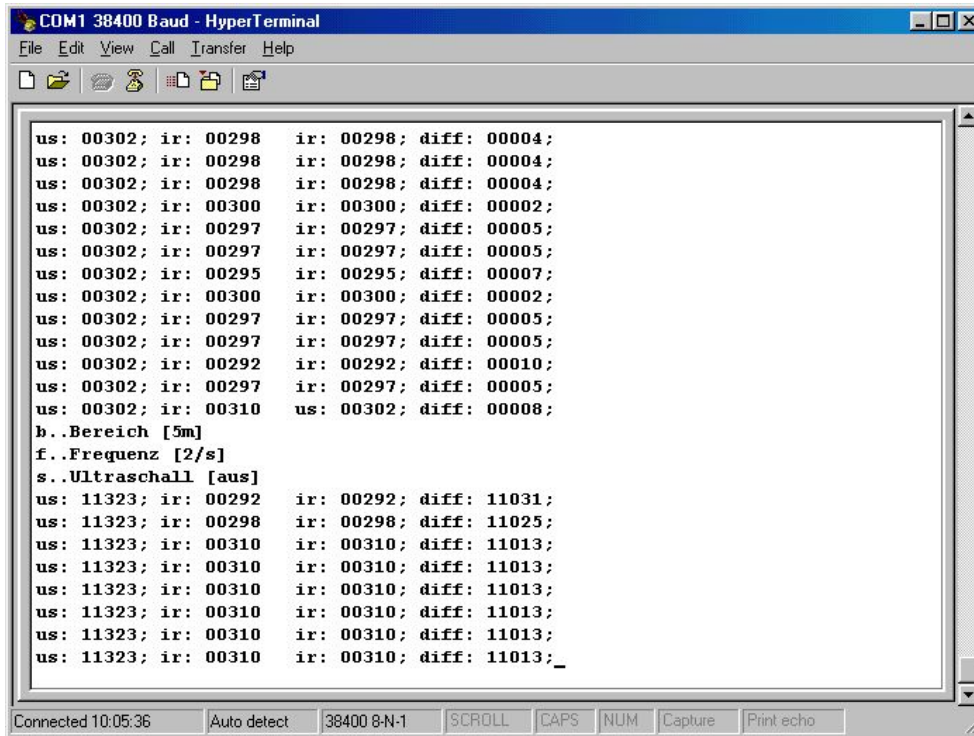


```
COM1 38400 Baud - HyperTerminal
File Edit View Call Transfer Help
Distanzmeßsystem für mobile Roboter, (c) 2003 O.Dahlmann
u..US Filter [an]
i..IR Filter [an]
d..Debug [an]
w..Werte [mm]
a..Ausgabe [aus]
s..Ultraschall [an]
b..Bereich [5m]
f..Frequenz [8/s]_
Connected 03:15:12 Auto detect 38400 8-N-1 SCROLL CAPS NUM Capture Print echo
```

Abbildung 4.27: Ausgabe des Distanzmessmoduls auf dem Terminal, Start

Druck auf die Taste ‚d‘ gibt pro Messung umfangreiche Informationen aus: Die einzelnen Messwerte (in mm), deren Differenz, ein Ergebniswert in mm und eine Information darüber, wie der Ergebniswert zustande gekommen ist (siehe Abbildung 4.28).

Das Zeichen ‚w‘ toggelt zwischen Ausgabe der Rohdaten und der Ausgabe der in Entfernungswerte umgerechneten Werte. ‚s‘ schaltet die Ultraschall-Messung bei Bedarf aus. ‚b‘ dient zur Bereichumschaltung des analogen Ausgangs, entweder entsprechen 5m oder 1m Maximal-Entfernung dem Aussteuerungsbereich des D/A-Wandlers. Mit ‚f‘ kann die Anzahl der Messungen pro Sekunde von etwa 8/s auf ungefähr 2/s umgeschaltet werden. Die genaue Anzahl der Messungen variiert mit der vom Ultraschall-Sensor erkannten Entfernung.

The image shows a HyperTerminal window titled "COM1 38400 Baud - HyperTerminal". The window contains a series of data lines transmitted over a serial connection. The data is organized into sections: an initial series of measurements, a section for setting the range to 5m, a section for setting the frequency to 2/s, and a final series of measurements with the ultrasonic sensor deactivated. Each line follows the format "us: [value]; ir: [value] ir: [value]; diff: [value];".

```
COM1 38400 Baud - HyperTerminal
File Edit View Call Transfer Help
[Icons]
us: 00302; ir: 00298 ir: 00298; diff: 00004;
us: 00302; ir: 00298 ir: 00298; diff: 00004;
us: 00302; ir: 00298 ir: 00298; diff: 00004;
us: 00302; ir: 00300 ir: 00300; diff: 00002;
us: 00302; ir: 00297 ir: 00297; diff: 00005;
us: 00302; ir: 00297 ir: 00297; diff: 00005;
us: 00302; ir: 00295 ir: 00295; diff: 00007;
us: 00302; ir: 00300 ir: 00300; diff: 00002;
us: 00302; ir: 00297 ir: 00297; diff: 00005;
us: 00302; ir: 00297 ir: 00297; diff: 00005;
us: 00302; ir: 00292 ir: 00292; diff: 00010;
us: 00302; ir: 00297 ir: 00297; diff: 00005;
us: 00302; ir: 00310 us: 00302; diff: 00008;
b..Bereich [5m]
f..Frequenz [2/s]
s..Ultraschall [aus]
us: 11323; ir: 00292 ir: 00292; diff: 11031;
us: 11323; ir: 00298 ir: 00298; diff: 11025;
us: 11323; ir: 00310 ir: 00310; diff: 11013;
us: 11323; ir: 00310 ir: 00310; diff: 11013;
us: 11323; ir: 00310 ir: 00310; diff: 11013;
us: 11323; ir: 00310 ir: 00310; diff: 11013;
us: 11323; ir: 00310 ir: 00310; diff: 11013;
us: 11323; ir: 00310 ir: 00310; diff: 11013;
us: 11323; ir: 00310 ir: 00310; diff: 11013;_
Connected 10:05:36 Auto detect 38400 8-N-1 SCROLL CAPS NUM Capture Print echo
```

Abbildung 4.28: Ausgabe des Distanzmessmoduls im Debug-Modus

Während der zu sehenden Messdaten-Ausgabe des Distanzmessmoduls hat der RCX-Controller über die in Kapitel 4.8 beschriebene Kommunikationsmethode den Modus des Distanzmessmoduls umgeschaltet. Der Ultraschallsensor wurde deaktiviert, die Messfrequenz auf 2 Messungen pro Sekunde verringert.

In Abbildung 4.29 ist der Ablauf des auf dem Atmel-Controller ablaufenden Programmes zu sehen. Die Implementierung der Ultraschall- und Infrarot-Messung sowie die Filterung der Messwerte werden in den nachfolgenden Kapiteln erläutert.

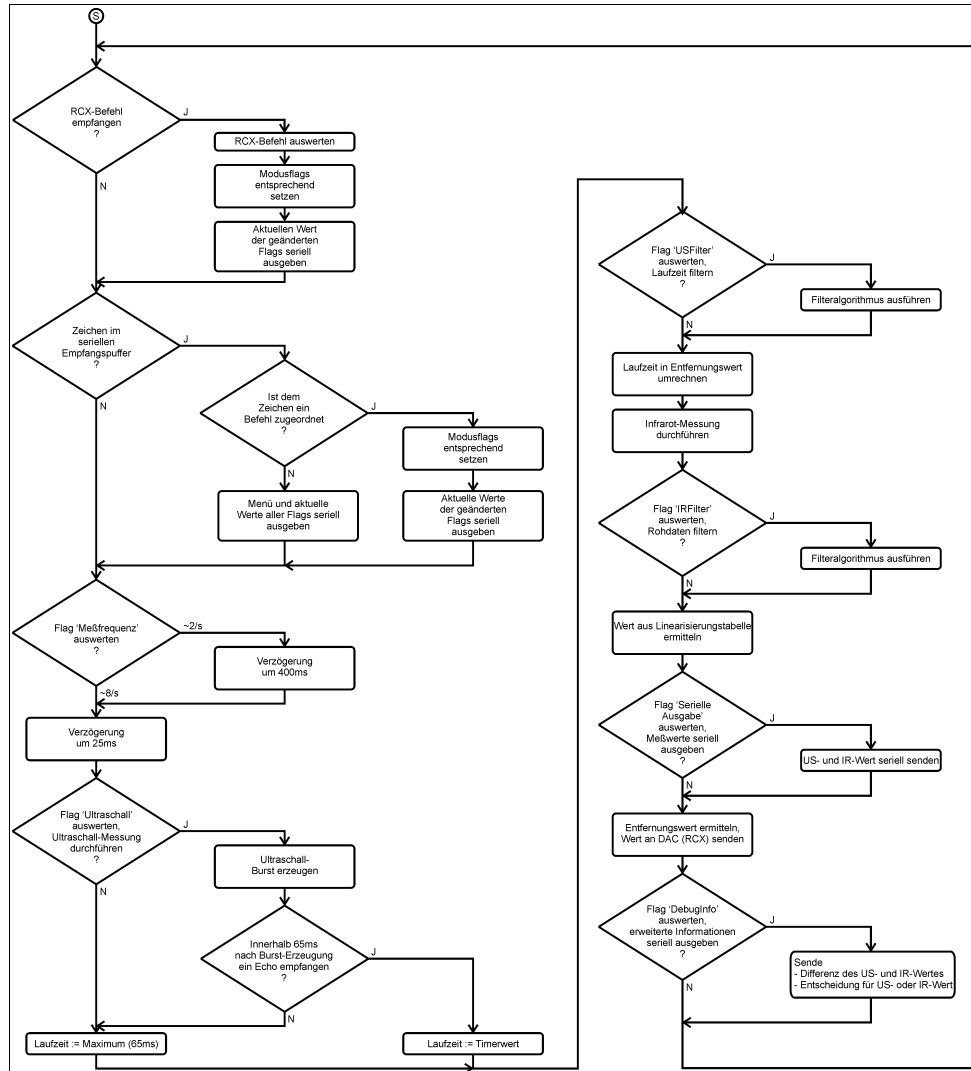


Abbildung 4.29: Ablaufdiagramm der Hauptprogrammschleife

Nachfolgend ein Diagramm (Abbildung 4.30), in dem der vereinfachte Programmablauf mit den quasi-parallel ablaufenden Timer- und UART-Interrupts in einer einem Sequenz-Diagramm ähnlichen Notation dargestellt wird.

Der Timer-Interrupt wird alle 2ms aufgerufen, aktualisiert den Ausgabewert des D/A-Wandlers und fragt den am RCX-Sensor-Eingang anliegenden Pegel ab, um die Kommunikation mit dem RCX wie in Kapitel 4.8 beschrieben zu ermöglichen.

Der UART-Interrupt-Handler sendet eigenständig die im Sendepuffer anstehenden Bytes und schreibt die empfangenen Bytes seinerseits in einen Empfangspuffer. Beide Puffer sind als Ringpuffer ausgelegt.

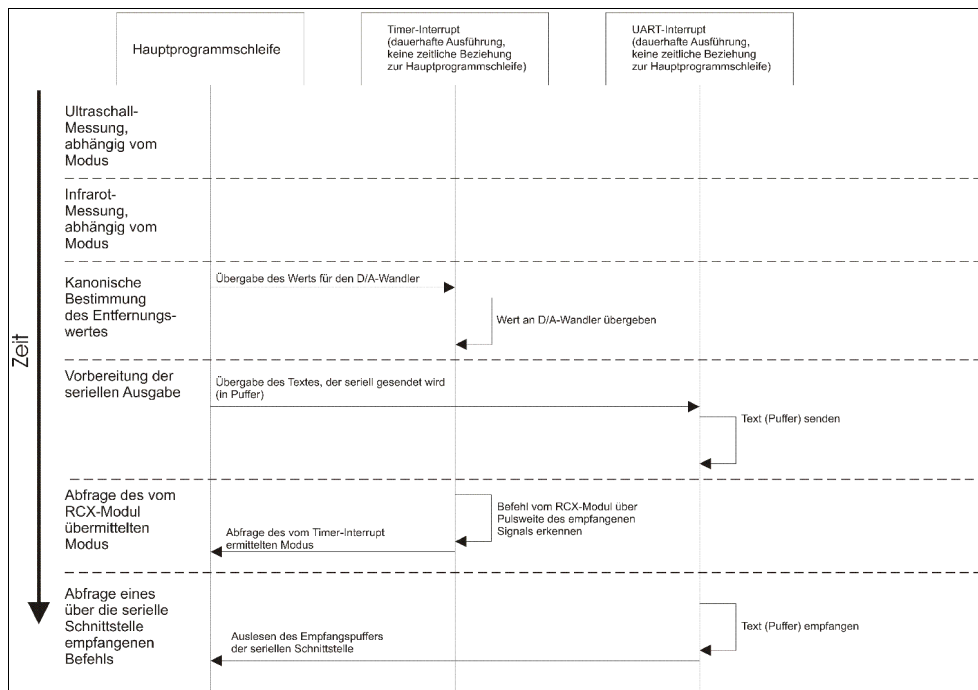


Abbildung 4.30: Programmablauf, parallele Prozesse

4.7.1 Ultraschall-Messung

Direkt vor der Erzeugung von 8 Perioden eines 50kHz-Bursts an einer der I/O-Port-Leitungen des Controllers wird ein Timer gestartet, der beginnend von Null in Abständen einer Mikrosekunde Impulse zählt. Diese Impulse werden aus der Taktfrequenz des Mikrocontrollers von 8MHz und einem in den Timer integrierten Vorteiler (programmiert auf CK/8) erzeugt. Nach einer kurzen Zeitspanne werden die zuvor gesperrten Interrupts freigegeben. Die Interrupt-Sperre ist nötig, damit nicht bereits der Burst selbst oder das Nachschwingen des Transducers als Echo erkannt werden.

Ein empfangenes Ultraschall-Echo führt zu einem Low-Pegel am ICP(Input Capture)-Eingang des Controllers. Hierauf speichert der Controller den Zählerstand des Timers und löst einen InputCapture-Interrupt aus. Die Laufzeit des Echos in Mikrosekunden ist hiermit bekannt und kann auf einfache Weise in einen Entfernungswert, gemessen in mm, umgewandelt werden. Die Messung ist hiermit beendet.

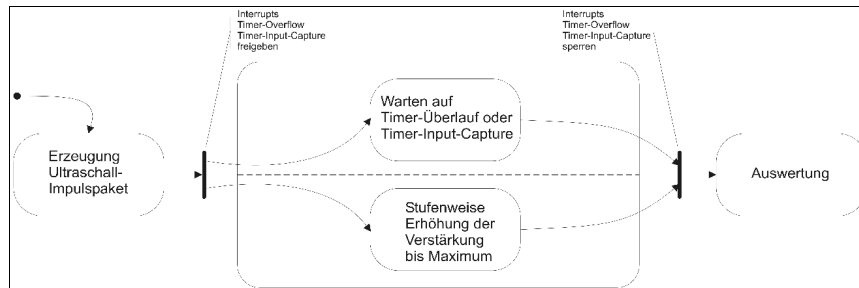


Abbildung 4.31: Ablauf Ultraschall-Messung

Bleibt das Ultraschall-Echo aus, läuft der 16Bit-Zähler nach etwa 65,5 Millisekunden über (65.535 \rightarrow 0). Daraufhin wird ein Overflow-Interrupt ausgelöst, der die Messung beendet. Da keine Entfernung gemessen werden konnte, muss davon ausgegangen werden, dass sich kein für das Ultraschall-Signal erkennbares Objekt vor dem Sensor-Modul befindet. Die Software begrenzt durch den nach 65ms überlaufenden Timer die maximal messbare Entfernung auf etwa 10m. In der Praxis sind die von weiter als 5m entfernten Objekten reflektierten Echos in der Regel zu klein, um noch von der Elektronik wahrgenommen zu werden, da die Amplituden der Signale dann im Rauschen und im Übersprechen der digitalen Signale auf den analogen Schaltungsteil untergehen.

Während der Controller nach Erzeugen des Bursts auf das Eintreffen eines Interrupts wartet, wird die Verstärkung des Ultraschall-Empfängers zunächst auf 20x erhöht, dann linear mittels des Digital-Potentiometers (Library: ‚X9C104_lib.asm‘) erhöht. Die einzelnen Erhöhungs-Schritte werden nach jeweils gleichem zeitlichen Abstand von etwa 2,1ms aus einer Tabelle (GAINTAB, in der Library ‚Ultrasonic_lib.asm‘ zu finden) gelesen und können somit einfach verändert werden. Die Werte in der Tabelle stellen keine absoluten Werte dar, sondern relative Erhöhungen zum zuletzt eingestellten Verstärkungsfaktor: Das hier verwendete Digitalpoti kennt kein serielles Protokoll, um einen absoluten Wert zu setzen, stattdessen wird über drei Leitungen ein interner Up/Down-Counter gesteuert. Ein Reset-Eingang ist nicht vorhanden. Zu Beginn jeder Messung wird das ‚Potentiometer‘ daher auf Nullstellung gebracht, indem 100 Schritte in Down-Richtung ausgeführt werden. Dies ist möglich, da nach Erreichen der untersten ‚Schleiferposition‘ diese auch mit weiteren Dekrementierungen beibehalten wird, es findet kein Unterlauf des internen Zählers statt.

4.7.2 Infrarot-Messung

Zunächst wird die Betriebsspannung des Infrarot-Sensors über eine I/O-Leitung des Controllers eingeschaltet. Nach einer Wartezeit im Bereich einiger Millisekunden, die nötig ist, damit der Sensor seine interne

Elektronik initialisiert hat und sinnvolle Werte liefert, werden insgesamt 8 Analog-Digital-Wandlungen gestartet.

Der A/D-Wandler des Controllers ist mit einer maximalen Samplingrate von etwa 15kHz hinreichend schnell, um die 8 Wandlungen in ungefähr einer halben Millisekunde auszuführen. Ein Objekt, das sich mit 130 km/h bewegt, legt in dieser Zeit 2 cm zurück.

Der Infrarot-Sensor arbeitet jedoch sehr viel langsamer, so dass durch diese Mittelwertbildung nicht mehrere unabhängige Messwerte des Sensors verarbeitet werden, sondern vielmehr Messfehler des A/D-Wandlers und des Sensors aufgrund von Rauschen und transienten Überlagerungen auf den Versorgungsspannungen herausgefiltert werden.

Wie praktische Versuche gezeigt haben, wird die statistische Abweichung des gemittelten Messwertes vom erwarteten Wert mit 8 Messungen bereits signifikant geringer.

Wie im folgenden Kapitel gezeigt wird, wird der so erhaltene Wert vor der weiteren Verarbeitung gefiltert. An dieser Stelle wird nicht weiter auf den Prozess der Filterung eingegangen.

Da das Ausgangssignal nicht proportional zur gemessenen Entfernung ist, muss der Messwert linearisiert werden. Dies geschieht über eine Linearisierungstabelle: Beginnend beim theoretischen Maximal-Wert des A/D-Wandlungs-Vorgangs (dezimal 1023) beginnt eine Tabelle mit abnehmenden Messwerten für Entfernungswerte von 0..800 mm in äquidistanter Entfernung von 10 mm. Der erste Tabelleneintrag (W_k), der kleiner als der gemessene Wert (W) ist, wird gesucht. Der Index des Tabelleneintrags entspricht der Entfernung in cm (E_k).

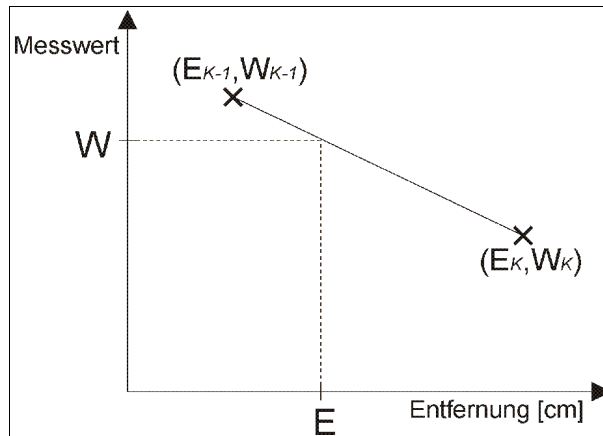


Abbildung 4.32: Lineare Interpolation (Infrarot-Sensor)

Die Schnittpunktbestimmung von W mit der durch die beiden Punkte (E_{K-1}, W_{K-1}) und (E_K, W_K) aufgespannten Geraden führt zum Ergebnis E , der gesuchten Entfernung.

$$E = \frac{W - W_K}{W_{K-1} - W_K} \cdot E_{K-1} + \frac{W_{K-1} - W}{W_{K-1} - W_K} \cdot E_K$$

Um ein 16bittiges ganzzahliges Ergebnis mit hinreichender Genauigkeit zu erhalten, wurden Divisionsroutinen mit 24Bit und Multiplikationsroutinen mit 16Bit und 32bittigem Ergebnis implementiert.

Die Aufnahme der erforderlichen Messwerte, um eine Linearisierungstabelle aufstellen zu können, geschieht über den Mitschnitt der Terminalausgaben mit der Funktion 'Linearisierung'. Die genaue Anwendung dieser Funktion wird im Anhang beschrieben.

Von den jeweils 32 Messwerten pro Entfernung ist der geometrische Mittelwert zu bilden, dies kann z.B. mit 'OpenOffice Calc' geschehen. Mit den entstandenen Mittelwerten lässt sich ein Regressionspolynom berechnen, das für beliebige Entfernungswerte im erlaubten Bereich (0 bis 80 cm) einen Messwert annähern kann. Hierbei wird ein Polynom errechnet, das die gemessenen Paare bestmöglich, also mit geringster Fehlerquadratsumme, annähert. Wird der Grad des Polynoms zu hoch gewählt, reproduziert das Polynom in zunehmender Weise die Messfehler, die an dieser Stelle herausgemittelt werden sollen. Ein Polynom 6. Grades führt jedoch zu einer guten Annäherung und geringen Abweichungen zu den gemessenen Paaren (x mm; y wert) (siehe Abbildung 4.33), das

Bestimmtheitsmass des dargestellten Polynoms liegt bei 0,9998 und der Korrelationskoeffizient bei 0,9999.

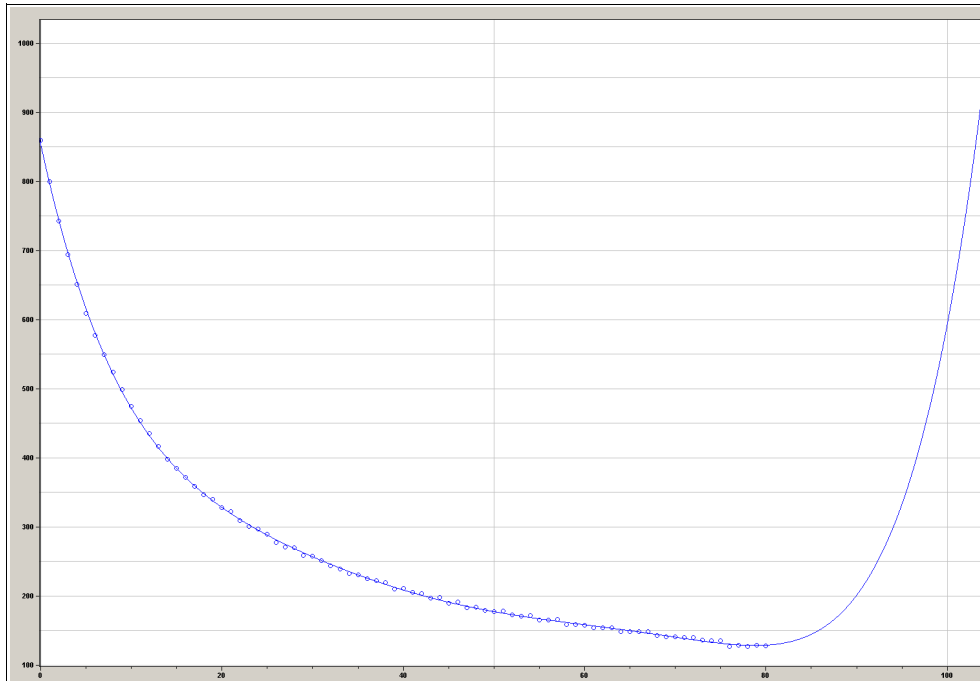


Abbildung 4.33: Polynom-Regression, Polynom und Messwerte

Während die die tatsächlichen Messwerte repräsentierenden Kreise noch für grössere Entfernungen alternierende Vorzeichen der Messwertänderung zeigen, ist der durch das Polynom angenäherte Verlauf für grösser werdende Entfernungen monoton fallend, ein wichtiges Kriterium für die einwandfreie Funktion des Linearisierungsalgorithmus. Der Bereich, in dem das Polynom streng monoton fällt, also jeder Messwert M_x eindeutig einer Entfernung x zugeordnet werden kann, lässt sich zur eindeutigen Entfernungsbestimmung nutzen. Im dargestellten Fall reicht dieser Bereich von $x=0$ bis $x=78$ [cm]. Anhand dieses Polynoms werden 80 Wertepaare zum Aufbau der Linearisierungstabelle errechnet.

4.7.3 Messwert-Filterung

Die unabhängig voneinander gewonnenen Messwerte des Ultraschall- und Infrarot-Sensors sind mit einer gewissen Unsicherheit behaftet.

Da das Distanzmessmodul keine Informationen vom Roboter über die Bewegungsrichtung und Geschwindigkeit erhält, fällt es schwer, den weiteren Verlauf der Messgrössen vorherzusagen. Weder kann das Modul einschätzen, ob sich die Messgrösse im weiteren zeitlichen Verlauf erhöhen

oder verringern sollte, noch können Änderungen in den Messwerten eindeutig der Bewegung des Roboters zugeordnet werden, genauso ist es in dynamischen Szenarien möglich, dass sich die Umgebung selbst verändert hat.

Im Falle des Ultraschallsensors kann es sein, dass der Schall über mehrere Objekte reflektiert wird, bevor ein Echo zurück zum Sensor gelangt. Ebenso ist es möglich, dass sich das Ultraschallsignal im Raum verliert, obwohl sich ein Hindernis unmittelbar vor dem Sensor befindet. Aufgrund logischer Überlegungen kann die Konsistenz der einzelnen Messwerte ermittelt werden:

Der Ultraschallsensor misst die Zeit bis zur Reflektion eines ausgesandten Signals. Das Signal kann problemlos an einem Objekt reflektiert werden oder aber das Objekt streut das Signal in die Umgebung, was eine (möglicherweise massive) Verlängerung der Laufzeit zur Folge hat. Dies kann schon bei geringfügig anderen Winkeln der Objektoberfläche zum Sensor als 90° der Fall sein, tritt also in der Praxis häufig auf (siehe Abbildungen 'Ultraschall-Werte, $0^\circ..30^\circ$ '). Auf keinen Fall, elektronische Fehler einmal ausser Acht gelassen, wird jedoch eine geringere Zeit als die theoretisch resultierende zurückgegeben.

Verringerungen der Laufzeit sind also grundsätzlich glaubwürdig (Messergebnis mit hoher Wahrscheinlichkeit), starke Erhöhungen der Laufzeit in Folge zweier Messungen müssen nicht unbedingt der Realität entsprechen (Messergebnis mit geringerer Wahrscheinlichkeit). Es scheint also sinnvoll, einen neuen Messwert (direkt) zu übernehmen, wenn eine Verringerung der Entfernung im Vergleich zur vorigen Messung gemessen wurde. Ein Messwert, der eine (starke) Erhöhung der Laufzeit zeigt, könnte nach Filterung in das Ergebnis einfließen, indem die Vorgeschichte des Messverlaufs stärker berücksichtigt wird (rekursive Filterung).

Hierdurch würden kurzzeitige Aussetzer der Messung unterdrückt werden, es ist jedoch darauf zu achten, dass ein anhaltender hoher Messwert (der ja nicht zwangsläufig eine Störung sein muss) in bestimmter Zeit in das Ergebnis einfließt.

$$D_{US(n+1)} = \begin{cases} M_{US(n)} & \forall M_{US(n)} \leq D_{US(n)} \\ x \cdot M_{US(n)} + (1-x) \cdot D_{US(n)} & \forall M_{US(n)} > D_{US(n)} \text{ mit } 0 < x \leq 1 \end{cases}$$

Der neue ermittelte Entfernungswert $D_{US(n+1)}$ ist ein gewichteter Mittelwert aus dem vorigen Entfernungswert $D_{US(n)}$ und dem aktuellen Messwert $M_{US(n)}$.

Je näher der Faktor x gegen 1 läuft, desto schneller werden gestiegene Messwerte in das Ergebnis übernommen.

Der Infrarot-Sensor zeigt keine derart hohe Winkelabhängigkeit, jedoch ein Rauschen in Höhe von etwa 2% des Wertebereichs des A/D-Wandlers, wie in schneller Folge über den A/D-Wandler des AVR-Prozessors gesampelte Messungen zeigen (siehe Aufnahme der Linearisierungstabelle).

Mit zunehmenden Entfernungen wird die Änderung des Messwertes geringer, so dass ungefilterte Messwerte aufgrund des Rauschens eine höhere Ortsungenaugigkeit aufweisen.

Um den Einfluss dieses Messfehlers zu verringern, werden zunächst in schnellstmöglicher Folge 8 Wandlungen vorgenommen und aus diesen der Mittelwert gebildet. Wie zu erwarten, ist das derart erzielte Ergebnis schon deutlich näher am theoretischen Wert als die gesampelten Einzelmessungen. Aufgrund der sehr kleinen Zeitspanne, die dieser Vorgang samt Mittelwertbildung dauert, wird das Ergebnis im Folgenden als Einzelmessung behandelt.

Der beschriebene Vorgang wird abhängig vom gewählten Modus bis zu 10 mal in der Sekunde wiederholt.

Der so erzeugte Rohdatenwert wird im Folgenden abhängig von seiner Grösse gefiltert. Der Ergebniswert $D_{IR(n+1)}$ hängt sowohl vom aktuellen Messwert $M_{IR(n)}$ als auch von seiner Vorgeschichte $D_{IR(n)}$ ab:

$$D_{IR(n+1)} = g(M_{IR(n)}) \cdot M_{IR(n)} + (1 - g(M_{IR(n)})) \cdot D_{IR(n)} \quad \text{mit} \quad 0 \leq g(M_{IR(n)}) \leq 1$$

$g(M_{IR(n)})$ sei die lineare Gewichtungsfunktion:

$$g(M_{IR(n)}) = \frac{a \cdot M_{IR(n)} + b}{M_{IRmax}} \quad \text{mit} \quad \begin{cases} 0 \leq b \leq 1 \\ a + b \leq 1 \\ a > 0 \end{cases}$$

M_{IRmax} sei hierbei der Wertebereich des Messwertes $M_{IR(n)}$, der im wesentlichen durch den A/D-Wandler bestimmt wird, dessen Wertebereich 0..1023 umfasst. Die Gewichtungsfunktion $g(M_{IR(n)})$ beschreibt einen linearen Zusammenhang zwischen der Glaubwürdigkeit eines Messwertes und dessen Höhe. Für den Sonderfall $a=0$, $b=1$ wird der Ergebniswert $D_{IR(n+1)}$ nur durch den aktuellen Messwert bestimmt.

Dadurch berücksichtigt der Filter, dass kleinere Messwerte, die grössere Entfernungen darstellen, das Ergebnis langsamer beeinflussen. Zu grösseren,

in der Nähe der Aussteuerungsgrenze des A/D-Wandlers befindlichen Messwerten konvergiert D_{IR} hingegen sehr schnell.

Der lineare Zusammenhang zwischen Messwerthöhe und propagierter Wahrscheinlichkeit des Messwertes trifft den wahren Verlauf zwar nicht ganz, führt aber dennoch zu guten Ergebnissen und ist, ohne die Notwendigkeit weiterer Tabellen oder komplexeren mathematischen Funktionen, problemlos auf dem AVR-Controller implementierbar.

Vor der weiteren Verarbeitung wird der Messwert linearisiert, hierbei wird auf eine Tabelle aus 80 Messwerten zurückgegriffen, die sich im EEPROM des Atmel-Mikrocontrollers befindet. Die aus 16Bit-Worten bestehende Tabelle beginnt mit dem Wert 1023, gefolgt von 80 Messwerten und endet mit dem Wert 0.

Schließlich werden beide derart vorgefilterten Messwerte zu einem Entfernungswert kombiniert, indem Fallunterscheidungen vorgenommen werden:

Liefern beide Sensoren einen Messwert zurück, wird im Folgenden der kleinere Messwert zur Bestimmung des Rückgabewertes herangezogen.

Erkennt der Infrarot-Sensor kein Hindernis (Entfernung > 80 cm), der Ultraschall-Sensor jedoch schon, wird der Ultraschall-Wert übernommen.

Liefert keiner der Sensoren einen Messwert zurück, befindet sich kein Objekt im Messbereich. Dem Zielsystem wird der höchstmögliche Entfernungswert mitgeteilt.

Vor Übermittlung des Messwertes an den RCX werden die an der Front des Roboters angebrachten Taster abgefragt. Sollte eine Berührung mit einem Hindernis stattfinden, so wird der kleinstmögliche Wert an den RCX gesendet. Das Ergebnis der Ultraschall- bzw. Infrarotmessung wird in seinem Nullpunkt verschoben, so dass die Berührung eines Tasters vom RCX einwandfrei als solche zu erkennen ist.

4.8 Software (RCX-Programmierung)

Das Distanzmessmodul wird an einen der drei Sensoreingänge des RCX angeschlossen. Die A/D-Wandlung der analogen Eingangsspannungen der drei Anschlüsse wird von brickOS im Hintergrund durchgeführt. Die vom A/D-Wandler ausgegebenen 10Bit-Werte werden auf vorzeichenlose 16Bit-Darstellung erweitert und in den globalen Variablen `AD_C (SENSOR_1)`,

AD_B (SENSOR_2) und AD_A (SENSOR_3) gespeichert. Die in Klammern angegebenen Variablennamen mit Sensorbezeichnung sind in [include/dsensor.h] definiert und können anstelle von AD_A - AD_C verwendet werden.

Der nutzbare Bereich umfasst etwa 0x4500 - 0xFFFF (zu kleineren Werten hin ist dieser durch den strombegrenzenden Widerstand R_{27} beschränkt). In der Praxis wurde eine Entfernung von $d=0\text{mm}$ mit Berührung durch den Wert 0x4500 dargestellt, der Abstand $d=0\text{mm}$ ohne Berührung führte zum Wert 0x4700, die obere Grenze des ausgewählten Messbereichs liegt bei 0xFFC0. Der vom RCX ermittelte Wert verhält sich linear zur gemessenen Entfernung. Der Zusammenhang zwischen Entfernung und vom RCX gemessenen Wert wird in Kapitel 4.9.2 verdeutlicht.

Die drei zweiadrigen Sensor-Eingänge des RCX-Moduls sind sehr vielseitig: Einerseits kann ein analoger Messwert vom RCX gelesen werden, andererseits kann ein angeschlossener Sensor über dasselbe Adernpaar mit Strom versorgt werden. Hierzu schaltet der RCX-Controller zwischen Anlegen der Versorgungsspannung und Samplen des anliegenden analogen Signals wie in Kapitel 4.5.6 beschrieben in schneller Folge um.

Das gezielte Ein- und Ausschalten dieser Versorgungsspannung wird hier zur Datenübertragung genutzt, der RCX ist hiermit in der Lage, dem Distanzmessmodul einfache Kommandos zu übermitteln.

Die Software des Atmel-Controllers unterscheidet zwischen 4 Kommandos, indem die Dauer ermittelt wird, die eine vom RCX-Modul eingeschaltete Versorgungsspannung stabil anliegt. Unterschieden wird zwischen den Zeiten 24ms, 40ms, 56ms und 72ms. Ungenauigkeiten im Bereich einiger ms werden sicher abgefangen.

Bei der Erzeugung von Impulsen genau definierter Länge mittels folgender Befehle:

```
ds_active(SENSOR_x);           // HIGH-Pegel (~8V)
delay(20);                     // 20 ms Verzögerung
ds_passive(SENSOR_x);         // LOW-Pegel (~5V)
```

stösst man auf ein Problem: Die Zeit, die der Ausgangspegel auf etwa 8V-Potential springt, scheint in grossem Maße zufällig und in jedem Fall viel länger als 20ms zu sein.

Der RCX-Controller unterbricht laut Dokumentation (siehe auch [kernel]) zu jeder Millisekunde den Programmablauf, um z.B. die Ansteuerung der

Motoren, Sensor-Abfrage, Ton-Erzeugung, Task-Wechsel, etc. durchzuführen. Dies geschieht über einen Timer-Interrupt.

Laut Dokumentation ist die Zeitscheibe, die einem Task standardmäßig zur Verfügung steht, 20ms lang. Dies erklärt die hohen zeitlichen Abweichungen (Jitter) beim Versuch, Pegelwechsel mit Genauigkeiten im Millisekundenbereich herbeizuführen.

Das Verhindern der Interrupts mittels der Funktion *disable_irqs()* führte jedoch nicht zum Erfolg (Funktion wird deklariert in [sys/irq.h]).

In der Dokumentation zu [sys/irq.h] stösst man auf einen Verweis auf den NMI ('Non Maskable Interrupt', also 'nicht sperrbarer Interrupt'), der durch die Funktion *system_time_init()* (siehe auch [kernel/system_time.c]) initialisiert wird. Der NMI wird vom internen Watchdogtimer WDT getriggert. Der Handler des NMI sorgt u.a. in einer erneuten Freigabe der Timer-Interrupts.

Um ein Ausschalten der Timer-Interrupts über einen längeren Zeitraum zu ermöglichen, ist also entweder eine umfangreiche Änderung des brickOS-Kernels notwendig oder der WDT muss an der Generierung eines NMI gehindert werden. Ausschalten lässt sich der WDT nicht, die Art des ausgelösten Interrupts kann jedoch geändert werden:

Der WDT lässt sich auf die Auslösung eines normalen, sperrbaren, Overflow-Interrupts umschalten (Bit6 in TCSR, siehe H8 Programming Manual). Dies bewirkt dann nach Sperren der Interrupts das gewünschte Verhalten, nämlich keinerlei Code-Ausführung, keinerlei Verzögerung des laufenden Programms. In Assembler sieht das folgendermaßen aus (Assembler-Befehlsübersicht siehe [Hitachi H8]):

```

push    r0                ; Register r0 absichern, wird verwendet

mov.b   #0XA5,r0h         ; r0 := A5XX, A5 ist das 'Codewort', um in TCSR
                        ; schreiben zu dürfen

mov.b   @0xFFA8,r0l       ; der Inhalt von TCSR wird in das Lowbyte von
                        ; r0 geschrieben

and.b   #0b10111111,r0l   ; Bit6 wird gelöscht

mov.w   r0,@0xFFA8        ; r0 wird nach TCSR zurückgeschrieben

pop     r0                ; Registerinhalt wiederherstellen

```

Die Routine, die den WDT wieder auf NMI-Auslösung zurückstellt, sieht bis auf einen kleinen Unterschied genauso aus: Aus der *and.b*-Zeile wird folgende Zeile:

```
or.b    #0b01000000,r0l    ; Bit6 wird gesetzt
```

Mit einer Verzögerungsschleife, bestehend aus der wiederholten Ausführung eines NOP (No Operation, einen Taktzyklus lang nichts tun)-Befehls, wird die entsprechende Impulslänge erzeugt. Normalerweise sollte man diese Art der Verzögerungsschleife in Multitasking-Umgebungen tunlichst vermeiden, aber da das Taskswitching sowieso deaktiviert wurde, macht es natürlich keinen Unterschied.

Geschrieben in C, vermischt mit Inline-Assembler, sieht die vollständige Funktion zum Senden eines Kommandos folgendermaßen aus:

```
extern inline void WatchDog_Sperren()
{
    __asm__ __volatile__ ("tpush r0\n" ::: "cc");
    __asm__ __volatile__ ("tmov.w #0,r0\n" ::: "cc");
    __asm__ __volatile__ ("tmov.b #0xA5,r0h\n" ::: "cc");
    __asm__ __volatile__ ("tmov.b @0xFFA8,r0l\n" ::: "cc");
    __asm__ __volatile__ ("tand.b #0b10111111,r0l\n" ::: "cc");
    __asm__ __volatile__ ("tmov.w r0,@0xFFA8\n" ::: "cc");
    __asm__ __volatile__ ("tpop r0\n" ::: "cc");
}

extern inline void WatchDog_Aktivieren()
{
    __asm__ __volatile__ ("tpush r0\n" ::: "cc");
    __asm__ __volatile__ ("tmov.w #0,r0\n" ::: "cc");
    __asm__ __volatile__ ("tmov.b #0xA5,r0h\n" ::: "cc");
    __asm__ __volatile__ ("tmov.b @0xFFA8,r0l\n" ::: "cc");
    __asm__ __volatile__ ("tor.b #0b01000000,r0l\n" ::: "cc");
    __asm__ __volatile__ ("tmov.w r0,@0xFFA8\n" ::: "cc");
    __asm__ __volatile__ ("tpop r0\n" ::: "cc");
}

static void SendCommand(int COMMAND)
{
    int verz;
    disable_irqs(); //Interrupts sperren
    WatchDog_Sperren(); //Watchdog -> Intervall-Timer
    bit_set(&PORT6, 2); //aktiv, High-Pegel RCX-Sensor
    for (verz=0;verz<(1970+1310*(COMMAND-1));verz++)
    {
        __asm__ __volatile__ ("tnop\n" ::: "cc"); //Verzögerungsschleife mit NOP's
    }
}
```

```
bit_clear(&PORT6, 2);           //passiv, Low-Pegel RCX-Sensor
WatchDog_Aktivieren();        //Watchdog -> NMI
enable_irqs();                 //Interrupts erlauben
}
```

Bei der Implementierung der Verzögerungsschleife trat ein Problem auf: Um die verschiedenen Verzögerungszeiten zu erzielen, wird die Nummer des zu übermittelnden Kommandos mit einem Faktor multipliziert. Bei einem Faktor von 1310 funktioniert die Verzögerungsschleife wie erwartet, bei Veränderung auf den (mathematisch korrekten) Faktor 1313 verringert sich die erzielte Impulsdauer um den Faktor 5. Ob dies ein Fehler des GNU-C-Compilers oder ein Feature im Sinne der Code-Optimierung durch den GCC (Verhinderung von NOP-Schleifen) ist, ließ sich in der zur Verfügung stehenden Zeit nicht mehr klären.

Nach der Wiederherstellung des NMI und Reaktivieren der Interrupts führt der RCX das unterbrochene Programm fort. Ein Nachteil dieser Methode ist, dass sowohl die Motortreiber (PWM) als auch die Tonausgabe während der Impulsausgabe nicht aktualisiert werden. Kurzzeitige Änderungen der Motorgeschwindigkeit oder hörbare Auswirkungen auf die Tonerzeugung können die Folge sein. Die Systemuhr bleibt während dieser Zeit ebenfalls stehen.

4.9 Funktions- und Leistungstest

4.9.1 Messwerte in Abhängigkeit von Winkel und Entfernung

Nachfolgend werden 5 Messreihen betrachtet (Abbildung 4.35-4.44), bei denen ein Karton (Höhe: 35 cm, Breite: 21 cm) als Messobjekt verwendet wurde. Auf der X-Achse der Diagramme ist die Entfernung zum Objekt aufgetragen, die Y-Achse zeigt die Laufzeit (Ultraschall) bzw. den vom A/D-Wandler gemessenen Wert. Jede dieser Messreihen wurde mit einem anderen Winkel des Objektes durchgeführt, der Karton stand hierzu auf einem verschiebbaren Schlitten, auf dem eine Skala mit verschiedenen Winkeln aufgeklebt wurde (Abbildung 4.34). Der Sensor befand sich zunächst in einer Höhe von etwa 7 cm, musste jedoch höher montiert werden, da ansonsten die 1cm hohe Kante des Schlittens ab einer Entfernung von etwa 45 cm zum Sensor als Hindernis erkannt wurde. Der Winkel α (siehe nachfolgende Grafik) des Objekts nahm 0° , 5° , 10° , 20° und 30° ein. Der sich dabei ergebende Offset wurde in der Weiterverarbeitung der Messreihen berücksichtigt.

Mit zunehmendem Winkel wird deutlich, dass die Qualität der Ultraschallmessung abnimmt, während die Infrarot-Messung deutlich unabhängiger vom Winkel ist.

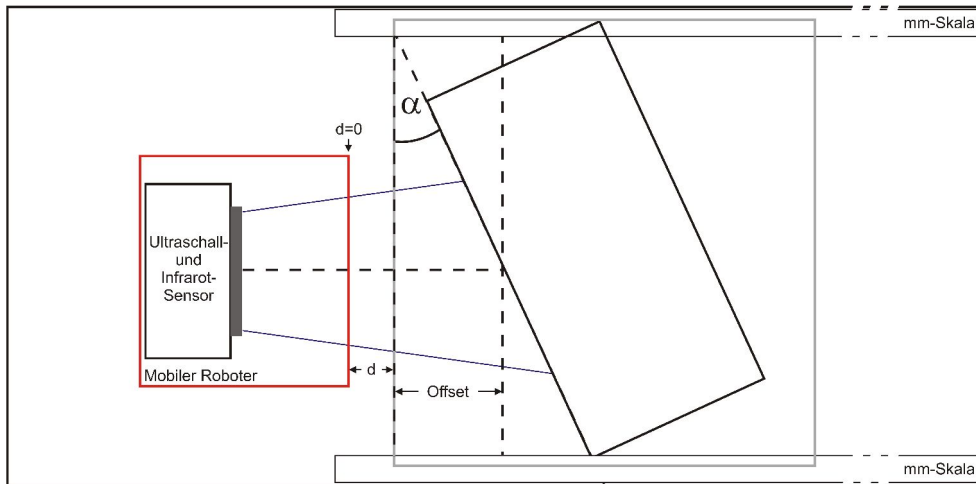


Abbildung 4.34: Aufnahme der Linearisierungstabellen, Draufsicht

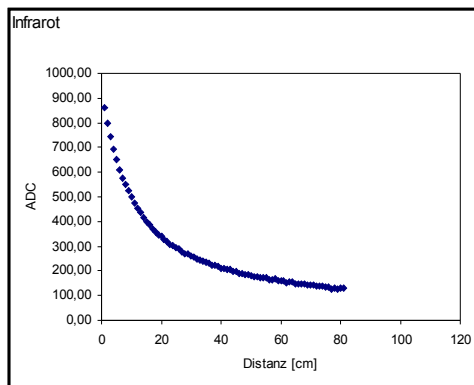


Abbildung 4.35: Infrarot-Werte, 0°

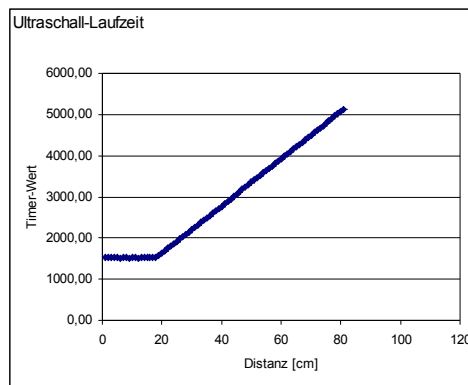


Abbildung 4.36: Ultraschall-Werte, 0°

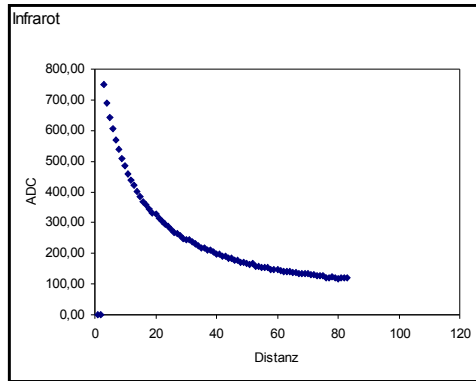


Abbildung 4.37: Infrarot-Werte, 5°

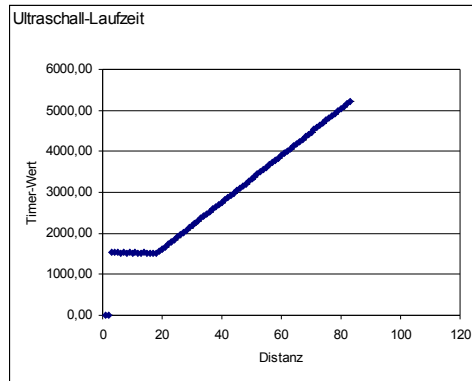


Abbildung 4.38: Ultraschall-Werte, 5°

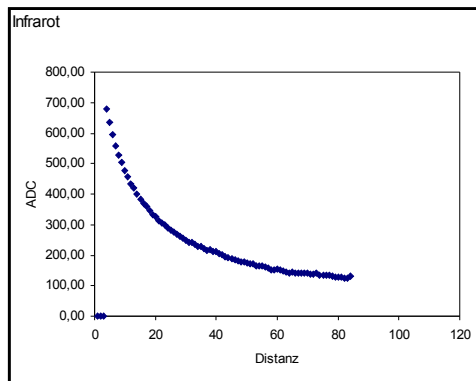


Abbildung 4.39: Infrarot-Werte, 10°

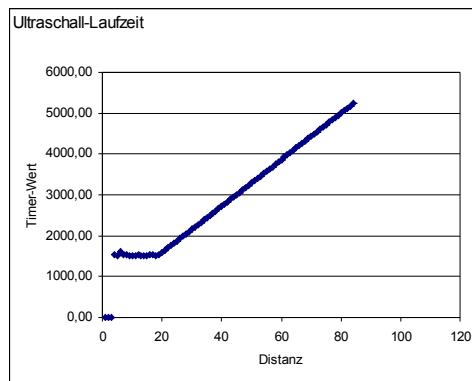


Abbildung 4.40: Ultraschall-Werte, 10°

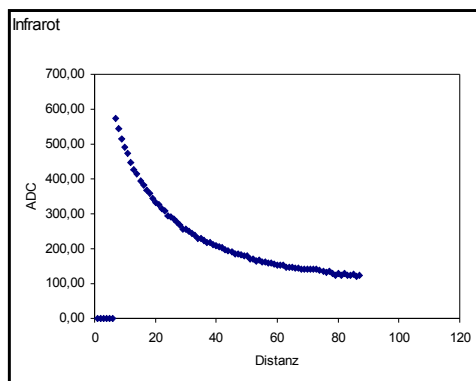


Abbildung 4.41: Infrarot-Werte, 20°

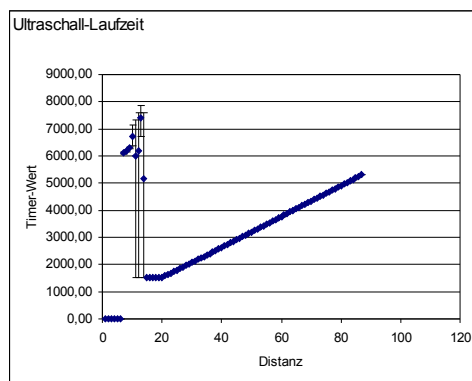


Abbildung 4.42: Ultraschall-Werte, 20°

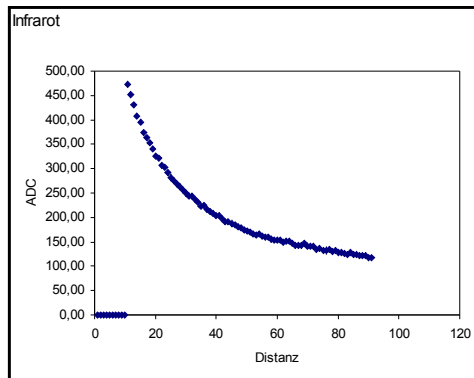


Abbildung 4.43: Infrarot-Werte, 30°

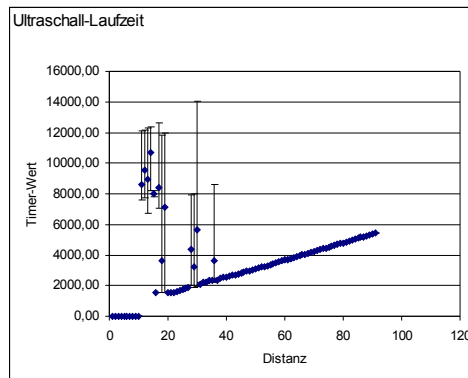


Abbildung 4.44: Ultraschall-Werte, 30°

In den Diagrammen sind neben den Mittelwerten von jeweils 5 Ultraschallmessungen pro Messpunkt auch die Abweichungen in Form von Minima und Maxima angegeben. Bei den Winkeln 20° und 30° ist zu sehen, dass im Nahbereich bis etwa 40 cm Distanz das Ultraschallsignal in die Umgebung gestreut und über weitere Objekte der Umgebung schließlich wieder zurückgeworfen wird. Das über mehrere Objekte reflektierte Signal ist jedoch so schwach, dass es nicht mehr stabil als Echo erkannt wird, daher ergeben sich starke Streuungen des Messwertes.

4.9.2 Linearität

In einem weiteren Test wurde die Entfernung zu 4 verschiedenen Hindernissen bestimmt und danach mit dem Distanzmessmodul gemessen. Der auf dem LCD-Display des RCX hexadezimal angezeigte Wert wurde gegen die Entfernung in Abbildung 4.45 aufgetragen.

Der erfasste Messwert wird im Distanzmessmodul durch den D/A-Wandler in einen analogen Wert gewandelt, im RCX geschieht der umgekehrte Vorgang. Trotz der doppelten Wandlung ist der angezeigte Wert linear und nahezu störungsfrei.

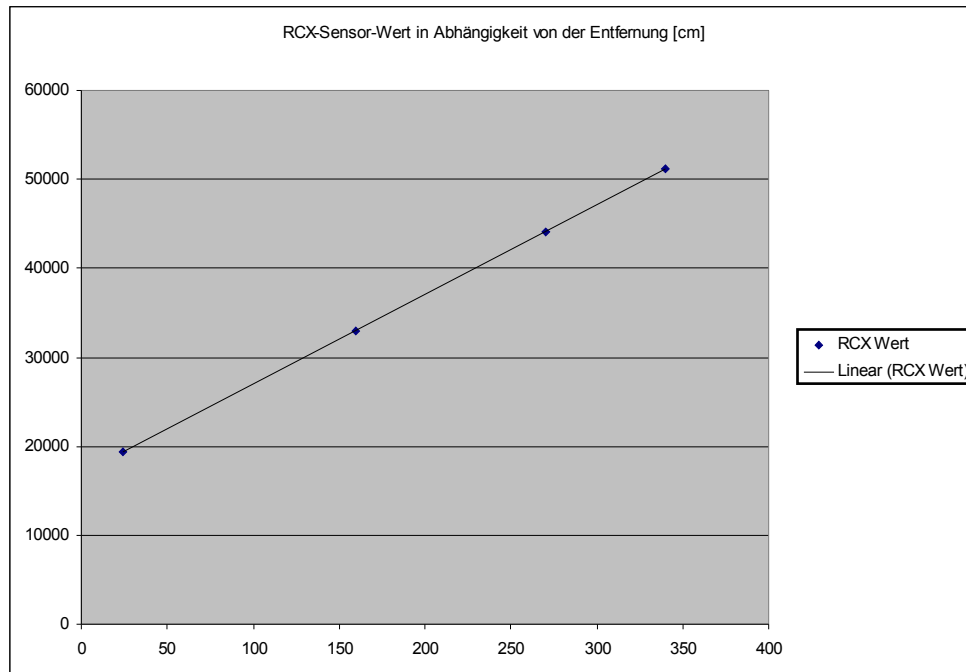


Abbildung 4.45: RCX-Sensor-Wert in Abhängigkeit von der Entfernung

4.9.3 Objekte geringer Grösse

Es wurde ein Test durchgeführt, ob Objekte sicher erkannt werden, wenn sich diese nicht auf der gedachten Ideallinie befinden. Als Objekt wurde eine 0,7l-PET-Flasche, die in 10cm (Abbildung 4.47) bzw. 30cm (Abbildung 4.48) Entfernung vor dem Roboter ($d=100\text{mm}$ bzw. $d=300\text{mm}$) aufgestellt wurde, gewählt. Das Objekt wurde nun bzgl. der Ideallinie seitlich verschoben (siehe Abbildung 4.46). In 1,5m Entfernung vor dem Roboter befand sich eine Wand.

Wie zu erwarten war, sind Objekte ab einer gewissen Verschiebung von der Ideallinie im Bereich einiger cm nicht mehr sicher detektierbar. Eine Berührung dieser Objekte ist möglich, daher ist ein zusätzlicher, berührungsempfindlicher Sensor (Taste) als Kollisionserkennung erforderlich. Je näher sich ein Objekt vor dem Roboter befindet, desto stärker tritt dieser Effekt auf.

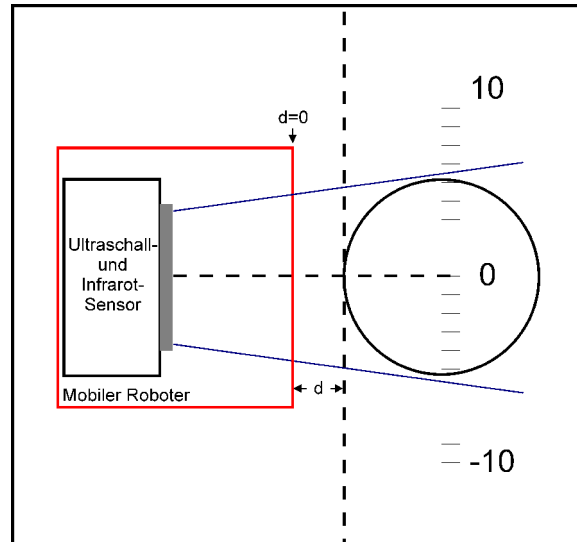


Abbildung 4.46: Messaufbau 'Seitliche Verschiebung'

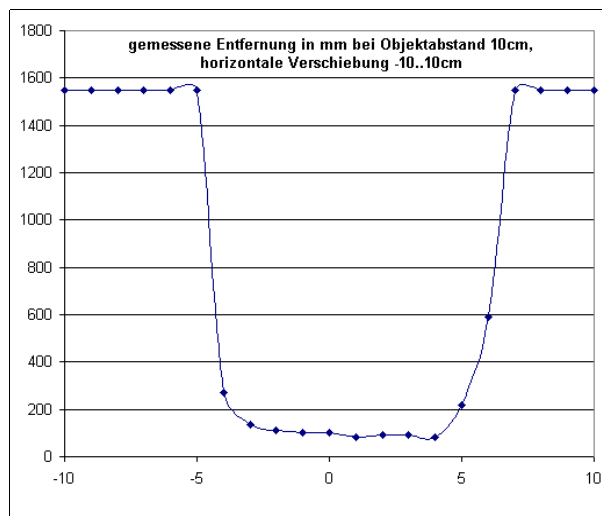


Abbildung 4.47: Objekt in 10cm Entfernung, seitlich verschoben

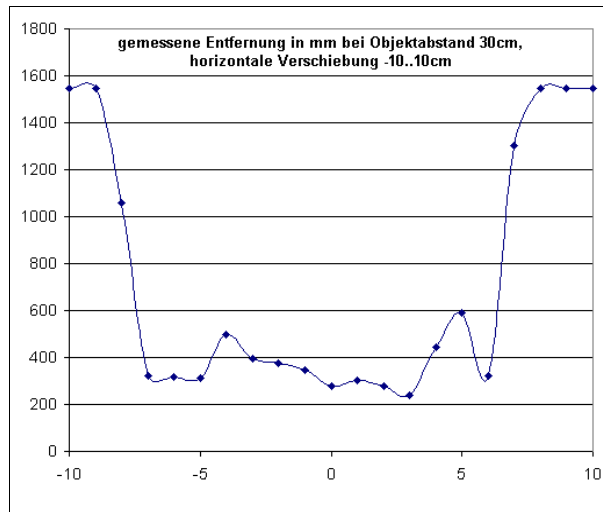


Abbildung 4.48: Objekt in 10cm Entfernung, seitlich verschoben

4.9.4 Praxistest Mobiler Roboter

Ein Praxistest mit einem einfachen Roboter (Abbildung 4.49), der mit zwei Motoren, dem Distanzmessmodul samt Ultraschall-, Infrarotsensor und zwei Tastern in der 'Stossstange' ausgerüstet war, demonstrierte die Funktion des Moduls unter realen Bedingungen. Ein einfaches C-Programm steuerte das simple Verhalten des Roboters:

- Geradeausbewegung bis Hindernis weniger als 20 cm entfernt
- Weiterfahrt mit verringerter Geschwindigkeit bis Hindernis weniger als 5 cm entfernt
- auf der Stelle nach links drehen, Entfernung messen, nach rechts drehen, Entfernung messen
- für grössere Entfernung entscheiden, in entsprechende Richtung drehen
- Lärmschutz: Wenn erkannte Entfernung <70 cm, auf Ultraschall verzichten (Kommando: Nur Infrarot an Distanzmessmodul)
- wiederholen

Der vom Distanzmessmodul gelieferte Entfernungswert beeinflusste das Verhalten des Roboters und wurde gleichzeitig auf dem LCD-Display des RCX in hexadezimaler Form ausgegeben.

Möbelstücke und Wände wurden bei diesem Test recht sicher erkannt.

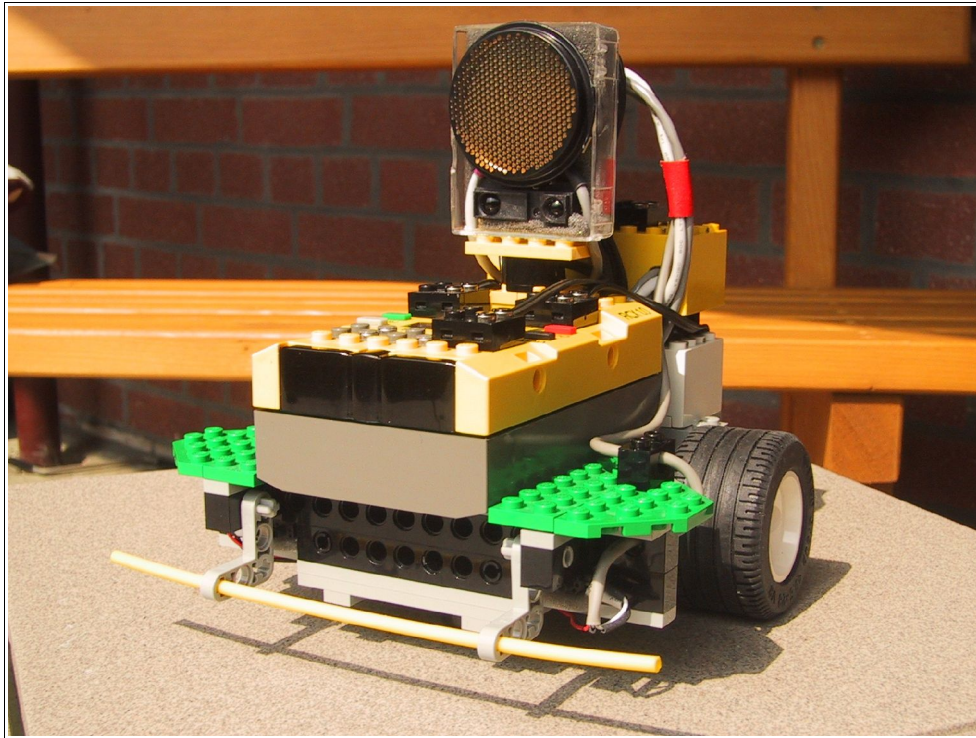


Abbildung 4.49: LEGO-Roboter, ausgerüstet mit Distanzmessmodul

In wenigen Fällen berührte der Roboter das Hindernis, hier signalisierten die Taster die Berührung. In den meisten Fällen fand jedoch eine berührungslose Erkennung statt.

4.9.5 Stromverbrauch

Der Stromverbrauch des Moduls wurde mit der Beschaltung nach Abbildung 4.50 ermittelt: Die an dem 10Ω -Widerstand abfallende Spannung wird über ein RC-Glied tiefpassgefiltert, die Spannung am Elektrolytkondensator mit einem Digitalvoltmeter nach einigen Sekunden gemessen (Zeitkonstante $\tau_{RC}=0,47s$).

Die mittlere Stromaufnahme des Gerätes errechnet sich somit aus folgender Formel:

$$\bar{I} = \frac{\bar{U}(i(t))}{10}$$

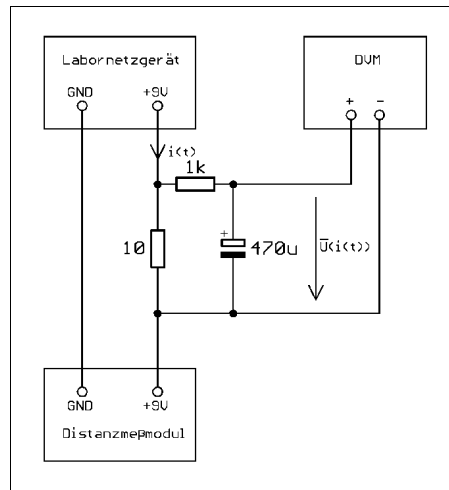


Abbildung 4.50: Ermittlung der mittleren Stromaufnahme

Bei einer Messfrequenz von etwa 8 Messungen pro Sekunde liegt die ermittelte mittlere Stromaufnahme bei 34mA. Mit dem Oszilloskop direkt am 10Ω-Widerstand gemessen ergaben sich Spitzenströme von etwa 200mA (hervorgerufen durch die Ultraschall-Impulserzeugung, <10ms).

5 Resümee

5.1 Ergebnis der Arbeit

Diese Arbeit hat gezeigt, dass es mit recht geringem Aufwand möglich ist, ein sehr kleines, für mobile Roboter konzipiertes Modul für die Distanzmessung zu bauen. Durch die Verwendung zweier nach unterschiedlichen Funktionsprinzipien arbeitender Sensoren und einer Mikrocontroller-basierten Messwert-Verarbeitung ergibt sich eine gute Genauigkeit in einem für die Anwendung in geschlossenen Räumen ausreichenden Distanzbereich.

5.2 Ausblick

Interessant wäre sicher die Verbindung mehrerer Module über die im normalen Betrieb am Lego-RCX Computer ungenutzte serielle Schnittstelle des Atmel-Microcontrollers. Denkbar wäre eine Art Token-Ring-Implementierung auf der seriellen Schnittstelle. Eines der Module müsste die Messwerte aller anderen sammeln und ggf. miteinander verknüpfen. Auf diese Weise könnte ein grösserer Bereich, unterteilt in tortenstückartige Sektoren, überwacht werden. Denkbar wäre auch, mehrere Sensoren in leicht unterschiedlichen Winkeln auf denselben Raumbereich zeigen zu lassen, um die starke Winkelabhängigkeit eines einzigen Ultraschall-Sensors auszugleichen.

Da das Modul mit der jetzigen Software auch in der Lage ist, auf der seriellen Schnittstelle die gemessene Entfernung auszugeben, eignet es sich auch für den Anschluss an Host-Systeme mit RS-232C-Schnittstellen. Durch die komplexere bidirektionale Kommunikation sind dann auch getriggerte Einzelmessungen und Eingriffe in das Verhalten des Moduls (wie z.B. Messbereichsumschaltung, Anzahl der Messungen pro Sekunde, etc.) einfach möglich.

Auf dem mit EXP im Schaltplan bezeichneten Anschluss sind noch zwei I/O-Leitungen des Mikrocontrollers frei verfügbar, diese können als digitale Ein- oder Ausgänge oder als analoge Eingänge benutzt werden. Eine Erweiterung der Funktionalität des Moduls durch weitere Sensoren oder Aktoren (z.B. Servo zum Drehen des Sensors) ist damit möglich.

Die Kommunikation mit dem Distanzmessmodul beeinflusst, wie in Kapitel 4.8 beschrieben, die Ganggenauigkeit der Systemuhr. Da die hervorgerufene Zeitdifferenz jedoch genau bekannt ist, kann in einer späteren

Version der Kommunikations-Routinen dieser Fehler durch Nachstellen der Uhr ausgeglichen werden.

Abbildungsverzeichnis

Abbildung 1.1: Staubsauger-Robot 'Roomba'.....	4
Abbildung 1.2: Trilobite Staubsauger-Roboter.....	5
Abbildung 1.3: Mobiler Roboter, mit dem Lego Robotics Invention System gebaut.....	6
Abbildung 2.1: Infrarot-Sensor (Platine).....	11
Abbildung 2.2: Infrarot-Sensor (Schaltplan).....	11
Abbildung 2.3: Blockschaltbild Sharp GP2D12.....	12
Abbildung 2.4: Ultrasonic-Owl-Scanner.....	13
Abbildung 2.5: SRF08 Ultrasonic Range Finder.....	14
Abbildung 2.6: SRF08 Platine (Lötseite).....	14
Abbildung 2.7: Polaroid 6500 Ultrasonic Range Finder.....	15
Abbildung 2.8: Bewegungsmelder.....	16
Abbildung 2.9: Funktionsweise Laserscanner.....	17
Abbildung 2.10: mit dem AID-3D ausgestatteter Roboter (Kurt2, Fraunhofer Institut).....	18
Abbildung 2.11: Kameramodul CMUcam.....	19
Abbildung 2.12: Kompass Devantech.....	20
Abbildung 2.13: Kompass (mechanisch, mit Hall-Sensoren).....	21
Abbildung 2.14: GPS-Empfänger.....	22
Abbildung 3.1: Triangulationsprinzip.....	28
Abbildung 3.2: Abhängigkeit von Materialeigenschaften, -farbe.....	29
Abbildung 3.3: Abhängigkeit von der Höhe des Objekts.....	29
Abbildung 3.4: Abhängigkeit von der Breite des Objekts.....	29
Abbildung 3.5: Abhängigkeit vom horizontalen Winkel (Graues Objekt)..	29
Abbildung 3.6: Abhängigkeit vom horizontalen Winkel (Weißes Objekt)..	30
Abbildung 4.1: AT90S4433 (oben) und PIC16F870 (unten), verschiedene Bauformen.....	34
Abbildung 4.2: AVR Studio 4, geöffnetes Projekt.....	36
Abbildung 4.3: Schaltplan Polaroid 6500 Series Sonar Ranging Module...	38
Abbildung 4.4: Signalverlauf einer Messung.....	39
Abbildung 4.5: Schaltungsteil 'Ultraschall-Sensorik'.....	40
Abbildung 4.6: Reflektion, Polaroid-Transformator.....	41
Abbildung 4.7: Reflektion, TOKO-Transformator.....	42
Abbildung 4.8: Ausschnitt Transducer-Treiber des Polaroid Sonar Ranging Moduls.....	42
Abbildung 4.9: sinusförmiges 50kHz Signal, GAIN-Erhöhung.....	44
Abbildung 4.10: Signale am Komparator IC6D.....	45
Abbildung 4.11: Ultraschallsignal, Kanal1 (rot): Pin7 IC6b, Kanal2 (blau): Ausgang Kollektor T3.....	46
Abbildung 4.12: Burstdauer 1 Impuls (blau), 8 Impulse (rot).....	47

Abbildung 4.13: Schaltungsteil 'Infrarot-Sensorik'.....	47
Abbildung 4.14: Kanal1: Geschalteter Masse-Anschluss des IR-Sensors, Kanal2: Analoges Ausgangssignal.....	48
Abbildung 4.15: Taster zur Berührungserkennung.....	49
Abbildung 4.16: Seriellles Protokoll, MAX5541.....	50
Abbildung 4.17: Schaltungsteil 'D/A-Wandler'.....	51
Abbildung 4.18: Signalverlauf am RCX-Eingang, Aktiver Sensor.....	52
Abbildung 4.19: Schaltungsteil 'RCX-Kommunikation'.....	53
Abbildung 4.20: Schaltungsteil 'Stromversorgung und Reset'.....	55
Abbildung 4.21: erstes Labormuster mit AT90S8535, LCD 1x16.....	56
Abbildung 4.22: zweites Labormuster mit AT90S8535, LCD 2x16.....	56
Abbildung 4.23: Labormuster (Lochrasterplatine).....	57
Abbildung 4.24: Labormuster (Platinen-Rückseite, Sensoren).....	58
Abbildung 4.25: Die fertig bestückten Platinen.....	60
Abbildung 4.26: Gehäuseeinbau.....	61
Abbildung 4.27: Ausgabe des Distanzmessmoduls auf dem Terminal, Start... 62	
Abbildung 4.28: Ausgabe des Distanzmessmoduls im Debug-Modus.....	63
Abbildung 4.29: Ablaufdiagramm der Hauptprogrammschleife.....	64
Abbildung 4.30: Programmablauf, parallele Prozesse.....	65
Abbildung 4.31: Ablauf Ultraschall-Messung.....	66
Abbildung 4.32: Lineare Interpolation (Infrarot-Sensor).....	68
Abbildung 4.33: Polynom-Regression, Polynom und Messwerte.....	69
Abbildung 4.34: Aufnahme der Linearisierungstabellen, Draufsicht.....	77
Abbildung 4.35: Infrarot-Werte, 0°.....	77
Abbildung 4.36: Ultraschall-Werte, 0°.....	77
Abbildung 4.37: Infrarot-Werte, 5°.....	78
Abbildung 4.38: Ultraschall-Werte, 5°.....	78
Abbildung 4.39: Infrarot-Werte, 10°.....	78
Abbildung 4.40: Ultraschall-Werte, 10°.....	78
Abbildung 4.41: Infrarot-Werte, 20°.....	78
Abbildung 4.42: Ultraschall-Werte, 20°.....	78
Abbildung 4.43: Infrarot-Werte, 30°.....	79
Abbildung 4.44: Ultraschall-Werte, 30°.....	79
Abbildung 4.45: RCX-Sensor-Wert in Abhängigkeit von der Entfernung...80	
Abbildung 4.46: Messaufbau 'Seitliche Verschiebung'.....	81
Abbildung 4.47: Objekt in 10cm Entfernung, seitlich verschoben.....	81
Abbildung 4.48: Objekt in 10cm Entfernung, seitlich verschoben.....	82
Abbildung 4.49: LEGO-Roboter, ausgerüstet mit Distanzmessmodul.....	83
Abbildung 4.50: Ermittlung der mittleren Stromaufnahme.....	84
Abbildung 6.1: Schaltplan 'Distanzmessmodul'.....	92
Abbildung 7.1: Layout Oberseite (Top).....	93

Abbildung 7.2: Layout Unterseite (Bottom).....	94
Abbildung 7.3: Bestückungsplan Oberseite (Top).....	95
Abbildung 7.4: Bestückungsplan Unterseite (Bottom).....	96

Literaturverzeichnis

Stone: *The Robots Are Coming.* online. - URL http://www.msnbc.com/modules/newsweek/talk/032103_stone.htm - Zugriffsdatum: 21.05.2003

Husqvarna: *Introducing the (silent) robotic lawnmower.* online. - URL http://masseynews.massey.ac.nz/2002/news_release/15_08_02.html - Zugriffsdatum: 31.05.2003

Arkin: Ronald C. Arkin: *Behaviour Based Robotics*, 1998 - ISBN 0262011654

Singh, West: *Cyclone: A Laser Scanner For Mobile Robot Navigation.* online. - URL http://www.ri.cmu.edu/pub_files/pub3/singh_sanjiv_1991_2/singh_sanjiv_1991_2.pdf - Zugriffsdatum: 31.05.2003

Robotstore1: *IRPD Ver2.1 Infrared Proximity Detector.* online. - URL http://www.robotstore.com/download/3-573_IRPD_specs.pdf - Zugriffsdatum: 31.05.2003

SharpIR: *Distance Measuring Sensors.* online. - URL http://www.sharpsma.com/sma/Products/Productframe/opto.htm?main=http://www.sharpsma.com/sma/products/opto/laser_diode.htm - Zugriffsdatum: 29.06.2003

Robotstore2: *Ultrasonic Owl Scanner - Sonar Sensor Kit.* online. - URL <http://www.robotstore.com/catalog/display.asp?pid=217> - Zugriffsdatum: 31.05.2003

SRF08: *SRF08 Ultra sonic range finder - a little History.* online. - URL <http://www.robot-electronics.co.uk/htm/srf08history.shtml> - Zugriffsdatum: 31.05.2003

Sick: *PLS Proximity Laser Scanner - Installation and Operation Manual.* online. - URL [http://www.sickoptic.com/Publish/docroot/Manual\(s\)/PLS%20Operating%20Manual.pdf](http://www.sickoptic.com/Publish/docroot/Manual(s)/PLS%20Operating%20Manual.pdf) - Zugriffsdatum: 22.06.2003

KMZ51: *Philips KMZ51 Magnetic field sensor datasheet.* online. - URL http://www-us.semiconductors.philips.com/acrobat/datasheets/KMZ51_3.pdf - Zugriffsdatum: 31.05.2003

GPS: *GPS System Provider - Laipac Technology Inc.* online. - URL <http://www.laipac.com> - Zugriffsdatum: 31.05.2003

Radar: *Was ist eigentlich Radar? - Das herkömmliche Radar.* online. - URL http://www.nv.et-inf.uni-siegen.de/pb2/school/page_1.htm - Zugriffsdatum: 31.05.2003

KMY24: *Dopplermodule KMY24: Bewegungsmelder erkennt Richtung.* online. - URL <http://www.produktinfo.conrad.com/daten->

blaetter/175000-199999/182613-da-01-de-kmy24.pdf -
Zugriffsdatum: 31.05.2003

Physik: Jung, Walter: *Das Abitur-Wissen PHYSIK*, 1983 - ISBN 3-596-24542-7

Schallgeschwindigkeit: *Die Schallgeschwindigkeit, die Temperatur.* online. - URL <http://www.sengpielaudio.co.uk/DieSchallgeschwindigkeitLuftdruck> - Zugriffsdatum: 13.08.2003

Brehey: *The Sharp GP2D02 IR Distance Measuring Sensor.* online. - URL <http://www.wirz.com/info/gp2d02/> - Zugriffsdatum: 01.06.2003

Microchip: *Homepage des Hersteller Microchip.* online. - URL <http://www.microchip.com> - Zugriffsdatum: 13.06.2003

ATMEL: *Homepage des Herstellers Atmel.* online. - URL <http://www.atmel.com> - Zugriffsdatum: 29.06.2003

PIC: *Datenblatt PIC16F870.* online. - URL <http://www.microchip.com/download/lit/pline/picmicro/families/16f87x/30569b.pdf> - Zugriffsdatum: 11.06.2003

Acroname: *Polaroid 6500 Ranging Module.* online. - URL <http://www.acroname.com/robotics/parts/R11-6500.html> - Zugriffsdatum: 08.06.2003

MAX5541: *Datenblatt MAX5541.* online. - URL <http://pdfserv.maxim-ic.com/arpdf/MAX5541.pdf> - Zugriffsdatum: 11.06.2003

MAX8881: *Datenblatt MAX8881.* online. - URL <http://pdfserv.maxim-ic.com/arpdf/MAX8880-MAX8881.pdf> - Zugriffsdatum: 11.06.2003

EAGLE: *CadSoft Online.* online. - URL <http://www.cadsoft.de> - Zugriffsdatum: 11.06.2003

kernel: *Introduction to the legOS kernel.* online. - URL <http://legos.sourceforge.net/docs/kerneldoc.pdf> - Zugriffsdatum: 11.08.2003

sys/irq.h: *brickOS - include/Inp/sys/irq.h File Reference.* online. - URL http://brickos.sourceforge.net/docs/APIs/html-kern/irq_8h.html - Zugriffsdatum: 10.08.2003

kernel/system.c: .online. - URL http://brickos.sourceforge.net/docs/APIs/html-kern/systime_8c-source.html#l00270 - Zugriffsdatum: 10.08.2003

Hitachi H8: *Hitachi Single-Chip Microcomputer H8... Hardware Manual.* online. - URL <http://legolab.daimi.au.dk/DigitalControl.dir/RCX/Manual.dir/H8Hardware.pdf> - Zugriffsdatum: 08.06.2003

A.Schaltplan

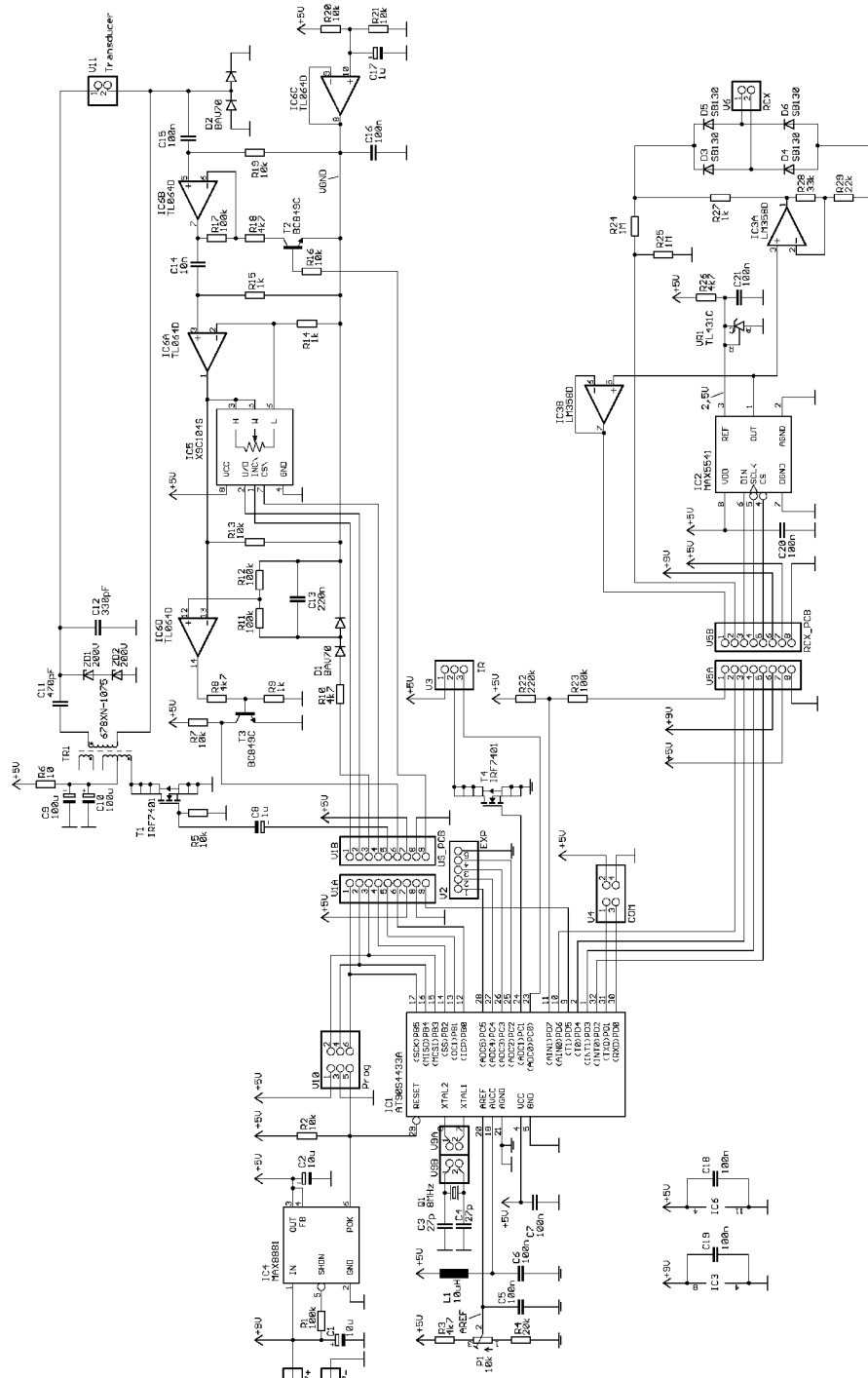


Abbildung 6.1: Schaltplan 'Distanzmessmodul'

B. Platinenlayout und Bestückungsplan

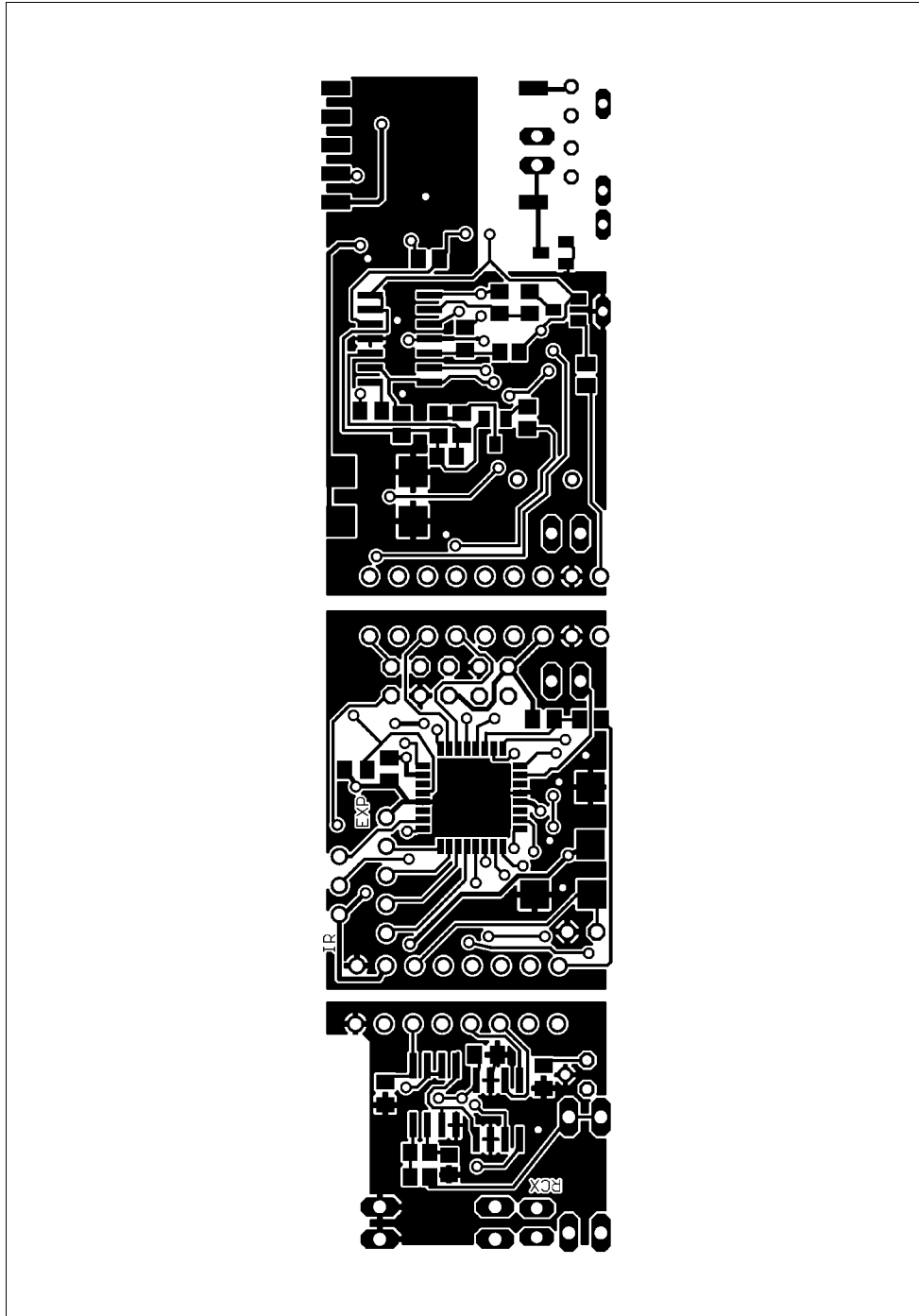


Abbildung 7.1: Layout Oberseite (Top)

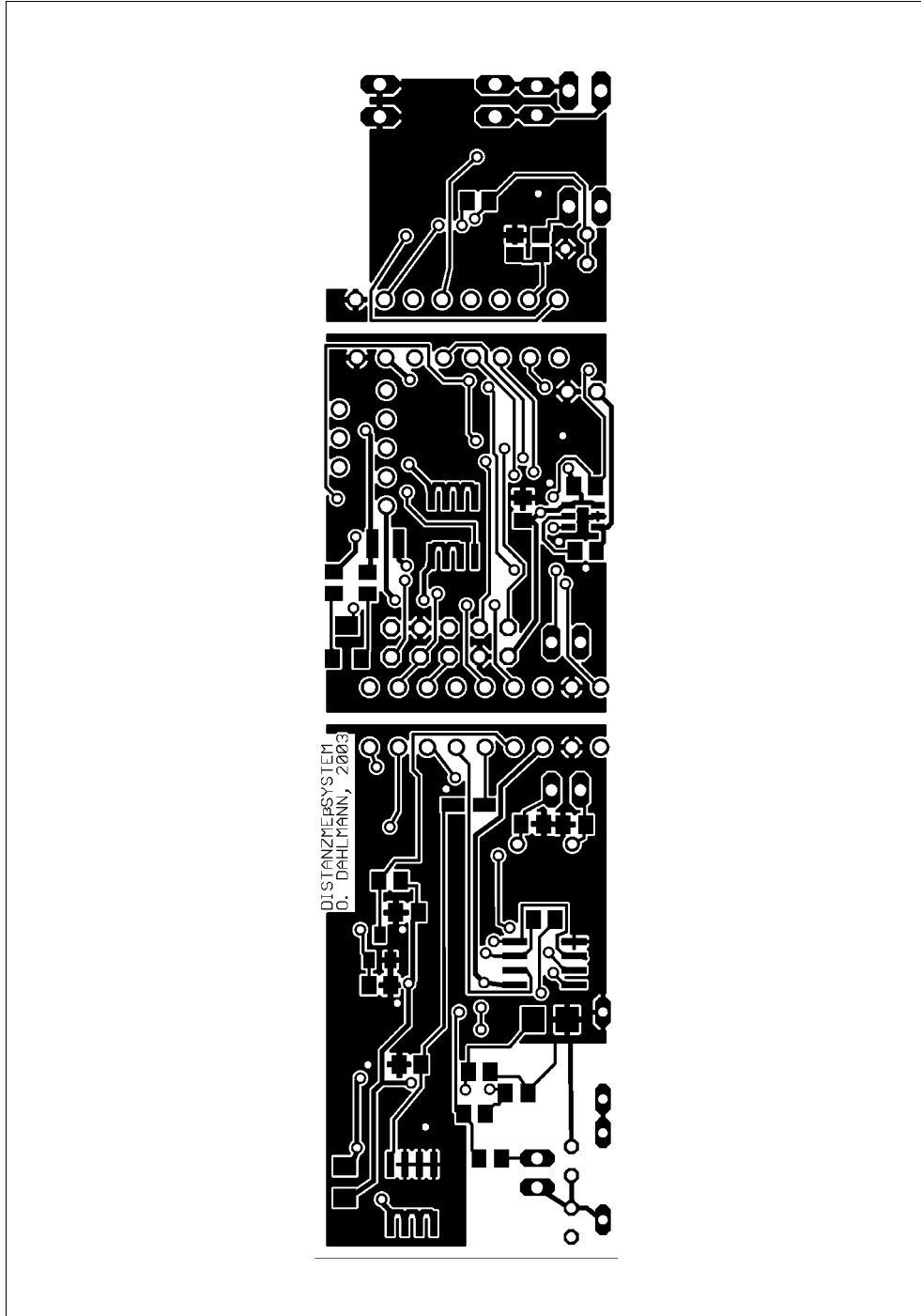


Abbildung 7.2: Layout Unterseite (Bottom)

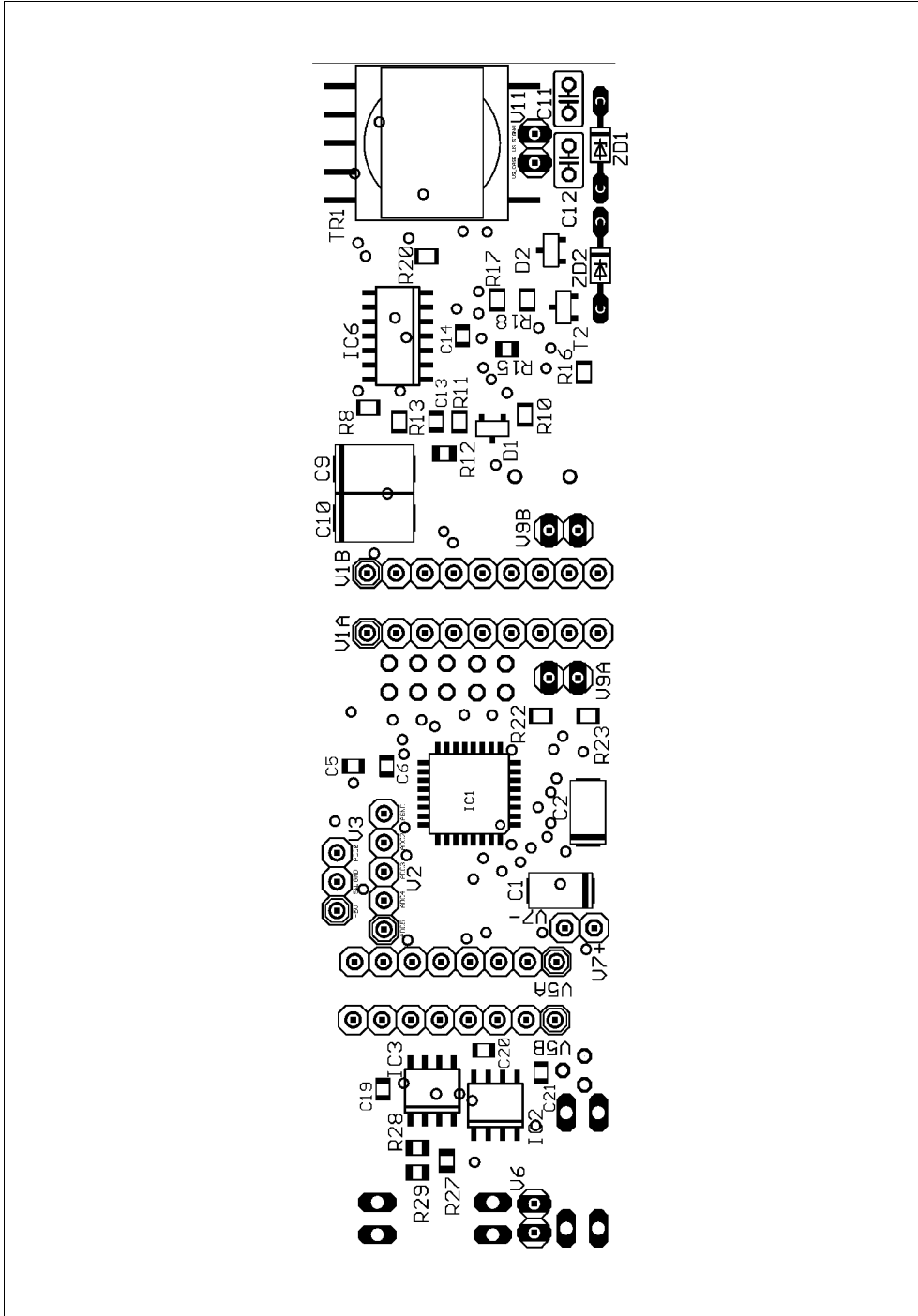


Abbildung 7.3: Bestückungsplan Oberseite (Top)

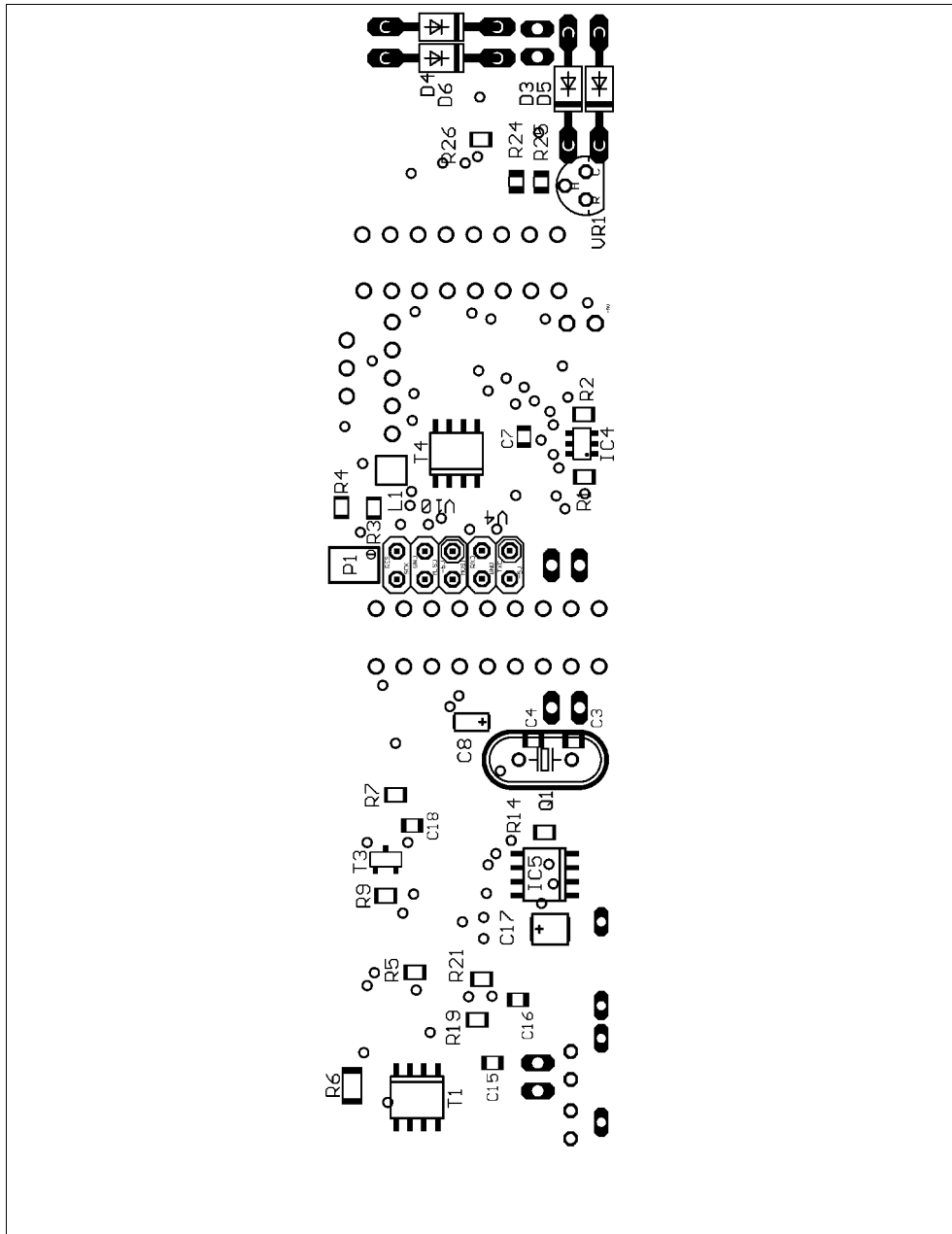


Abbildung 7.4: Bestückungsplan Unterseite (Bottom)

C. Inbetriebnahme

Der Mikrocontroller wird, nachdem das Modul fertig aufgebaut wurde, mit einem handelsüblichen ISP-Adapter programmiert. Im konkreten Fall wurde ein AVR-ISP-Adapter für den Anschluss an den Parallelport des PC's mit der frei im Internet erhältlichen Software PonyProg verwendet.

Der Infrarot-Sensor sei so am Roboter montiert, das ein direkt vor dem Roboter befindliches Hindernis (dies sei Entfernung $d=0$), das weiter entfernt wird, ein monoton fallendes Signal am analogen Sensor-Ausgang zur Folge hat (siehe Beschreibung des Sensors). Auf diese Weise ist ein Messwert eindeutig einer bestimmten Entfernung zuordbar.

Ein Terminalprogramm dient zur Anzeige der Messwerte, es werden Rohdaten angezeigt (Taste 'r' am Terminal drücken). Ein gut reflektierendes Objekt wird im rechten Winkel bei $d=0$ positioniert. Nun die Referenzspannung des A/D-Wandlers mittels des Potentiometers P1 so einstellen, das etwa 900 als Messwert angezeigt wird. Auf diese Weise bleiben etwa 10% des Wertebereichs des A/D-Wandlers (10Bit, 0..1023) als 'Headroom' übrig.

Als nächstes wird die Funktion „Linearisierung“ aufgerufen (Taste 'l' drücken). Auf dem Bildschirm des Terminals werden jetzt Entfernungen (in mm) ausgegeben.

Nun ein Hindernis im rechten Winkel in der angegebenen Entfernung positionieren und eine Taste am Terminal drücken. Es werden nun 5 Ultraschall- und 32 Infrarot-Messungen vorgenommen und auf dem Terminal-Bildschirm ausgegeben. Diese Ausgabe in eine ASCII-Datei umlenken (Hyperterminal -> Capture). Aus den Mittelwerten dieser Messreihen wird eine Linearisierungstabelle gebildet, die im Flash-Speicher des Atmel-Controllers, zusammen mit der Firmware, abgelegt wird.

Wie in Kapitel 4.7.2 beschrieben ist eine Annäherung der Messwerte durch ein Polynom den tatsächlichen Messwerten zum Aufbau der Linearisierungstabelle vorzuziehen.

Zur Ermittlung der geometrischen Mittelwerte der Messreihen bietet sich z.B. 'OpenOffice Calc' an, das Regressionspolynom kann mit der Freeware 'Matheass' erstellt werden.

Für eine korrekte Funktion des Ultraschallsensors ist die Anpassung der im Quelltext änderbaren Konstanten nötig: Anzugeben sind:

- US_Offset [mm], der Abstand des Sensors von der Nulllinie $d=0$,
- US_Totbereich [mm], die Entfernung von $d=0$ bis zu der Position, an der der Ultraschall-Sensor beginnt, sinnvolle Werte zu liefern
- in Sonderfällen US_Faktor [m/s], die halbe Schallgeschwindigkeit (änderbar, da temperaturabhängig)

D.Sourcecode (RCX)

Auf den folgenden Seiten folgt die Software für den RCX, die es ermöglicht, Kommandos über die Sensor-Schnittstelle an einen angeschlossenen Sensor zu senden.

Library 'distanz.h', Kommunikationsroutinen für den RCX

```

/*! \file   include/distanz.h
    \brief  Interface: Kommunikationsroutinen für das Distanzmessmodul
    \author Oliver Dahlmann <ollinux@gmx.net>
 */

#ifndef __distanz_h__
#define __distanz_h__

#ifdef __cplusplus
extern "C" {
#endif

#include <config.h>
#include <sys/h8.h>
#include <sys/bitops.h>

////////////////////////////////////////////////////////////////
//
// Functions
//
////////////////////////////////////////////////////////////////

extern inline void WatchDog_Sperren()
{
    __asm__ __volatile__ ("\tpush r0\n":::"cc");
    __asm__ __volatile__ ("\tmov.b #0xA5,r0h\n":::"cc");
    __asm__ __volatile__ ("\tmov.b @0xFFA8,r0l\n":::"cc");
    __asm__ __volatile__ ("\tand.b #0b10111111,r0l\n":::"cc");
    __asm__ __volatile__ ("\tmov.w r0,@0xFFA8\n":::"cc");
    __asm__ __volatile__ ("\tpop r0\n":::"cc");
}

extern inline void WatchDog_Aktivieren()
{
    __asm__ __volatile__ ("\tpush r0\n":::"cc");
    __asm__ __volatile__ ("\tmov.b #0xA5,r0h\n":::"cc");
    __asm__ __volatile__ ("\tmov.b @0xFFA8,r0l\n":::"cc");
    __asm__ __volatile__ ("\tor.b #0b01000000,r0l\n":::"cc");
    __asm__ __volatile__ ("\tmov.w r0,@0xFFA8\n":::"cc");
    __asm__ __volatile__ ("\tpop r0\n":::"cc");
}

extern inline void SendCommand(int command, volatile unsigned *sensor)
{
    int verz;

    disable_irqs();

    WatchDog_Sperren(); //Watchdog wird auf Intervall-Timer
    umgeschaltet, somit keine NMI's mehr...

    //übermittelten Sensor-Eingang auf aktiv schalten
    if (sensor == &SENSOR_3)
        bit_set(&PORT6, 0);
    else if (sensor == &SENSOR_2)

```

```
    bit_set(&PORT6, 1);
else if (sensor == &SENSOR_1)
    bit_set(&PORT6, 2);

// command == 1 -> 24ms HIGH
// command == 2 -> 40ms HIGH
// command == 3 -> 56ms HIGH
// command == 4 -> 72ms HIGH

//Verzögerungsschleife mit NOP's
for (verz=0;verz<(1970+1310*(command-1));verz++)
    __asm__ __volatile__("\tnop\n":::"cc");

//übermittelten Sensor-Eingang wieder auf passiv schalten
if (sensor == &SENSOR_3)
    bit_clear(&PORT6, 0);
else if (sensor == &SENSOR_2)
    bit_clear(&PORT6, 1);
else if (sensor == &SENSOR_1)
    bit_clear(&PORT6, 2);

WatchDog_Aktivieren();           //Watchdog wieder auf NMI umstellen
enable_irqs();
}
```

E.Sourcecode (Atmel AT90S4433)

Auf den folgenden Seiten folgt der Sourcecode des Atmel-AT90S4433-Mikrocontrollers.

Distanz_Main.asm

```
; *****  
,  
; Projektname:      Distanz.aps  
; Diese Datei:     Distanz_Main.asm  
; Beschreibung:    Distanzmesssystem für mobile Roboter  
; Autor:          Oliver Dahlmann  
; Version:        1.0  
; *****  
,  
  
.NOLIST  
.INCLUDE "4433def.inc"  
.LIST  
  
; I/O Port D  
; ** verwendete Bits  
.EQU  MAX_CS      =      2      ; OUT Pin4 MAX554x /CS (Chip Select, active low)  
.EQU  MAX_SCLK    =      3      ; OUT Pin5 MAX554x /SCLK (Serial Clock, steigende Flanke übernimmt Daten-Bit)  
.EQU  MAX_DIN     =      4      ; OUT Pin6 MAX554x DIN (Data In)  
.EQU  GAIN_20     =      5      ; Der Transistor T2 kann die Eingangsverstärkung des Ultraschallempfängers von 1x auf 20x umschalten  
; ** ... an Port  
.EQU  MAX_PORT    =      PORTD  
.EQU  GAIN_PORT   =      PORTD  
  
; I/O Port B  
; ** verwendete Bits ...  
.EQU  USN_REC     =      0      ; IN Komparator mit Empfangssignal  
.EQU  USN_XMIT    =      1      ; OUT Puls-Erzeugung (MOSFET)  
.EQU  POT_CS0     =      2      ; _CS-Signal für Digital-Poti 0  
.EQU  USN_TRESHOLD =      3      ; OUT Trigger für Kondensator-Entladekurve für zeitabhängigen Treshold des US Komparators  
.EQU  POT_UD      =      4      ; U/_D-Signal für Digital-Poti(s)  
.EQU  POT_INC     =      5      ; _INC-Signal für Digital-Poti(s)  
; ** ... an Port  
.EQU  USN_PORT    =      PORTB   ; mit diesem Port ist der Polaroid-Sensor verbunden (Ausgang)  
.EQU  USN_PIN     =      PINB    ; mit diesem Port ist der Polaroid-Sensor verbunden (Eingang)  
.EQU  POT_PORT    =      PORTB   ; mit diesem Port ist das Digital-Poti verbunden  
  
; I/O Port C  
; ** verwendete Bits ...  
.EQU  PWR_IRSENSOR =      1      ; OUT MOSFET, wenn 1 dann Infrarot-Sensor an  
.EQU  BUMPER_LEFT  =      4  
.EQU  BUMPER_RIGHT =      5  
; ** ... an Port  
.EQU  PWR_PORT     =      PORTC   ; mit diesem Port sind die MOSFET-Treiber für die Spannungsversorgung IR/US verbunden  
.EQU  BUMPER_PORT  =      PORTC  
  
; ** Korrektur-Offset/Quotient für Ultraschall-Umrechnung  
.EQU  US_Faktor    =      174     ; ergibt sich aus Schallgeschwindigkeit ([mm/ms] / 2)  
.EQU  US_Offset    =      80      ; abhängig von Sensorposition (Entfernung von d=0 in mm)  
.EQU  US_Totbereich =      210    ; auch abhängig von Sensorposition, Mindest-Entfernung von d=0, die gerade gemessen werden kann
```

```

; ** Linearisierungstabelle erzeugen
.EQU Lin_Schrittweite = 10 ; 10mm Schrittweite
.EQU Lin_MaxEntfernung = 800 ; 80cm Maximal-Entfernung

; ** Die Bits der Speicherzelle 'ModusFlags'
.EQU MOD_Bereich = 0 ; Bit0, 0=5m, 1=1m
.EQU MOD_Frequenz = 1 ; Bit1, 0=8/s, 1=2/s
.EQU MOD_Ultraschall = 2 ; Bit2, 0=Ultraschall aus, 1=Ultraschall an
.EQU MOD_WerteSeriell = 3 ; Bit3, 0=keine serielle Ausgabe, 1=serielle Ausgabe
.EQU MOD_DebugInfo = 4 ; Bit4, 0=wenig Informationen, 1=viele Informationen (verbose)
.EQU MOD_Rohdaten = 5 ; Bit5, 0=mm, 1=Rohdaten
.EQU MOD_USFilter = 6 ; Bit6, wenn gesetzt, wird der Ultraschall-Messwert gefiltert
.EQU MOD_IRFilter = 7 ; Bit7, wenn gesetzt, wird der Infrarot-Messwert gefiltert

.ORG 0000
; ** Tabelle mit Sprunganweisungen auf die Interrupt-Handler
rjmp RESET ; Reset Handler
reti ; IRQ0 Handler
reti ; IRQ1 Handler
rjmp USN_PacketRecvd ; Timer1 Capture Handler, Laufzeit Ultraschall auswerten
reti ; Timer1 Compare Match Handler
rjmp USN_NoPacketRecvd ; Timer1 Overflow Handler, kein Echo empfangen
rjmp Sysclk ; Timer0 Overflow Handler
reti ; SPI Transfer Complete Handler
rjmp UART8_RXC_Handler ; UART RX Complete Handler
reti ; UART Empty Handler
rjmp UART8_TXC_Handler ; UART TX Complete Handler
rjmp ADCC ; AD Conversion Complete Handler
reti ; EEPROM Ready Handler
reti ; Analog Comparator Handler

RESET:
; ** Stackpointer-Initialisierung
ldi r16,LOW(RAMEND)
out SP,r16 ; Stackpointer initialisieren

; ** Datenrichtungsregister Initialisierung
ldi r16,0b00111110
out DDRB,r16 ; PortB: PB0 ist Eingang (ECHO)
rcall USN_Init ; Jetzt die Ultraschall-Elektronik initialisieren

; ** Serieller Port (UART) Initialisierung
ldi r16,12 ; Baudrate auf 38.400 Baud (@8MHz)
rcall UART8_Init

; ** Datenrichtungsregister Initialisierung
ldi r16,0b00001110 ; PortC: PC0 ist Analog-In, PC4,5 Bumper Left, Right
out DDRC,r16

ldi r16,0b00111100 ; PD7+PD6 Analog-Komparator, PD2..PD4 DAC, PD0+PD1 UART
out DDRD,r16

```



```

ldi    r16,(1<<CS00)+(1<<CS01)
out    TCCR0,r16          ; Timer0 CLK/64, Interrupt für DAC Ausgabe
ldi    r16,0              ; Timer0 bei $00 starten
out    TCNT0,r16

ldi    r16,0
out    TCCR1A,r16         ; Timer1 Output_Compare aus, PWM aus

ldi    r16,(1<<CS11)+(1<<ICES1) ; steigende Flanke triggert Timer1, CLK/8
out    TCCR1B,r16         ; Timer1 Vorteiler auf CK/8

ldi    r16,(1<<TOIE0)      ; Timer0 Overflow (DAC) aktivieren
out    TIMSK,r16

ldi    r16,(1<<ADEN)+(1<<ADPS2)+(1<<ADPS1)+(1<<ADIE)
out    ADCSR,r16          ; AD-Clock = CLK/64 = 125kHz -> tconv = 112usec (14cycles), IRQ an

ldi    r16,0              ; Eingang PA0 wählen
out    ADMUX,r16

ldi    r16,(1<<SE)         ; SM = 0 -> IdleMode @Sleep Instruction, SE=1 -> Sleep Instruction enabled
out    MCUCR,r16

ldi    r16,0              ; Timer1 bei $0000 starten
out    TCNT1H,r16
out    TCNT1L,r16

ldi    r16,(1<<MOD_Ultraschall)
sts    Modusflags,r16

rcall  MAX554x_Init        ; DAC initialisieren
rcall  RCX_Init            ; Variablen für RCX-Empfang initialisieren
sei    ; Bit7 SREG setzen -> Interrupts erlauben

; ***** MAIN *****
MAIN:
rcall  RCX_Befehl_ausfuehren ; wenn ein RCX-Befehl empfangen wurde, diesen ausführen
rcall  SerialRXD            ; Wurde vom Terminal ein Befehl empfangen (RS-232)?

rcall  Messfrequenz        ; abhängig von gewünschter Messfrequenz verzögern

rcall  Ultraschall          ; Ultraschall-Messung abhängig vom Modus, Wert filtern
rcall  Infrarot             ; Infrarot-Messung, Wert filtern

rcall  Ausgabe_US_Seriell   ; abhängig von MOD_WerteSeriell Ultraschall-Messwert ausgeben
rcall  Ausgabe_IR_Seriell   ; abhängig von MOD_WerteSeriell Infrarot-Messwert ausgeben

rcall  MesswertVerarbeitung ; Errechnung eines Entfernungswertes aus den gemessenen Werten
; Ergebnis auf DAC ausgeben, erweiterte Informationen seriell ausgeben

rjmp  MAIN
; *****

```

```

Ultraschall:
    lds    r16,Modusflags
    sbrs  r16,MOD_Ultraschall
    rjmp  KeineUltraschallMessung
    rcall USN_SendPacket      ; Starte Ultraschall-Messung, Rückgabe des Entfernungs-Wertes in mm
    rcall USN_WaitMeasure     ; Warte auf Beendigung der Messung
Ultraschall_Filtern:
    rcall USN_Filter          ; abhängig von MOD_USFilter wird der Timerwert gefiltert
    ret
KeineUltraschallMessung:
; ** Da keine Messung durchgeführt werden soll, maximale Entfernung als Ultraschallwert zurückgeben
    ser   r16
    sts  USN_RawLo,r16
    sts  USN_RawHi,r16
    rjmp Ultraschall_Filtern

Infrarot:
    sbi   PWR_PORT,PWR_IRSENSOR ; Infrarot-Sensor einschalten
    rcall Delay25ms
    rcall Delay25ms              ; warte bis SHARP-IR-Sensor stabil
    rcall Delay25ms              ; (min. 42ms bis zur Ausgabe eines analogen Wertes)
    rcall SIR_Messung8           ; 8 Wandlungen durchführen und Mittelwert bilden
    rcall SIR_Filter             ; gewichteter Mittelwert abhängig von Wahrscheinlichkeit
    cbi   PWR_PORT,PWR_IRSENSOR ; Infrarot-Sensor ausschalten
    ret

Messfrequenz:
    lds    r16,Modusflags
    sbrs  r16,MOD_Frequenz
    rjmp  Messfrequenz8
Messfrequenz2:
    rcall Delay100ms
    rcall Delay100ms
    rcall Delay100ms
    rcall Delay100ms
Messfrequenz8:
    rcall Delay25ms              ; etwa 10 Messwerte pro Sekunde
    ret

Ausgabe_US_Seriell:
    lds    r16,Modusflags
    sbrs  r16,MOD_Rohdaten
    rcall USN_mm                  ; Den Timer-Wert in mm umrechnen, wenn nicht Rohdaten gefordert
; ** und hier wird der US-Wert seriell ausgegeben, wenn MOD_WerteSeriell=1
    lds    r16,Modusflags
    sbrs  r16,MOD_WerteSeriell    ; sollen der US- und der IR-Wert seriell ausgegeben werden?
    rjmp  US_WertAusgegeben

    ldi   zl,LOW(NewLine_String<<<1)
    ldi   zh,HIGH(NewLine_String<<<1)
    rcall UART8_SendPGMString     ; 'Neue Zeile' senden (CR+LF)

```

```

ldi    zl,LOW(UltraschallString<<1)
ldi    zh,HIGH(UltraschallString<<1)
rcall  UART8_SendPGMString    ; "Ultra:" senden

ldi    zl,LOW(SerString)
ldi    zh,HIGH(SerString)
push   zl
push   zh
lds    r18,USN_ValLo
lds    r19,USN_ValHi
rcall  uWordToDecNull        ; in String umwandeln (Dezimal, 5 stellig, null-terminiert)
pop    zh
pop    zl
rcall  UART8_SendRAMString    ; Ultraschall-Wert (Dezimal, 5stellig) senden

ldi    zl,LOW(Divider_String<<1)
ldi    zh,HIGH(Divider_String<<1)
rcall  UART8_SendPGMString    ; Trennzeichen senden
US_WertAusgegeben:
ret

Ausgabe_IR_Seriell:
lds    r16,Modusflags
sbrs   r16,MOD_Rohdaten
rcall  SIR_mm                ; Den Infrarot-AD-Wert in mm umrechnen
; ** und hier wird der IR-Wert seriell ausgegeben
lds    r16,Modusflags
sbrs   r16,MOD_WerteSeriell
rjmp   IR_WertAusgegeben
ldi    zl,LOW(InfrarotString<<1)
ldi    zh,HIGH(InfrarotString<<1)
rcall  UART8_SendPGMString    ; "Infra:" senden
ldi    zl,LOW(SerString)
ldi    zh,HIGH(SerString)
push   zl
push   zh

lds    r19,SIR_RawHi
lds    r18,SIR_RawLo        ; hierin steht der Wert in mm (in SIR_ValHi,Lo steht der nicht linearisierte Wert)
rcall  uWordToDecNull

pop    zh
pop    zl
rcall  UART8_SendRAMString    ; Infrarot-Wert (Dezimal, 5stellig) senden
IR_WertAusgegeben:
ret

MesswertVerarbeitung:
; ** Die in mm umgerechneten US- und IR-Messwerte auf Konsistenz prüfen und Entfernungswert ermitteln
lds    r19,SIR_RawHi
lds    r18,SIR_RawLo        ; hierin steht der Wert in mm (in SIR_ValHi,Lo steht der nicht linearisierte Wert)

```

```

lds    r21,USN_ValHi
lds    r20,USN_ValLo

rcall  SensorVerarbeitung      ; danach Rückgabewert in mm in r23:r22, Differenz in r17:r16, Status in r24

push   r17
push   r16                    ; Differenz auf Stack sichern, wird von DebugInfo ausgegeben

mov    r17,r23
mov    r16,r22

lds    r18,Modusflags
sbrs  r18,MOD_Bereich
rjmp  MV_Bereich_5m
; ** Bereich 1m
ldi   r19,HIGH(1000)
ldi   r18,LOW(1000)          ; Skalierung des DAC-Wertebereichs auf 1m
rjmp  MV_Bereich_5m:
MV_Bereich_5m:
ldi   r19,HIGH(5000)
ldi   r18,LOW(5000)         ; Skalierung des DAC-Wertebereichs auf 5m
MV_RCX:
rcall  RCX_Output           ; skalieren und verschieben des mm-Wertes für den D/A-Wandler
rcall  MAX554x_Set_RAM     ; schreibe die Werte ins RAM, den Rest erledigt der Timer0 Interrupt

; ** Und hier wird das Ergebnis der Filterung mit Status-Informationen ausgegeben
lds    r16,Modusflags
sbrs  r16,MOD_DebugInfo
rjmp  DebugInfo_KeineAusgabe
sbrs  r16,MOD_WerteSeriell
rjmp  DebugInfo_Ausgabe
DebugInfo_KeineAusgabe:
pop    r16
pop    r16                    ; Die Differenz vom Stack entfernen
ret
DebugInfo_Ausgabe:
cpi   r24,VVA_STATUS_IR
breq  DebugInfo_Ausgabe_Infrarot
cpi   r24,VVA_STATUS_US
breq  DebugInfo_Ausgabe_Ultraschall
cpi   r24,VVA_STATUS_BUMPER
breq  DebugInfo_Ausgabe_Bumper
DebugInfo_Ausgabe_Fehler:
; ** Als Status kam keine der drei erlaubten Meldungen zurück, daher Fehler ausgeben, resetten
ldi   zl,LOW(InfoStringFehler<<1)
ldi   zh,HIGH(InfoStringFehler<<1)
rcall  UART8_SendPGMString   ; "Fehler" senden
rcall  Delay100ms
rjmp  RESET
DebugInfo_Ausgabe_Ultraschall:
ldi   zl,LOW(InfoStringUS<<1)
ldi   zh,HIGH(InfoStringUS<<1)

```

```

    rjmp    DebugInfo_Ausgabe_Wert
DebugInfo_Ausgabe_Bumper:
    ldi     zl,LOW(InfoStringBumper<<1)
    ldi     zh,HIGH(InfoStringBumper<<1)
    rjmp    DebugInfo_Ausgabe_Wert
DebugInfo_Ausgabe_Infrarot:
    ldi     zl,LOW(InfoStringIR<<1)
    ldi     zh,HIGH(InfoStringIR<<1)
DebugInfo_Ausgabe_Wert:
    rcall   UART8_SendPGMString    ; "IR" senden
    ldi     zl,LOW(SerString)
    ldi     zh,HIGH(SerString)
    mov     r18,r22
    mov     r19,r23                ; Wert in mm
    rcall   uWordToDecNull         ; in String umwandeln (Dezimal, 5 stellig, null-terminiert)

    ldi     zl,LOW(SerString)
    ldi     zh,HIGH(SerString)
    rcall   UART8_SendRAMString    ; Wert seriell senden
    ldi     zl,LOW(Divider_String<<1)
    ldi     zh,HIGH(Divider_String<<1)
    rcall   UART8_SendPGMString    ; Trennzeichen senden
    ldi     zl,LOW(InfoStringDiff<<1)
    ldi     zh,HIGH(InfoStringDiff<<1)
    rcall   UART8_SendPGMString    ; "Diff" senden

    ldi     zl,LOW(SerString)
    ldi     zh,HIGH(SerString)
    pop     r18
    pop     r19                    ; auf dem Stack steht die Differenz der beiden Messwerte
    rcall   uWordToDecNull         ; in String umwandeln (Dezimal, 5 stellig, null-terminiert)

    ldi     zl,LOW(SerString)
    ldi     zh,HIGH(SerString)
    rcall   UART8_SendRAMString    ; Wert seriell senden
    ldi     zl,LOW(Divider_String<<1)
    ldi     zh,HIGH(Divider_String<<1)
    rcall   UART8_SendPGMString    ; Trennzeichen senden
    rjmp    DebugInfo_Ausgabe_End
DebugInfo_Ausgabe_End:
    ret

SerialRXD:
; ** Wurde was auf dem seriellen Port empfangen?
    ldi     zl,LOW(RS232)          ; die Adresse der Funktion, die das empfangene Zeichen
    ldi     zh,HIGH(RS232)        ; verarbeitet
    rcall   UART8_GetByte
    ret

Menue_UltraFilter:
    ldi     zl,LOW(UltraFilterString <<1)
    ldi     zh,HIGH(UltraFilterString <<1)

```

```

    rcall    Menue_Ausgabe
    lds      r16,ModusFlags
    sbrs    r16,MOD_USFilter
    rjmp     Menue_FlagAus
Menue_FlagAn:
    ldi     zl,LOW(AnString<<1)
    ldi     zh,HIGH(AnString<<1)
    rjmp     Menue_FlagAusgabe
Menue_FlagAus:
    ldi     zl,LOW(AusString<<1)
    ldi     zh,HIGH(AusString<<1)
    rjmp     Menue_FlagAusgabe

Menue_Ausgabe:
    ldi     r17,13
    rcall   UART8_SendByte
    ldi     r17,10
    rcall   UART8_SendByte
    rcall   UART8_SendPGMString
    ret

Menue_InfraFilter:
    ldi     zl,LOW(InfraFilterString <<1)
    ldi     zh,HIGH(InfraFilterString <<1)
    rcall   Menue_Ausgabe
    lds     r16,ModusFlags
    sbrs    r16,MOD_IRFilter
    rjmp     Menue_FlagAus
    rjmp     Menue_FlagAn

Menue_Debug:
    ldi     zl,LOW(DebugString <<1)
    ldi     zh,HIGH(DebugString <<1)
    rcall   Menue_Ausgabe
    lds     r16,ModusFlags
    sbrs    r16,MOD_DebugInfo
    rjmp     Menue_FlagAus
    rjmp     Menue_FlagAn

Menue_Value:
    ldi     zl,LOW(ValueString <<1)
    ldi     zh,HIGH(ValueString <<1)
    rcall   Menue_Ausgabe
    lds     r16,ModusFlags
    sbrs    r16,MOD_Rohdaten
    rjmp     Menue_ValueMm

Menue_ValueRaw:
    ldi     zl,LOW(ValueRawString<<1)
    ldi     zh,HIGH(ValueRawString<<1)
    rjmp     Menue_FlagAusgabe
Menue_ValueMm:
    ldi     zl,LOW(ValueMmString<<1)

```

```
ldi    zh,HIGH(ValueMmString<<1)
rjmp   Menue_FlagAusgabe
```

Menue_SerielleAusgabe:

```
ldi    zl,LOW(SeriellString <<1)
ldi    zh,HIGH(SeriellString <<1)
rcall  Menue_Ausgabe
lds    r16,ModusFlags
sbrs  r16,MOD_WerteSeriell
rjmp   Menue_FlagAus
rjmp   Menue_FlagAn
```

Menue_UltraAktivAusgabe:

```
ldi    zl,LOW(UltraAktivString <<1)
ldi    zh,HIGH(UltraAktivString <<1)
rcall  Menue_Ausgabe
lds    r16,ModusFlags
sbrs  r16,MOD_Ultraschall
rjmp   Menue_FlagAus
rjmp   Menue_FlagAn
```

Menue_BereichAusgabe:

```
ldi    zl,LOW(BereichString <<1)
ldi    zh,HIGH(BereichString<<1)
rcall  Menue_Ausgabe
lds    r16,ModusFlags
sbrs  r16,MOD_Bereich
rjmp   Menue_Bereich5
```

Menue_Bereich1:

```
ldi    zl,LOW(Bereich1String<<1)
ldi    zh,HIGH(Bereich1String<<1)
rjmp   Menue_FlagAusgabe
```

Menue_Bereich5:

```
ldi    zl,LOW(Bereich5String<<1)
ldi    zh,HIGH(Bereich5String<<1)
rjmp   Menue_FlagAusgabe
```

Menue_FrequenzAusgabe:

```
ldi    zl,LOW(FrequenzString <<1)
ldi    zh,HIGH(FrequenzString <<1)
rcall  Menue_Ausgabe
lds    r16,ModusFlags
sbrs  r16,MOD_Frequenz
rjmp   Menue_Frequenz2
```

Menue_Frequenz8:

```
ldi    zl,LOW(Frequenz8String<<1)
ldi    zh,HIGH(Frequenz8String<<1)
rjmp   Menue_FlagAusgabe
```

Menue_Frequenz2:

```
ldi    zl,LOW(Frequenz2String<<1)
ldi    zh,HIGH(Frequenz2String<<1)
rjmp   Menue_FlagAusgabe
```

Menue_FlagAusgabe:

```
ldi    r17,''  
rcall  UART8_SendByte  
ldi    r17,'I'  
rcall  UART8_SendByte  
rcall  UART8_SendPGMString  
ldi    r17,'I'  
rcall  UART8_SendByte  
ret
```

RS232: ; ein Zeichen wurde über die serielle Schnittstelle empfangen

;** das seriell empfangene Byte steht jetzt in r17

```
cpi    r17,'I'  
brne  NaechsteAbfrage  
rjmp  Erzeuge_Linearisierungstabelle
```

NaechsteAbfrage:

```
cpi    r17,'s'  
breq  Toggle_Ultraschall  
cpi    r17,'w'  
breq  Toggle_mm  
cpi    r17,'a'  
breq  Toggle_Seriell  
cpi    r17,'d'  
breq  Toggle_DebugModus ; erweiterte Ausgaben  
cpi    r17,'b'  
breq  Toggle_Bereich  
cpi    r17,'f'  
breq  Toggle_Frequenz  
cpi    r17,'u'  
breq  Toggle_FilterUltraschall  
cpi    r17,'i'  
brne  SkipInstruction1  
rjmp  Toggle_FilterInfrarot
```

SkipInstruction1:

;** ungueltiges Zeichen empfangen, daher Menü ausgeben

```
ldi    zl,LOW(WillkommenString <<1)  
ldi    zh,HIGH(WillkommenString <<1)  
rcall  UART8_SendPGMString  
rcall  Menue_UltraFilter  
rcall  Menue_InfraFilter  
rcall  Menue_Debug  
rcall  Menue_Value  
rcall  Menue_SerielleAusgabe  
rcall  Menue_UltraAktivAusgabe  
rcall  Menue_BereichAusgabe  
rcall  Menue_FrequenzAusgabe  
ret
```

Toggle_Ultraschall:

```
lds    r16,Modusflags  
ldi    r17,(1<<MOD_Ultraschall)
```



```

    eor    r16,r17
Set_Ultraschall:
    sts    Modusflags,r16
    rcall Menue_UltraAktivAusgabe
    ret
Toggle_Bereich:
    lds    r16,Modusflags
    ldi    r17,(1<<MOD_Bereich)
    eor    r16,r17
Set_Bereich:
    sts    Modusflags,r16
    rcall Menue_BereichAusgabe
    ret
Toggle_Frequenz:
    lds    r16,Modusflags
    ldi    r17,(1<<MOD_Frequenz)
    eor    r16,r17
Set_Frequenz:
    sts    Modusflags,r16
    rcall Menue_FrequenzAusgabe
    ret
Toggle_mm:
    lds    r16,Modusflags
    ldi    r17,(1<<MOD_Rohdaten)
    eor    r16,r17
Set_mm:
    sts    Modusflags,r16
    rcall Menue_Value
    ret
Toggle_Seriell:
    lds    r16,Modusflags
    ldi    r17,(1<<MOD_WerteSeriell)
    eor    r16,r17
Set_Seriell:
    sts    Modusflags,r16
    rcall Menue_SerielleAusgabe
    ret
Toggle_DebugModus:
    lds    r16,Modusflags
    ldi    r17,(1<<MOD_DebugInfo)
    eor    r16,r17
Set_DebugModus:
    sts    Modusflags,r16
    rcall Menue_Debug
    ret
Toggle_FilterUltraschall:
    lds    r16,Modusflags
    ldi    r17,(1<<MOD_USFilter)
    eor    r16,r17
Set_FilterUltraschall:
    sts    Modusflags,r16
    rcall Menue_UltraFilter

```

```

ret
Toggle_FilterInfrarot:
lds    r16,Modusflags
ldi    r17,(1<<MOD_IRFilter)
eor    r16,r17
Set_FilterInfrarot:
sts    Modusflags,r16
rcall  Menue_InfraFilter
ret

```

Erzeuge_Linearisierungstabelle:

```

; ** Das Terminal hat 'l' gesendet, die Linearisierungstabelle wird aufgenommen
; ** Auf dem Terminal wird eine Distanz in mm vorgegeben (Ausgabe '00###mm;')
; ** Der Benutzer stellt mit einem Hindernis die geforderte Entfernung ein und sendet
; ** über das Terminal zur Bestätigung ein beliebiges Zeichen (ausser 'a', Abbruch)
; ** Daraufhin werden 5 Ultraschall und 32 Infrarot-Messungen durchgeführt
; ** deren Werte im Format u1;u2;u3;u4;u5;i1;i2;...;i32;CR+LF an das Terminal gesendet werden.
; ** Die übertragenen Werte sind Rohdaten.
; ** Auf dem PC kann eine Weiterverarbeitung der Werte erfolgen (z.B. grafische Aufbereitung,
; ** geometrische Mittelwertbildung, Polynom-Regeression)

```

```

ldi    zl,LOW(LinearString <<1)
ldi    zh,HIGH(LinearString <<1)
rcall  UART8_SendPGMString

```

```

clr    r16                ; Position mm
sts    Lin_PositionH,r16  ; Highbyte
sts    Lin_PositionL,r16  ; Lowbyte

```

EL_Schleife:

```

; ** Schleifenzähler senden
rcall  Delay100ms
lds    r19,Lin_PositionH
lds    r18,Lin_PositionL
ldi    zl,LOW(SerString)
ldi    zh,HIGH(SerString)
rcall  uWordToDecNull      ; r19:r18 in Dezimalzahl wandeln

ldi    zl,LOW(SerString)
ldi    zh,HIGH(SerString)
rcall  UART8_SendRAMString

ldi    zl,LOW(EL_mmString<<1)
ldi    zh,HIGH(EL_mmString<<1)
rcall  UART8_SendPGMString ; 'mm;' senden

```

; ** auf Bestätigung oder Abbruch warten ('b' oder 'a')

EL_WarteAufBestaetigung:

```

ldi    zl,LOW(EL_Wait4Handshake)
ldi    zh,HIGH(EL_Wait4Handshake)
rcall  UART8_GetByte
rjmp   EL_WarteAufBestaetigung

```

EL_BestaetigungErfolgt:

```

pop    r17

```

```

        pop     r17                ; Rücksprungadresse von 'rcall UART8_GetByte' vom Stack entfernen (siehe UART8_GetByte)

        clr     r17

EL_Ultraschall:
; ** zuerst 5 Ultraschall-Messungen
        push    r17
        rcall   USN_SendPacket
        rcall   USN_WaitMeasure
        rcall   USN_Filter        ; abhängig von MOD_USFilter wird der Timerwert gefiltert
; ** Ausgabe des US-Wertes
        lds     r19,USN_RawHi
        lds     r18,USN_RawLo    ; ungefilterter Rohdatenwert
        ldi     zl,LOW(SerString)
        ldi     zh,HIGH(SerString)
        rcall   uWordToDecNull   ; r19:r18 in Dezimalzahl wandeln

        ldi     zl,LOW(SerString)
        ldi     zh,HIGH(SerString)
        rcall   UART8_SendRAMString ; Dezimalwert senden

        ldi     zl,LOW(Divider_String<<1)
        ldi     zh,HIGH(Divider_String<<1)
        rcall   UART8_SendPGMString ; ';' senden

        rcall   Delay100ms

        pop     r17
        inc     r17
        cpi     r17,5
        brne    EL_Ultraschall

        clr     r17

        sbi     PWR_PORT,PWR_IRSENSOR ; Infrarot-Sensor einschalten
        rcall   Delay100ms          ; Warten, bis Werte vom Sharp IR/ADC stabil

EL_Infrarot:
; ** jetzt 32 Infrarot-Messungen
        push    r17
        rcall   SIR_StartMeasure   ; ADC starten
        rcall   SIR_Wait_Semaphore ; Warte, bis ADC fertig

        mov     r18,SIR_ValueL
        mov     r19,SIR_ValueH    ; in r19:r18 steht der analoge IR-Wert

; ** Ausgabe des IR-Wertes
        ldi     zl,LOW(SerString)
        ldi     zh,HIGH(SerString)
        rcall   uWordToDecNull     ; r19:r18 in Dezimalzahl wandeln

        ldi     zl,LOW(SerString)
        ldi     zh,HIGH(SerString)

```

```

    rcall    UART8_SendRAMString    ; Dezimalwert senden

    ldi     zl,LOW(Divider_String<<1)
    ldi     zh,HIGH(Divider_String<<1)
    rcall    UART8_SendPGMString    ; ';' senden
NaechsteMessung:
    pop     r17
    inc     r17
    cpi     r17,32
    brne    EL_Infrarot

    cbi     PWR_PORT,PWR_IRSENSOR ; Infrarot-Sensor aus

    ldi     zl,LOW(NewLine_String<<1)
    ldi     zh,HIGH(NewLine_String<<1)
    rcall    UART8_SendPGMString    ; ';' senden

; ** Schleifenzähler pro Durchlauf erhöhen
    lds     r16,Lin_PositionL
    ldi     r18,LOW(Lin_Schrittweite)
    add     r16,r18
    sts     Lin_PositionL,r16
    lds     r17,Lin_PositionH
    ldi     r18,HIGH(Lin_Schrittweite)
    adc     r17,r18
    sts     Lin_PositionH,r17
EL_Weiter:
    cpi     r17,HIGH(Lin_MaxEntfernung)
    breq    EL_EndBedingung
EL_NaechsteEntfernung:
    rjmp    EL_Schleife
EL_Endbedingung:
    cpi     r16,LOW(Lin_MaxEntfernung)
    breq    EL_NaechsteEntfernung
    brsh    EL_Ende
    rjmp    EL_NaechsteEntfernung    ; nur wenn r21:r20 = 1000, dann Schleife zuende (Hundert Zentimeter)
EL_Ende:
    ret

EL_Wait4Handshake:
    cpi     r17,'a'
    breq    EL_Abbruch
    rjmp    EL_BestaetigungErfolgt
EL_Abbruch:
; ** Abbruchbestätigung an Terminal senden
    ldi     zl,LOW(EL_AbbruchString <<1)
    ldi     zh,HIGH(EL_AbbruchString <<1)
    rcall    UART8_SendPGMString
EL_Break:
    pop     r16
    pop     r16    ; Da abgebrochen werden soll, nicht zurück in EL... springen, sondern in MAIN
    ret

```

```

RCX_Befehl_ausfuehren:
    lds    r16,RCX_Status
    sbrs  r16,RCX_CommandRcvd    ; wenn RCX_CommandRcvd=1 (received), dann verarbeiten
    rjmp  RCX_Kein_Befehl      ; sonst zurück
RCX_Befehl_empfangen:
    mov   r16,RCX_Command
    cpi   r16,1
    breq  RCX_Befehl1
    cpi   r16,2
    breq  RCX_Befehl2
    cpi   r16,3
    breq  RCX_Befehl3
    cpi   r16,4
    breq  RCX_Befehl4
RCX_Befehl_Bestaetigen:          ; Befehl abgearbeitet oder Befehl war nicht 1-4, also fehlerhafter Empfang
    lds   r16,RCX_Status
    cbr   r16,(1<<RCX_CommandRcvd)
    sts   RCX_Status,r16        ; RCX_CommandRcvd:=0, der nächste Befehl kann empfangen werden
RCX_Kein_Befehl:
    ret
RCX_Befehl1:
; 8 Messungen/s, US+IR, 5m
    lds   r16,Modusflags
    andi  r16,~((1<<MOD_Bereich)+(1<<MOD_Frequenz))
    ori   r16,(1<<MOD_Ultraschall)
    rcall Set_Bereich          ; gibt den Bereich seriell aus, setzt ausserdem Modusflags
    rcall Menue_FrequenzAusgabe
    rcall Menue_UltraAktivAusgabe
    rjmp  RCX_Befehl_Bestaetigen
RCX_Befehl2:
; 2 Messungen/s, US+IR, 5m
    lds   r16,Modusflags
    andi  r16,~(1<<MOD_Bereich)
    ori   r16,((1<<MOD_Ultraschall)+(1<<MOD_Frequenz))
    rcall Set_Bereich
    rcall Menue_FrequenzAusgabe
    rcall Menue_UltraAktivAusgabe
    rjmp  RCX_Befehl_Bestaetigen
RCX_Befehl3:
; 8 Messungen/s, nur IR, 1m
    lds   r16,Modusflags
    andi  r16,~((1<<MOD_Bereich)+(1<<MOD_Frequenz)+(1<<MOD_Ultraschall))
    rcall Set_Bereich
    rcall Menue_FrequenzAusgabe
    rcall Menue_UltraAktivAusgabe
    rjmp  RCX_Befehl_Bestaetigen
RCX_Befehl4:
; 2 Messungen/s, nur IR, 1m
    lds   r16,Modusflags
    andi  r16,~((1<<MOD_Bereich)+(1<<MOD_Ultraschall))
    ori   r16,(1<<MOD_Frequenz)

```

```

rcall    Set_Bereich
rcall    Menue_FrequenzAusgabe
rcall    Menue_UltraAktivAusgabe
rjmp    RCX_Befehl_Bestaetigen

; ** Es folgen die Interrupt Handler
Sysclk:                                     ; Timer0 Overflow Handler, DAC-Ausgabe und RCX-Befehlsempfang
; Register sichern
    push    r16
    in      r16,SREG
    push    r16

    ldi     r16,8                           ; resultierende Sysclk-Frequenz etwa 500Hz
    out    TCNT0,r16

    rcall   MAX554x_Out_RAM                 ; DAC-Wert wird ausgegeben
    rcall   RCX_Receive                     ; ggf. wird ein neuer Befehl vom LegoRCX-Baustein empfangen
    rcall   Delay100us

    pop     r16
    out    SREG,r16
    pop     r16                             ; Register wiederherstellen
    reti

ADCC:                                       ; AD Conversion Complete Handler
; Register sichern
    push    r16
    in      r16,SREG
    push    r16

    rcall   SIR_Measure_Complete           ; speichern des Resultats in SIR_Valuel+H
    pop     r16
    out    SREG,r16
    pop     r16                             ; Register wiederherstellen
    reti

.CSEG
; ** Strings für Ausgabe der Werte
UltraschallString: .DB "us: ",0
InfrarotString:    .DB " ir: ",0

; ** Menü
WillkommenString: .DB 27,"[2JDistanzme",223,"system f",252,"r mobile Roboter",44," ",40,"c",41," 2003 O. Dahlmann",13,10,0 ; Distanzmesssystem für mobile Roboter, (c) 2003 O.Dahlmann
UltraFilterString: .DB "u..US Filter",0
InfraFilterString: .DB "i..IR Filter",0
DebugString:       .DB "d..Debug",0
ValueString:       .DB "w..Werte",0
SeruellString:     .DB "a..Ausgabe",0
EL_LinString:      .DB "l..Lintab",0
UltraAktivString:  .DB "s..Ultraschall",0
BereichString:     .DB "b..Bereich",0
FrequenzString:    .DB "f..Frequenz",0

; ** bedingte Ausgaben

```

```

Bereich1String: .DB "1m",0 ; für Bereich-Ausgabe
Bereich5String: .DB "5m",0
ValueMmString: .DB "mm",0 ; für Messwert-Ausgabe
ValueRawString: .DB "raw",0
Frequenz8String: .DB "8/s",0 ; für Frequenz-Ausgabe
Frequenz2String: .DB "2/s",0
AusString: .DB "aus",0 ; für Ultraschall, serielle Ausgabe, Debug, Filter benutzt
AnString: .DB "an",0

; ** Linearisierungstabelle aufnehmen
LinearString: .DB 13,10,"Linearisierungstabelle aufnehmen",13,10
AbbrechenString: .DB 13,10,"a .. Abbrechen",13,10,0
EL_AbbruchString: .DB 13,10,"Abbruch",13,10,0

; ** verschiedene Formatierungsstrings, etc.
EL_mmString: .DB " mm",59,0,0 ; 'mm;'
Divider_String: .DB 59,0 ; ':' Trennzeichen für Einzelwerte (Serielle Ausgabe)
NewLine_String: .DB 13,10,0,0 ; Carriage Return + LineFeed(Serielle Ausgabe)
InfoStringIR: .DB " ir:",0
InfoStringUS: .DB " us:",0
InfoStringBumper: .DB " bump:",0
InfoStringDiff: .DB " diff:",0
InfoStringFehler: .DB " error",0

.DSEG
SerString: .BYTE 6 ; 6 Bytes im RAM reservieren, um einen String zur Laufzeit erzeugen und
; seriell senden zu können (Ausgabe von dynamischen Werten, z.B. Messwerten).
Modusflags: .BYTE 1 ; In welchem Modus befindet sich das Modul, Erklärung zu Beginn dieser Datei
Lin_PositionH: .BYTE 1 ; Position in mm, erst Highbyte (wird von der Funktion (1) -> Linearisierungstabelle aufnehmen' benötigt)
Lin_PositionL: .BYTE 1 ; Position in mm, dann Lowbyte

.INCLUDE "..\libraries\numout_lib_short.asm"
.INCLUDE "..\libraries\delay_short.asm"
.INCLUDE "..\libraries\MAX554xDAC_lib.asm"
.INCLUDE "..\libraries\4433\SHARP_IR_lib.asm"
.INCLUDE "..\libraries\4433\Ultrasonic_lib.asm"
.INCLUDE "..\libraries\Multiplication16x16_lib.asm"
.INCLUDE "..\libraries\Multiplication16x8_lib.asm"
.INCLUDE "..\libraries\Division24Bit_lib.asm"
.INCLUDE "..\libraries\4433\LegoRCX_Receive_lib.asm"
.INCLUDE "..\libraries\4433\UART8_lib.asm"
.INCLUDE "..\libraries\X9C104_lib_short.asm"
.INCLUDE "..\libraries\SensorVerarbeitung_lib.asm"
.INCLUDE "..\libraries\RCX_Output_lib.asm"
.INCLUDE "..\libraries\4433\EEPROM_lib.asm"

```

numout_lib_short.asm

```
*****
;
;* Library:      numout_lib_short für AVR Prozessoren
;
;* Autor:       Oliver Dahlmann
;
;* Version:     1.0
;
;* Beschreibung: Bibliothek mit verschiedenen Unterprogrammen
;
;*             zur Ausgabe von Zahlen in verschiedenen
;
;*             Formaten, ASCII-Strings sind Ziel
;
;*             jede Funktion auf Wunsch nullterminiert
;
*****

; (char*:Z) uByteToDec(ubyte:r18)          konvertiert das Byte in r18 in ASCII, Dezimaldarstellung, 3 Stellen
; uByteToDecNull                          nullterminiert
;
;
; (char*:Z) ByteToDec(ubyte:r18)          konvertiert das Byte mit Vorzeichen in r18 in ASCII, Dezimaldarstellung, 3 Stellen
; ByteToDecNull                            nullterminiert
;
;
; (char*:Z) uWordToDec(uword:[r19:r18])    konvertiert das Wort in r19:r18 in ASCII, Dezimaldarstellung, 5 Stellen
; uWordToDecNull                          nullterminiert

.CSEG
uByteToDecNull:
    rcall    uByteToDec
    rjmp     NUMOUT_String_Terminieren
uByteToDec:
; Unsigned Byte in r18 to ASCII, Decimal
    push    r18
    push    r19
    push    r20
    push    r21
    push    r22
    push    r23
    push    r24
    push    r25
    push    r26

    clr     r24                ; 100er
    clr     r25                ; 10er
    clr     r26                ; 1er
    clr     r23                ; Summand für Übertrags-Addition = NULL
    ldi     r20,8              ; Schleifen-Zähler

BTD_Horner:
BTD_Stelle1:
    clc
    rol     r26                ; 1er = 1er*2
    rol     r25                ; 10er = 10er*2
    rol     r24                ; 100er = 100er*2
    rol     r18                ; Oberstes Bit in Carry schieben
    adc     r26,r23            ; Carry auf 1er nach Verdopplung addieren
    cpi     r26,10            ; ist das Ergebnis >=10 ?
    brlt   BTD_Stelle10      ; Wenn nein, kein Uebertrag zu behandeln
```



```

    subi    r26,10          ; Da r26 (die 1er Stelle) >=10 war, 10 abziehen
    inc     r25             ; Die 1er-Stelle hatte einen Uebertrag, also 10er um 1 inkr.

BTD_Stelle10:
    cpi     r25,10
    brlt   BTD_Stelle100
    subi    r25,10         ; Da es in den 10ern einen Übertrag gab. 10 abziehen
    inc     r24            ; 100er um 1 erhöhen

BTD_Stelle100:
    dec     r20
    brne   BTD_Horner

    ldi     r20,'0'
    add     r24,r20
    st      Z+,r24
    add     r25,r20
    st      Z+,r25
    add     r26,r20
    st      Z+,r26

    pop     r26
    pop     r25
    pop     r24
    pop     r23
    pop     r22
    pop     r21
    pop     r20
    pop     r19
    pop     r18
    ret

uWordToDecNull:
    rcall   uWordToDec
    rjmp    NUMOUT_String_Terminieren

uWordToDec:
; Unsigned Word to Dezimal
    push   r18
    push   r19
    push   r20
    push   r21
    push   r22
    push   r23
    push   r24
    push   r25
    push   r26

    clr    r22          ; 10.000er
    clr    r23          ; 1.000er
    clr    r24          ; 100er
    clr    r25          ; 10er

```

```

    clr    r26                ; 1er
    clr    r21                ; Summand für Übertrags-Addition = NULL
    ldi    r20,16            ; Schleifen-Zähler
WTD_Horner:
WTD_Stelle1:
    clc
    rol    r26                ; 1er = 1er * 2
    rol    r25                ; 10er = 10er * 2
    rol    r24                ; 100er = 100er * 2
    rol    r23                ; 1.000er = 1.000er * 2
    rol    r22                ; 10.000er = 10.000er * 2
    rol    r18                ; Oberstes Bit von r19 in unterstes Bit von r18 schieben
    rol    r19                ; Oberstes Bit in Carry schieben
    adc    r26,r21           ; Carry auf 1er nach Verdopplung addieren

    cpi    r26,10            ; ist das Ergebnis >=10 ?
    brlt   WTD_Stelle10     ; Wenn nein, kein Uebertrag zu behandeln

    subi   r26,10           ; Da r26 (die 1er Stelle) >=10 war, 10 abziehen
    inc    r25               ; Die 1er-Stelle hatte einen Uebertrag, also 10er um 1 ink.

WTD_Stelle10:
    cpi    r25,10
    brlt   WTD_Stelle100
    subi   r25,10           ; Da es in den 10ern einen Übertrag gab. 10 abziehen
    inc    r24               ; 100er um 1 erhöhen

WTD_Stelle100:
    cpi    r24,10
    brlt   WTD_Stelle1000
    subi   r24,10           ; Da es in den 100ern einen Übertrag gab. 10 abziehen
    inc    r23               ; 1.000er um 1 erhöhen

WTD_Stelle1000:
    cpi    r23,10
    brlt   WTD_Stelle10000
    subi   r23,10           ; Da es in den 1.000ern einen Übertrag gab. 10 abziehen
    inc    r22               ; 10.000er um 1 erhöhen

WTD_Stelle10000:
    dec    r20
    brne   WTD_Horner
    ldi    r20,'0'
    add    r22,r20
    st     Z+,r22
    add    r23,r20
    st     Z+,r23
    add    r24,r20
    st     Z+,r24
    add    r25,r20
    st     Z+,r25
    add    r26,r20

```

```
st      Z+,r26
pop     r26
pop     r25
pop     r24
pop     r23
pop     r22
pop     r21
pop     r20
pop     r19
pop     r18
ret
```

ByteToDecNull:

```
rcall  ByteToDec
rjmp   NUMOUT_String_Terminieren
```

ByteToDec:

; ein vorzeichenbehaftetes Byte wird in ASCII gewandelt
; das Byte wird in r18 übergeben

```
push   r18
push   r20
cpi    r18,$80
brsh   BTD_Negativ
```

BTD_Positiv:

```
ldi    r20,'+' ; das Vorzeichen '+', wahlweise durch '-' zu ersetzen
st     Z+,r20
rcall  uByteToDec
pop    r20
pop    r18
ret
```

BTD_Negativ:

```
ldi    r20,'-'
st     Z+,r20
clr    r20
sub    r20,r18
mov    r18,r20
rcall  uByteToDec
pop    r20
pop    r18
ret
```

NUMOUT_String_Terminieren:

```
push   r16
clr    r16
st     Z,r16 ; String mit Null terminieren
pop    r16
ret
```

delay_short.asm

```
.*****
;
;* Library:      delay_short für AVR Prozessoren
;
;* Autor:       Oliver Dahlmann
;
;* Version:     1.0
;
;* Beschreibung: Bibliothek mit verschiedenen Verzögerungs-
;               routinen, Zeitangaben bezogen auf 8MHz Clock
;
;*****

.CSEG

Delay100ms:                ; @8MHz
    push    r16
    ldi    r16,4
Delay100msLoop:
    rcall   Delay25ms
    dec    r16
    brne   Delay100msLoop
    pop    r16
    ret

Delay100us:                ; @8Mhz
    push    r16
    ldi    r16,255        ; etwa 100usec
    rjmp   Delay100usEinsprung

Delay25ms:                 ; @8Mhz
    push    r16
    clr    r16
Delay100usEinsprung:
    push    r17
    clr    r17
Delay25msLoop:
    inc    r17
    brne   Delay25msLoop
    inc    r16
    brne   Delay25msLoop
    pop    r17
    pop    r16
    ret
```

MAX554xDAC_lib.asm

```
*****
;
; * Library:      MAX554xDAC_lib für AVR Prozessoren
; * Autor:       Oliver Dahlmann
; * Version:     1.0
; * Beschreibung: Schnelle Bibliothek mit Unterprogrammen
; *             zur Ansteuerung eines MAX554x Digital/Analog
; *             Converters (16Bit).
; *****
; * Achtung:     Der MAX554x arbeitet stabil bis zu herunter
; *             zu statischem Betrieb (DC)
; *****
;
; void MAX554x_Init(void)          setzt die benutzten Speicherstellen auf Null und führt eine
;                                 DA-Wandlung (DAC=0) durch
;
; void MAX554x_Set_RAM(r17:r16)    DAC_Wert := r17:r16, die Ausführung
;                                 von Interrupts wird solange gesperrt (Critical Section)
;
; void MAX554x_Out_RAM(void)       Der Wert in MAX_DAC_Wert wird am DA-Wandler ausgegeben
;
; void MAX554x_Out_Register(r17:r16) r17:r16 wird auf dem DA-Wandler ausgegeben
;
; ** Definition der verwendeten I/O-Leitungen ...
; EQU   MAX_CS      =      2      ; Pin4 MAX554x /CS (Chip Select, active low)
; EQU   MAX_SCLK    =      3      ; Pin5 MAX554x /SCLK (Serial Clock, steigende Flanke übernimmt Daten-Bit)
; EQU   MAX_DIN     =      4      ; Pin6 MAX554x DIN (Data In)
; ** ... an Port
; EQU   MAX_PORT    =      PORTD
;
.CSEG

MAX554x_Init:
; ** Dummy-Wandlung mit DAC=0
    clr     r16
    sts     MAX_DAC_Wert,r16
    sts     MAX_DAC_Wert+1,r16
    rcall  MAX554x_Out_RAM
    ret

MAX554x_Set_RAM:
    push   r18
    in     r18,TIMSK          ; Critical Section, Timer0-Interrupt nicht erlaubt
    andi  r18,~(1<<TOIE0)
    out   TIMSK,r18
    sts   MAX_DAC_Wert,r17    ; Highbyte
    sts   MAX_DAC_Wert+1,r16  ; Lowbyte
    in   r18,TIMSK
    ori  r18,(1<<TOIE0)      ; Timer0-Interrupt wieder erlauben
    out  TIMSK,r18
    pop   r18
```

```

ret

MAX554x_Out_RAM:                ; wird aus dem Hauptprogramm vom Timer0Overflow-IRQ aufgerufen
    push    r20
    push    r17
    push    r16
    lds     r17,MAX_DAC_Wert
    lds     r16,MAX_DAC_Wert+1
    rjmp    MAX554x_DA

MAX554x_Out_Register:
; ** Der Wandler hat drei digitale Eingänge: /SCLK, DIN und /CS
; ** Format der Daten siehe Product specification MAX554x, MAXIM
; ** in r17:r16 wird der auszugebende Wert übergeben
    push    r20
    push    r17
    push    r16
MAX554x_DA:
    ldi     r20,16
    cbi     MAX_PORT,MAX_CS
MAX554x_Loop:
    cbi     MAX_PORT,MAX_SCLK
    lsl     r16
    rol     r17                ; C <- r17:r16 <-0, das MSB ist jetzt in C
    brcs   MAX554x_Data_1
MAX554x_Data_0:
    cbi     MAX_PORT,MAX_DIN    ; 0 ausgeben
    sbi     MAX_PORT,MAX_SCLK
    dec     r20
    brne   MAX554x_Loop
    rjmp    MAX554x_WortEnde
MAX554x_Data_1:
    sbi     MAX_PORT,MAX_DIN    ; 1 ausgeben
    sbi     MAX_PORT,MAX_SCLK
    dec     r20
    brne   MAX554x_Loop
MAX554x_WortEnde:
    cbi     MAX_PORT,MAX_SCLK
    sbi     MAX_PORT,MAX_CS    ; DAC Update
    pop     r16
    pop     r17
    pop     r20
    ret

.DSEG
MAX_DAC_Wert: .BYTE 2          ; 16Bit-Wert für den DA-Wandler

```

SHARP_IR_lib.asm

```
*****
;
;* Library:      SHARP_IR_lib für AVR Prozessoren
;
;* Autor:       Oliver Dahlmann
;
;* Version:     1.0
;
;* Beschreibung: Bibliothek mit verschiedenen Unterprogrammen
;               zur Nutzung eines SHARP Infrarot-Sensors vom
;               Typ GP2D12 am analogen Port eines AT90S4433
;               Dieser nach dem Triangulationsprinzip arbei-
;               tende Sensor hat einen Erkennungsbereich von
;               etwa 10-80cm.
;
*****

.EQU    SIR_Distanz      = 10           ; Stützstellenabstand der Linearisierungstabelle in mm

.EQU    IR_a             = 128         ; siehe IR-Filterbeschreibung
.EQU    IR_b             = 128

.DEF    SIR_Semaphore    = r10         ; wird vom ADCC-Interrupt gesetzt. Das Hauptprogramm kann somit einen ADCC-Interrupt feststellen
.DEF    SIR_ValueL       = r11         ; Das Messergebnis
.DEF    SIR_ValueH       = r12

.CSEG

SIR_Messung8:
; ** Die folgende Funktion führt 8 Infrarot-Messungen durch und bildet dann einen Mittelwert
; ** Ausserdem werden Minimum und Maximum der Messwerte ermittelt
    push    r20
    rcall   SIR_Mittelwert_loeschen    ; Mittelwert und Minimum/Maximum löschen
    ldi     r20,8
SIR_M8_Schleife:
    rcall   SIR_StartMeasure          ; ADC starten
    rcall   SIR_Wait_Semaphore        ; Warte, bis ADC fertig (ADCC-Interrupt)
; rcall   SIR_WaitMeasure            ; alternative Wartemethode ohne Interrupt
    rcall   SIR_Sum_Min_Max           ; Summe aller 8 Messergebnisse und Bestimmung von Minimum/Maximum
    dec     r20
    brne   SIR_M8_Schleife           ; 8mal wiederholen

    rcall   SIR_Sigma                 ; Abweichung (Sigma=Maximum-Minimum) bestimmen
    rcall   SIR_Mittelwert            ; Mittelwert (=Summe/8)
    pop     r20
    ret

SIR_StartMeasure:
    push    r16
    ldi     r16,(1<<RXEN)+(1<<TXEN)
    out     UCSRB,r16                ; UART Sende- und Empfangs-Interrupts deaktivieren

    clr     r16
    mov     SIR_Semaphore,r16        ; Semaphore auf NULL, Wandlung gestartet
    sbi     ADCSR,ADSC
```

```

sleep                ; und schlafen, bis IRQ kommt
ldi    r16,(1<<RXCIE)+(1<<TXCIE)+(1<<RXEN)+(1<<TXEN)
out    UCSRB,r16     ; Sende- und Empfangs-Interrupts aktivieren
pop    r16
ret

SIR_WaitMeasure:
push   r16
SIR_WaitMeasureLoop:
in     r16,ADCSR
andi  r16,(1<<ADIF)
cpi   r16,(1<<ADIF)   ; Warte bis ADIF-Bit gesetzt
brne  SIR_WaitMeasureLoop
rcall SIR_Measure_Complete
in     r16,ADCSR
ori   r16,(1<<ADIF)   ; ADIF-Bit löschen (durch Schreiben einer 1 in ADIF)
out   ADCSR,r16
pop   r16
ret

SIR_Measure_Complete: ; wird von SIR_WaitMeasure oder vom ADCC-Interrupt aufgerufen
in     r16,ADCL
mov   SIR_ValueL,r16
in     r16,ADCH
mov   SIR_ValueH,r16 ; Messergebnis speichern
ser   r16
mov   SIR_Semaphore,r16 ; Semaphore auf $FF, Wandlung komplett
ret

SIR_Wait_Semaphore: ; wenn mit ADCC-Interrupt gearbeitet wird, diese Routine anstelle von SIR_WaitMeasure verwenden
mov   r16,SIR_Semaphore
cpi   r16,$FF
breq  SIR_Wait_Semaphore_Set ; falls ein anderer IRQ zum Aufwachen aus Idle(Sleep) geführt hat,
rcall SIR_StartMeasure       ; dann Conversion erneut durchführen
rjmp  SIR_Wait_Semaphore     ; und erneut testen
SIR_Wait_Semaphore_Set:
ret

SIR_Mittelwert_loeschen:
push  r16
clr   r16
sts   SIR_MittelwertH,r16
sts   SIR_MittelwertM,r16
sts   SIR_MittelwertL,r16
sts   SIR_MaximumH,r16
sts   SIR_MaximumL,r16

ser   r16
sts   SIR_MinimumH,r16
sts   SIR_MinimumL,r16

pop   r16

```



```
ret
```

```
SIR_Sum_Min_Max:
```

```
; ** Errechnung der 24-Bit-Summe aller IR-Messwerte, bekommt in r18:r17 den Analogwert übergeben
```

```
lds    r16,SIR_MittelwertL
add    r16,SIR_ValueL
sts    SIR_MittelwertL,r16
lds    r16,SIR_MittelwertM
adc    r16,SIR_ValueH
sts    SIR_MittelwertM,r16
push   r17
clr    r17
lds    r16,SIR_MittelwertH
adc    r16,r17
sts    SIR_MittelwertH,r16
pop    r17
```

```
; ** Errechnung des IR-Maximums
```

```
lds    r16,SIR_MaximumH
cp     SIR_ValueH,r16
brlo   SIR_Kein_Neues_Maximum
brne   SIR_Neues_Maximum
lds    r16,SIR_MaximumL           ; Hier angekommen waren die MSB's des neuen Werts und des Maximums gleich
cp     SIR_ValueL,r16           ; Also LSB abfragen
brlo   SIR_Kein_Neues_Maximum
```

```
SIR_Neues_Maximum:
```

```
sts    SIR_MaximumH,SIR_ValueH
sts    SIR_MaximumL,SIR_ValueL
```

```
SIR_Kein_Neues_Maximum:
```

```
; ** Errechnung des IR-Minimums
```

```
lds    r16,SIR_MinimumH
cp     r16,SIR_ValueH
brlo   SIR_Kein_Neues_Minimum
brne   SIR_Neues_Minimum
lds    r16,SIR_MinimumL           ; Hier angekommen waren die MSB's des neuen Werts und des Minimums gleich
cp     r16,SIR_ValueL           ; Also LSB abfragen
brlo   SIR_Kein_Neues_Minimum
```

```
SIR_Neues_Minimum:
```

```
sts    SIR_MinimumH,SIR_ValueH
sts    SIR_MinimumL,SIR_ValueL
```

```
SIR_Kein_Neues_Minimum:
```

```
ret
```

```
SIR_Sigma:
```

```
; ** Abweichung Sigma bestimmen (Sigma=Maximum-Minimum)
```

```
push   r16
push   r17
lds    r16,SIR_MaximumL
lds    r17,SIR_MinimumL
sub    r16,r17
sts    SIR_SigmaL,r16
```

```

lds    r16,SIR_MaximumH
lds    r17,SIR_MinimumH
sbc    r16,r17
sts    SIR_SigmaH,r16
pop    r17
pop    r16
ret

```

SIR_Mittelwert:

```

; ** Errechnung des IR-Mittelwerts aus der 24Bit-Summe
; ** Bei 32 Samples -> Summe 5 Bits nach rechts schieben, um Mittelwert zu erhalten
; ** Bei 8 Samples -> Summe 3 Bits nach rechts schieben, um Mittelwert zu erhalten
push   r16
push   r17
push   r18

lds    r18,SIR_MittelwertH
lds    r17,SIR_MittelwertM
lds    r16,SIR_MittelwertL

lsr    r18
ror    r17
ror    r16                ; Summe/2
lsr    r18
ror    r17
ror    r16                ; Summe/4
lsr    r18
ror    r17
ror    r16                ; Summe/8

sts    SIR_RawHi,r17
sts    SIR_RawLo,r16      ; für die Weiterverarbeitung durch die Filter-Routine

pop    r18
pop    r17
pop    r16

ret

```

SIR_Filter:

```

; ** wird vor der Umrechnung des Wertes in mm aufgerufen
lds    r17,SIR_RawHi
lds    r16,SIR_RawLo      ; in r17r16 steht der aktuelle Messwert
; ** wenn MOD_IRFilter gesetzt, dann den Wert nicht direkt zurückgeben, sondern filtern
lds    r18,Modusflags
sbrs   r18,MOD_IRFilter
rjmp   SIR_FilterBeendet
; ** je weiter das Objekt entfernt ist, desto unzuverlässiger wird der Messwert
; ** im folgenden wird dafür gesorgt, das der Messwert umso schneller in das Ergebnis einfließt,
; ** desto näher das Messobjekt am Sensor ist
; ** D(n) beschreibt die errechnete Distanz der Vergangenheit, D(n+1) wird der neue Ausgabewert

```

```

; ** D(n+1) := [(a*(Messwert/Maximum)+b) * Messwert] + [(1-(a*(Messwert/Maximum)-b)) * D(n)]
; ** Maximum bezeichnet den maximalen Wertebereich des Messwerts, also 1024 bei 10Bit-A/D
; ** mit Messwert=0..1023, Messwert in r17r16, {Maximum DIV 4} ergibt 256
    lsr    r17
    ror    r16
    lsr    r17
    ror    r16                ; M' sei Messwert DIV 4 (aus 10Bit -> 8Bit)
    ldi    r18,IR_a
    rcall  Multi16x8          ; r22r21r20 := M' * a
; ** r22r21 := (M' * a) / Mmax'
    ldi    r16,IR_b
    add    r21,r16            ; r21 := [(M' * a) / Mmax'] * b
; ** Messwert M zurückholen
    lds    r17,SIR_RawHi
    lds    r16,SIR_RawLo
; ** Gewichtungsfunktion speichern für weitere Verwendung
    push   r21
; ** mit M multiplizieren
    mov    r18,r21
    rcall  Multi16x8          ; (gewichteter Messwert*256) in r22r21r20
; ** 1-G (bzw. 256-G)
    pop    r18
    com    r18
    inc    r18                ; 256-G
; ** gewichteten Messwert zwischenspeichern
    push   r22
    push   r21
    push   r20
; ** (1-G)*D(n)
    lds    r17,SIR_ValHi
    lds    r16,SIR_ValLo      ; in r17r16 steht die Vorgeschichte
    rcall  Multi16x8
; ** gewichteten Messwert addieren
    pop    r16
    add    r20,r16
    pop    r16
    adc    r21,r16
    pop    r16
    adc    r22,r16            ; r22r21:=D(n+1)

    mov    r17,r22
    mov    r16,r21
SIR_FilterBeendet:
    sts    SIR_ValLo,r16
    sts    SIR_ValHi,r17
    sts    SIR_RawLo,r16
    sts    SIR_RawHi,r17      ; falls nicht linearisiert wird, steht in SIR_Raw der gefilterte Wert
    ret

```

SIR_mm:

```

; ** Hier wird der Messwert U linearisiert und in einen Entfernungs-Wert [mm] umgewandelt
; ** Hierzu wird eine Linearisierungstabelle verwendet

```

```

; ** Zunächst die Stelle X in der Lintab suchen, wo
;
;
; ** U      > U > U
; ** Lintab(x)  Lintab(x+1)
;
;
;         lds    r21,SIR_ValHi
;         lds    r20,SIR_ValLo          ; Der zu suchende Wert Uir in r21:r20

; ** Index=0
;         clr    r0
SIR_WertSuchen:
;         ldi    r16,SIR_Lintab        ; Startadresse der Tabelle im EEPROM
;         add    r16,r0                ; darauf den Index addieren, EEPROM-Adresse jetzt in r16
;         rcall  EEPROM_Read          ; Datenbyte steht jetzt in r16
;         push   r16
;         inc    r0                    ; Index++
;         ldi    r16,SIR_Lintab        ; Startadresse der Tabelle im EEPROM
;         add    r16,r0                ; darauf den Index addieren, EEPROM-Adresse jetzt in r16
;         rcall  EEPROM_Read          ; Tabelleneintrag steht jetzt in r17r16
;         inc    r0                    ; Index++
;         mov    r17,r16
;         pop    r16                  ; LSB wurde zuerst gelesen

;         rcall  SIR_VergleichAB      ; vergleiche U und Ulintab
;         breq   SIR_WerteGleich      ; Beide Werte sind gleich, eine Interpolation ist nicht nötig
;         brcc   SIR_WertGefunden     ; in der Lintab wurde der erste Wert gefunden, der kleiner als der Messwert ist
;         rjmp   SIR_WertSuchen       ; den nächsten Wert prüfen
SIR_WertGefunden:
; ** Jetzt den vorigen Wert aus der Tabelle holen und von diesem abziehen
;         push   r17
;         push   r16                  ; Wert (Tabelleneintrag) absichern
;         dec    r0                    ; Index:=Index-4
;         dec    r0                    ; jetzt steht r0 auf dem gerade gelesenen Wort
;         dec    r0
;         dec    r0                    ; jetzt steht r0 auf dem davor abgespeicherten Wort

;         ldi    r16,SIR_Lintab        ; Startadresse der Tabelle im EEPROM
;         add    r16,r0                ; darauf den Index addieren, EEPROM-Adresse jetzt in r16
;         rcall  EEPROM_Read          ; Datenbyte steht jetzt in r16
;         mov    r18,r16
;         inc    r0
;         ldi    r16,SIR_Lintab        ; Startadresse der Tabelle im EEPROM
;         add    r16,r0                ; darauf den Index addieren, EEPROM-Adresse jetzt in r16
;         rcall  EEPROM_Read          ; Wort steht jetzt in r19r18 (r19r18:=U(x))
;         mov    r19,r16
;         inc    r0

;         pop    r16
;         pop    r17                  ; Wert (Tabelleneintrag) wiederherstellen

;         sub    r20,r16
;         sbc    r21,r17              ; r21:r20 := U(w) - U(x+1)

```



```

    breq    SIR_BGleichAHigh
    ret
SIR_BGleichAHigh:
    cp     r20,r16           ; LowBytes vergleichen
    ret     ; wenn A = B -> C=0, Z=1
           ; wenn A < B -> C=0, Z=0
           ; wenn A > B -> C=1, Z=0

.ESEG
.ORG 0x00
SIR_Lintab_Anfang: .dw 1023 ; Anfangswert der Linearisierungstabelle, erspart einige Sonderbehandlungen in der Routine
; ** Jetzt kommen die ersten 800mm beginnend bei 0mm, mehr als 800mm ist beim verwendeten Sensor nicht sinnvoll
SIR_LINTAB:       .dw 855,797,745,698,655,616,581,550,521,496,472,451,432,415,399,385,371,359,348,338,328,319,311
                 .dw 303,295,288,281,275,269,263,257,251,246,241,235,231,226,221,217,213,209,205,201,198,194,191
                 .dw 188,185,182,180,177,175,173,171,169,167,165,163,162,160,158,157,155,153,152,150,148,146,144,142,140,139,137,135,133,132,130,129,128,127,126
SIR_Lintab_Ende:  .dw 0           ; Ende der Tabelle mit 0 kennzeichnen

.DSEG
SIR_MittelwertH:  .BYTE 1
SIR_MittelwertM:  .BYTE 1
SIR_MittelwertL:  .BYTE 1           ; in MittelwertM:MittelwertL steht der arithmetische Mittelwert über n Messungen

SIR_MinimumH:     .BYTE 1
SIR_MinimumL:     .BYTE 1           ; Das Minimum von n Messungen

SIR_MaximumH:     .BYTE 1
SIR_MaximumL:     .BYTE 1           ; Das Maximum von n Messungen

SIR_SigmaH:       .BYTE 1
SIR_SigmaL:       .BYTE 1           ; Die Abweichung über n Messungen

SIR_RawHi:        .BYTE 1           ; zunächst die von der Messroutine gelieferten Rohdaten des Sensors,
SIR_RawLo:        .BYTE 1           ; wird von SIR_mm zur Ablage des Wertes in mm verwendet

SIR_ValHi:        .BYTE 1
SIR_ValLo:        .BYTE 1           ; die möglicherweise gefilterten Daten des Sensors VOR der Linearisierung

```

Ultrasonic_lib.asm

```
*****
;
;* Library:      Ultrasonic_lib für AVR Prozessoren
;
;* Autor:       Oliver Dahlmann
;
;* Version:     1.0
;
;* Beschreibung: Bibliothek mit verschiedenen Unterprogrammen
;
;*             zur Nutzung eines Polaroid Ultraschall-
;
;*             Entfernungssensors.
;
;*             Diese Library arbeitet mit einer Beschaltung
;
;*             die komplett ohne Spezial-IC's auskommt
;
*****
;
;
; ** verwendete Bits ...

;EQU  USN_REC      =      0      ; Komparator mit Empfangssignal
;EQU  USN_XMIT     =      1      ; Puls-Erzeugung (MOSFET)
;EQU  USN_TRESHOLD =      3      ; Trigger für Kondensator-Entladekurve für zeitabhängigen Treshold des US Komparators
;EQU  GAIN_20     =      5      ; Der Transistor T2 kann die Eingangsverstärkung des Ultraschallempfängers von 1x auf 20x umschalten

; ** ... an Port
;EQU  USN_PORT    =      PORTB   ; mit diesem Port ist der Polaroid-Sensor verbunden (Ausgang)
;EQU  USN_PIN     =      PINB    ; mit diesem Port ist der Polaroid-Sensor verbunden (Eingang)

.EQU  FilterFreq  =      64      ; entspricht Ergebnis = (1/4*Messwert) + (3/4*History)

.DEF  USN_RuntimeH =      r13    ; Die Laufzeit des zurückgelegten Impulses
.DEF  USN_RuntimeL =      r14    ;
.DEF  USN_Semaphore =      r15   ; wenn die Semaphore=1, wurde die Messung beendet

.CSEG

USN_Init:
    push    r16
    cbi     USN_PORT,USN_XMIT      ; die XMIT-Leitung auf 0
    sbi     USN_PORT,USN_TRESHOLD ; Kondensator für die nächste Messung schon mal laden
    rcall   X9C_Select0
    rcall   X9C_Reset              ; Verstärkungsfaktor bei 2 beginnen, dazu Digital-Poti zurücksetzen
    rcall   X9C_Deselect0

    clr     r16
    sts     USN_RawLo,r16
    sts     USN_RawHi,r16

    pop     r16
    ret

USN_SendPacket:
    sbi     USN_PORT,USN_TRESHOLD ; Kondensator für die nächste Messung laden
    rcall   X9C_Select0
    rcall   X9C_Reset              ; Verstärkungsfaktor bei 2 beginnen, dazu Digital-Poti zurücksetzen
    push    r17
```

```

    push    r20

    cli                    ; Critical Section, ein Interrupt würde die Genauigkeit der Messung stören
    clr     USN_Semaphore ; Eine NULL in der Semaphore zeigt an, dass die Messung noch nicht beendet wurde

    clr     r16             ; Timer1 bei $0000 starten
    out    TCNT1H,r16
    out    TCNT1L,r16

; ** Schwingungen erzeugen
; ** Achtung: Resonanzfrequenz des Transducers liegt bei 54,5kHz (gemessen)
; ** Also 9,17us HIGH, 9,17us LOW, 0,375us wird durch dec/brne verzögert -> Verzögerung inkl. RCALL/RET ~8,8us
    ldi    r17,8           ; 8 Schwingungen, halb so viele wie das Original-IC
USN_PulseGeneration:
    sbi    USN_PORT,USN_XMIT ; XMIT-Treiber auf 1, Dauer 0,125usec
    rcall USN_PulseDelay     ; 8,625usec warten
    nop
    nop
    nop
    nop                    ; 4*nop=0,5usec -> insgesamt 9,5+0,5+0,125=10,125usec -> 49,382kHz
    nop                    ; für 50/50 Puls/Pausen Verhältnis (dec/brne ausgleichen)
    cbi    USN_PORT,USN_XMIT ; XMIT-Treiber wieder auf 0
    rcall USN_PulseDelay
    nop
    nop
    dec    r17
    brne  USN_PulseGeneration ; Gewünschte Anzahl Pulse erzeugen

; ** Die Schwingungen zu erzeugen hat bei 4 Perioden etwa 73 usec gedauert
; ** Jetzt eine gewisse Zeitspanne warten und danach die Echo-Unterdrückung aufheben
; ** Jetzt das Ausschwingen des Systems Transformator, Transducer, Kondensatoren C12, C21 abwarten (etwa 1ms)

    ldi    r16,243         ; ungefähr 1ms
    clr    r17
    inc    r17
USN_Delay1msLoop:
    inc    r17
    brne  USN_Delay1msLoop
    inc    r16
    brne  USN_Delay1msLoop

    cbi    USN_PORT,USN_TRESHOLD ; Den Kondensator über Widerstand entladen lassen.

; ** Hier GAIN-Control für Empfangsverstärker schrittweise erhöhen
; ** Erstmal etwa 2ms warten (abhängig von vorheriger Wartezeit zur Echounterdrückung)
; ** Die Wartezeiten sind nur ungefähr einzuhalten, da sie nur die Verstärkung des Empfänger-IC's betreffen
; ** Das Messergebnis wird dadurch wahrscheinlich nicht wesentlich beeinflusst
    rcall Delay100us
; ** Laufzeit wird ab hier gemessen
    in     r16,TIMSK
    ori    r16,(1<<TICIE1)+(1<<TOIE1)
    out    TIMSK,r16      ; Interrupt für Timer Capture und Timer Overflow freigeben

```



```

    ldi    r16,(1<<ICF1)+(1<<TOV1) ; eventuell zwischengespeichertes Flag für Timer Capture IRQ löschen (wird durch Setzen auf Eins gelöscht)
    out   TIFR,r16                ; sonst wird der Interrupt sofort ausgelöst wenn er freigegeben wird
    sei                                     ; Interrupts erlauben, auf Echo vom Polaroid-Sensor warten

    rcall USN_GainDelay
    ldi    zl,LOW(GAINTAB<<1)
    ldi    zh,HIGH(GAINTAB<<1)
    push  r0
GainLoop:
    lpm
    mov   r16,r0
    adiw  zl,1
    cpi   r16,-1                    ; -1 -> Ende der Tabelle erreicht?
    breq  GainLoopEnde
    cpi   r16,99                    ; 99 -> Gain20 einschalten
    breq  Gain20
    rcall X9C_WiperUpTo             ; Widerstand um r16 kOhm erhöhen
    rcall USN_GainDelay             ; In 2ms den nächsten Verstärkungsfaktor holen
    rjmp  GainLoop
Gain20:
    sbi   GAIN_PORT,GAIN_20        ; Verstärkung der ersten Stufe von 1x auf 20x umschalten, sofort den nächsten Wert fürs Poti lesen und setzen
    rjmp  GainLoop
GainLoopEnde:
    pop   r0

USN_Ende:
    pop   r20
    pop   r17
    rcall X9C_Deselect0
    sei
    ret

USN_NoPacketRecvd:
    push  r16                      ; Register sichern
    in    r16,SREG
    push  r16

    ser   r16
    sts   USN_RawLo,r16
    sts   USN_RawHi,r16
    ldi   r16,(1<<ICF1)            ; eventuell zwischengespeichertes Flag für Timer Capture IRQ löschen (wird durch Setzen auf Eins gelöscht)
    out   TIFR,r16                ; sonst wird der Interrupt sofort ausgelöst wenn er freigegeben wird

    in    r16,TIMSK
    andi  r16,~((1<<TICIE1)+(1<<TOIE1)) ; Das TICIE1- und TOIE1-Bit löschen, Capture- und Overflow-IRQ disabled
    out   TIMSK,r16               ; Interrupt für Zeitmessung sperren

    ldi   r16,1
    mov   USN_Semaphore,r16        ; Kennzeichnet Ende der Messung
    sbi   USN_PORT,USN_TRESHOLD    ; Kondensator für die nächste Messung schon mal laden

    pop   r16

```

```

    out    SREG,r16
    pop    r16
    reti

USN_PacketRecvd:
    push  r16
    in    r16,SREG
    push  r16

    ldi   r16,(1<<TOV1)          ; eventuell zwischengespeichertes Flag für Timer Capture IRQ löschen (wird durch Setzen auf Eins gelöscht)
    out   TIFR,r16              ; sonst wird der Interrupt sofort ausgelöst wenn er freigegeben wird

    in    r16,TIMSK
    andi  r16,~((1<<TICIE1)+(1<<TOIE1)) ; Das TICIE1- und TOIE1-Bit löschen, Capture- und Overflow-IRQ disabled
    out   TIMSK,r16            ; Interrupt für Zeitmessung sperren

    in    r16,ICR1L              ; Input Capture Register auslesen (LOW)
    sts   USN_RawLo,r16
    in    r16,ICR1H              ; Input Capture Register auslesen (HIGH)
    sts   USN_RawHi,r16         ; und im Speicher als USN_Raw ablegen

    ldi   r16,1
    mov   USN_Semaphore,r16     ; Kennzeichnet Ende der Messung

    pop   r16
    out   SREG,r16
    pop   r16
    reti

USN_Filter:
    lds   r17,USN_RawHi
    lds   r16,USN_RawLo         ; in r17r16 steht der aktuelle Messwert
; ** wenn MOD_USFilter gesetzt, dann den Wert nicht direkt zurückgeben, sondern filtern
    lds   r18,Modusflags
    sbrc  r18,MOD_USFilter
    rjmp  USN_FilterBeendet
; ** kleinere Werte (als der letzte) werden sofort übernommen, grössere Werte werden tiefpassgefiltert
; ** ist r17r16 kleiner als das letzte Ergebnis? wenn ja, Wert direkt übernehmen.
    cp    r17,USN_RuntimeH
    brlo  USN_KleinererWert    ; Wenn der neue Wert kleiner, dann...
    brne  USN_GroessererWert   ; Wenn grösser...
    cp    r16,USN_RuntimeL
    brlo  USN_KleinererWert    ; Wenn HI gleich, LO prüfen
    brlo  USN_KleinererWert    ; Neuer Wert kleiner?
    breq  USN_FilterBeendet    ; Neuer Wert gleich?

USN_GroessererWert:
; ** Der neue Wert war also grösser und MOD_USFilter=1, also
; **  $D(n+1) := \text{FilterFreq} * \text{Messwert} + (1 - \text{FilterFreq}) * D(n)$ 
; ** Um Rundungsfehler zu vermeiden, wird folgendermaßen gerechnet:
; **  $D(n+1) := \lceil (\text{FilterFreq} * \text{Messwert} + (256 - \text{FilterFreq}) * D(n)) / 256 \rceil$ 
; ** mit FilterFreq=0..255, Messwert in r17r16
    ldi   r18,FilterFreq
    rcall Multi16x8            ; r22r21r20 := FilterFreq * Messwert

```

```

    push    r22
    push    r21
    push    r20                ; Messergebnis auf Stack sichern

    mov     r16,USN_RuntimeL
    mov     r17,USN_RuntimeH   ; r17r16 := D(n)
    ldi     r18,FilterFreq
    com     r18
    inc     r18                ; r18 := 256-FilterFreq
    rcall  Multi16x8          ; r22r21r20 := (256-FilterFreq) * D(n)

    pop     r16
    add     r20,r16
    pop     r16
    adc     r21,r16
    pop     r16
    adc     r22,r16           ; Das Ergebnis (16Bit) steht in r22r21, r20 ist Rest

    mov     r17,r22
    mov     r16,r21
USN_KleinererWert:
USN_FilterBeendet:
    mov     USN_RuntimeL,r16
    mov     USN_RuntimeH,r17
    sts     USN_ValLo,r16
    sts     USN_ValHi,r17     ; Falls nicht in mm umgerechnet werden soll, steht in USN_ValLo,Hi jetzt der gefilterte Wert
    ret

USN_mm:
; ** Umwandlung des Timer-Messwertes [us] in einen Entfernungswert [mm]
;
;
;      Vschall*Laufzeit      Vschall
; mm = ----- - US_Offset = ( ----- * Laufzeit) - US_Offset
;      2 * 1000              2000
;
;
; /2 wegen doppelter Schalllaufzeit (hin und zurück), /1000 wegen Laufzeit in Mikrosekunden
;
; mm = (US_Faktor * Laufzeit/1000) - US_Offset
;
; mit Vschall = 343m/s = 343mm/ms -> US_Faktor = 171,5, also 172
; und Laufzeit gemessen in Mikrosekunden, US_Offset gemessen in mm
;
;
;      US_Faktor * Laufzeit
; mm = (-----) - US_Offset
;      1000
;
;
; US_Faktor sei ein 16Bit-Wert (theoretisch 171,5, experimentell ermittelt (im heißen Sommer 2003) wurde ein Wert von 174)
; Laufzeit 16Bit-Wert in ms
; US_Offset 16Bit-Wert in mm
;
; ** Erhält Timer-Wert in r17:r16, Wert in ms

```

```

    mov    r16,USN_RuntimeL      ; Timerwert (LOW)
    mov    r17,USN_RuntimeH     ; Timerwert (HIGH) r17:r16 := Timer
    ldi    r18,US_Faktor
    rcall  Multi16x8            ; r22:r21:r20 := r17:r16 * US_Faktor
; ** Jetzt durch 1000 teilen

; ** A Dividend    r22:r21:r20
; ** B Divisor     r18:r17:r16
; ** E Ergebnis    r2:r1:r0
; ** Z Zähler      r5:r4:r3 interne Verwendung

    clr    r18
    ldi    r17,HIGH(1000)
    ldi    r16,LOW(1000)
    rcall  Divide24x24
; ** Jetzt abfragen, ob der Wert kleiner als der (US_Offset+US_Totbereich) ist -> Fehler
    ldi    r17,LOW(US_Offset)
    ldi    r16,LOW(US_Totbereich)
    add    r17,r16
    push   r17
    ldi    r17,HIGH(US_Offset)
    ldi    r16,HIGH(US_Totbereich)
    adc    r17,r16
    pop    r16                  ; r17:r16 := (US_Offset+US_Totbereich)

    sub    r0,r16
    sbc    r1,r17
; ** wenn das Ergebnis negativ wurde, dann Ergebnis auf US_Totbereich setzen (Messfehler)
    brpl   USN_ValueInRange
    ldi    r17,HIGH(US_Totbereich)
    sts    USN_ValHi,r17
    ldi    r16,LOW(US_Totbereich)
    sts    USN_ValLo,r16      ; Entfernung = US_Totbereich (in mm)
    rjmp   USN_mm_Ende
USN_ValueInRange:
    ldi    r17,LOW(US_Totbereich)
    mov    r16,r0
    add    r16,r17
    push   r16

    ldi    r17,HIGH(US_Totbereich) ; Totbereich wieder aufaddieren, Offset bleibt korrigiert
    mov    r16,r1
    adc    r17,r16
    pop    r16

    sts    USN_ValHi,r17
    sts    USN_ValLo,r16      ; Entfernung = Wert in mm
USN_mm_Ende:
    ret

USN_WaitMeasure:                ; Warte auf Ende der Ultraschall-Laufzeit-Messung
USN_CheckSemaphore:

```

```

mov    r16,USN_Semaphore
cpi    r16,1
brne   USN_CheckSemaphore
ret

```

USN_PulseDelay:

```

; ** Wartetdauer: 1 + r16 + 2*(r16 - 1) + 1 + 4 + 3
; **           = 6 + 3*r16
; ** bei 8MHz muss r16 mit 21 geladen werden -> 69 Taktzyklen -> 8,625usec
ldi    r16,21                ; 1 Takt

```

USN_DelayLoop:

```

dec    r16                    ; 1 Takt*Anzahl
brne   USN_DelayLoop         ; 2 Takte bei Sprung, 1 Takt bei Weiter ((2*Anzahl-1) + 1)
ret                                         ; 4 Takte für RET + 3 Takte für aufrufendes RCALL

```

USN_GainDelay:

```

; ** Gesamte Wartezeit mit rcall-Aufruf: Zyklen = 770*B + 3*A - 760
; ** für B=22 und A=207 -> 16798 Zyklen ->2099,75usec
push   r17                    ; Zyklen: 2
push   r16                    ; Zyklen: 2
ldi    r17,22                 ; Zyklen: 1 (r17 ist B=22)
ldi    r16,206                ; Zyklen: 1 (r16 ist A=206)

```

USN_Warte_GAIN_InnerLoop:

```

dec    r16                    ; Zyklen: A + (B-1)*256 = A + 256*B -256
brne   USN_Warte_GAIN_InnerLoop ; Zyklen: (A-1)*2 + 1 + (B-2)*255*2 + (B-2) = 2*A - 2 + 1 + 510*B - 510 + B - 2 = 511*B + 2*A - 513
dec    r17                    ; Zyklen: B
brne   USN_Warte_GAIN_InnerLoop ; Zyklen: (B-1)*2 + 1 = 2*B - 1
pop    r16                    ; Zyklen: 2
pop    r17                    ; Zyklen: 2
ret

```

GAINTAB: .db 99,2,2,4,8,12,16,20,32,-1 ; Tabelle der einzelnen Gain-Werte, ACHTUNG: Keine absoluten Werte, sondern relative, beginnt bei 0

.DSEG

```

USN_RawLo: .BYTE 1
USN_RawHi: .BYTE 1 ; 16Bit-Wert USN_Raw enthält den Timerstand nach Beendigung der Messung
USN_ValLo: .BYTE 1
USN_ValHi: .BYTE 1 ; der in mm umgerechnete Entfernungswert

```

Multiplication16x8_lib.asm

```
.*****
;
;* Library:      Multiplication16x8_lib für AVR Prozessoren
;
;* Autor:       Oliver Dahlmann
;
;* Version:     1.0
;
;* Beschreibung: Bibliothek mit Multiplikationsroutine
;
;*              Result(24Bit) := M1(16Bit) * M2( 8Bit)
;
.*****
;
;
.CSEG

; Result:= M1 * M2
; M1:    r17:r16
; M2:    r18
; Result: r22:r21:r20

Multi16x8:
    push    r23
    clr     r22
    clr     r21
    clr     r20
    ldi     r23,8
Mul16x8_1:
    lsr     r18
    brcc    Mul16x8_2
    add     r21,r16
    adc     r22,r17
Mul16x8_2:
    ror     r22
    ror     r21
    ror     r20
    dec     r23
    brne    Mul16x8_1
    pop     r23
    ret
```

Multiplication16x16_lib.asm

```
.*****
;
;* Library:      Multiplication16x16_lib für AVR Prozessoren
;
;* Autor:       Oliver Dahlmann
;
;* Version:     1.0
;
;* Beschreibung: Bibliothek mit Multiplikationsroutine
;
;*              Result(32Bit) := M1(16Bit) * M2(16Bit)
;
.*****
;
;
.CSEG

; Result:= M1 * M2
; M1:    r17:r16
; M2:    r19:r18
; Result: r23:r22:r21:r20

Multi16x16:
    push    r24
    clr     r23
    clr     r22
    clr     r21
    clr     r20
    ldi     r24,16
Mul1616_1:
    lsr     r19
    ror     r18
    brcc    Mul1616_2
    add     r22,r16
    adc     r23,r17
Mul1616_2:
    ror     r23
    ror     r22
    ror     r21
    ror     r20
    dec     r24
    brne    Mul1616_1
    pop     r24
    ret
```

Division24Bit_lib.asm

```
*****
;
; * Library:      Division24Bit_lib für AVR Prozessoren
; * Autor:       Oliver Dahlmann
; * Version:     1.0
; * Beschreibung: Bibliothek mit Divisionsroutine
; *             E(24Bit) := A(24Bit) / B(24Bit)
; *****

.CSEG

Divide24x24:
; PRE:
; ** A Dividend   r22:r21:r20
; ** B Divisor    r18:r17:r16
; ** E Ergebnis   r2:r1:r0
; ** Z Zähler     r5:r4:r3 interne Verwendung
; POST:
; ** E = Ergebnis, A = Rest, B = gerundetes Ergebnis
; ** Z = keine Änderung

        push    r5
        push    r4
        push    r3
        push    r19

        clr     r19
        mov     r2,r19
        mov     r1,r19
        mov     r0,r19                ; E := 0

        cpi     r18,0
        brne   Div24_DivLoop
        cpi     r17,0
        brne   Div24_DivLoop
        cpi     r16,0
        breq   Div24_DivisionByZero   ; B=0? -> Fehler
Div24_DivLoop:
        rcall   Div24_VergleichAB
        breq   Div24_Rechnen          ; wenn A = B, wird die Rechnung einfach
        brcc   Div24_DivisionEnde    ; wenn B > A ist die Rechnung jetzt schon zu Ende, Ergebnis = 0
Div24_Rechnen:
        push    r18
        push    r17
        push    r16
        mov     r5,r19
        mov     r4,r19
        mov     r3,r19
        inc     r3                    ; Z := 1
        rjmp   Div24_Vergleichen
```


Div24_SchiebeLinks:

```
lsl    r16
rol    r17
rol    r18           ; B := B *2

lsl    r3
rol    r4
rol    r5           ; Z := Z *2
```

Div24_Vergleichen:

```
rcall  Div24_VergleichAB
breq   Div24_AddiereZuErgebnis ; B=A -> direkt addieren
brcs   Div24_BPruefeGroesse    ; wenn B < A, dann Linksschieben von B, vorausgesetzt, B ist nicht zu gross
```

Div24_SchiebeRechts:

```
lsr    r18           ; wenn B > A, dann
ror    r17
ror    r16           ; B := B / 2

lsr    r5
ror    r4
ror    r3           ; Z := Z / 2
```

Div24_AddiereZuErgebnis:

```
add    r0,r3
adc    r1,r4
adc    r2,r5         ; E := E + Z

sub    r20,r16
sbc    r21,r17
sbc    r22,r18      ; A := A - B

pop    r16
pop    r17
pop    r18

rjmp   Div24_DivLoop
```

Div24_BPruefeGroesse:

```
sbrs   r18,7        ; MSB von r18 (B) gesetzt? Dann maximale Verschiebung erreicht, subtrahieren
rjmp   Div24_SchiebeLinks ; Sprung wenn MSB nicht gesetzt
rjmp   Div24_AddiereZuErgebnis ; Sprung wenn MSB gesetzt
```

Div24_DivisionByZero:

```
; ** Division durch Null wurde versucht
sec    ; Division By Zero Error -> C=1
rjmp   Div24_Div_Ende
```

Div24_DivisionEnde:

```
; ** noch prüfen, ob aufgerundet werden muss:
; ** wenn der Rest >= (Dividend/2), dann Ergebnis++
sbrs   r22,7        ; oberstes Bit vom Rest gesetzt?
```

```

    rjmp    Div24_RestMal2          ; Wenn nein, für den Test den Rest*2 nehmen
Div24_DivisorDurch2:              ; Wenn ja, für den Test den Divisor/2 nehmen
    lsr    r18
    ror    r17
    ror    r16                    ; Divisor/2
    rjmp    Div24_RestVergleichen
Div24_RestMal2:
    lsl    r20
    rol    r21
    rol    r22                    ; Rest*2
Div24_RestVergleichen:
    rcall   Div24_VergleichAB
    breq    Div24_ErgebnisAufrunden ; wenn Divisor/2=Rest -> Z=1
    brcs    Div24_ErgebnisAufrunden ; wenn Divisor/2<Rest -> C=1
    mov     r16,r0
    mov     r17,r1
    mov     r18,r2                ; gerundetes Ergebnis = Ergebnis
    rjmp    Div24_Div_Ende        ; C=0
Div24_ErgebnisAufrunden:
    ldi     r16,1
    add     r16,r0
    clr     r17
    adc     r17,r1
    clr     r18
    adc     r18,r2                ; gerundetes Ergebnis = Ergebnis + 1
    clc                                          ; C=0
Div24_Div_Ende:
; ** Division beendet
    pop     r19
    pop     r3
    pop     r4
    pop     r5
    ret                                          ; Ende der Division, OK -> C=0

Div24_VergleichAB:
    cp     r18,r22                ; HighBytes vergleichen
    breq    Div24_BGleichAHigh
    ret

Div24_BGleichAHigh:
    cp     r17,r21                ; MidBytes vergleichen
    breq    Div24_BGleichAMid
    ret

Div24_BGleichAMid:
    cp     r16,r20                ; LowBytes vergleichen
    ret
    ; wenn B = A -> C=0, Z=1
    ; wenn B > A -> C=0, Z=0
    ; wenn B < A -> C=1, Z=0

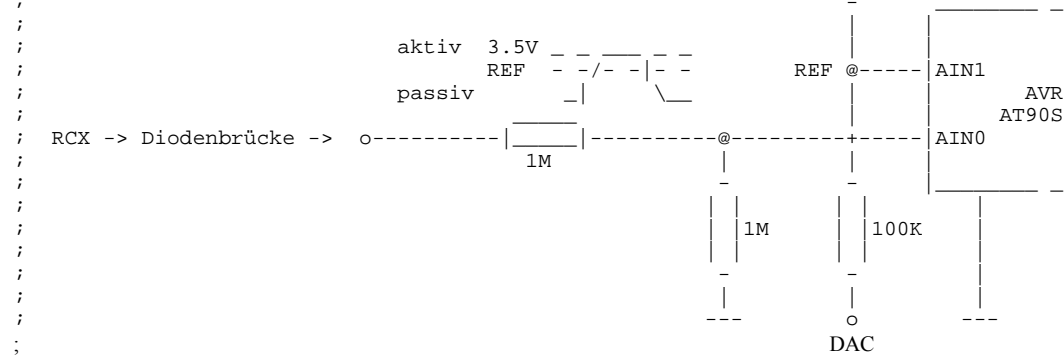
```

RCX_Receive_lib.asm

```

; *****
; Library:      RCX_Receive_lib für AVR Prozessoren
; Autor:       Oliver Dahlmann
; Version:     1.0
; Beschreibung: Bibliothek mit Empfangsroutine
;             RCX-Brick wird über passive Bauelemente
;             mit dem Analog-Komparator-Eingang des AVR
;             verbunden (+). Mit dem invertierenden (-)- o +5
;             Eingang wird ein Spannungsteiler verbunden, |
;             so dimensioniert, das ein aktiver Sensor- -
;             eingang vom RCX eine 1 auf ACO zur Folge |
;             hat, ein passiver Sensor-Eingang eine 0. | 220K
; *****

```



; Am mit DAC bezeichneten Punkt wird das Ausgangssignal des D/A-Wandlers des Distanz-
; messmoduls eingespeist (über Impedanzwandler). Hierdurch bewegt sich die Referenz-
; spannung zwischen den analogen Ausgangswert des Moduls und dem Aktiv-Signal des RCX.

```

.EQU  RCX_Semaphore      = 0      ; Bit in RCX_Status
.EQU  RCX_CommandRcvd   = 1

.DEF  RCX_Command       = r7     ; In diesem Byte steht die Länge des High-Pegels auf der RCX-Leitung

.CSEG

```

```

RCX_Receive:
  sbis  ACSR,ACO          ; Überspringe den nächsten Befehl wenn RCX_RECEIVE Komparator High-Pegel
  rjmp  RCX_Low

RCX_High:
  lds   r16,RCX_Status
  sbrc  r16,RCX_CommandRcvd
  ret   ; wenn RCX_CommandRcvd=1 -> ret
  sbrc  r16,RCX_Semaphore
  rjmp  RCX_HighContinue ; wenn RCX_Semaphore=1 -> RCX_HighContinue

  push  r16

```

```

    clr    r16
    mov   RCX_Command,r16      ; RCX_Command:=0
    pop   r16

    sbr   r16,(1<<RCX_Semaphore)
    sts   RCX_Status,r16      ; RCX_Semaphore:=1, d.h. Befehlsempfang läuft
RCX_HighContinue:
    mov   r16,RCX_Command
    inc   r16
    mov   RCX_Command,r16      ; RCX_Command++
RCX_Ende:
    ret
RCX_Low:
; ** Hier die empfangene Zeitdauer des High-Impulses quantisieren
; ** wenn 4 Befehle differenziert werden können ist dies völlig ausreichend
    lds   r16,RCX_Status
    sbrs  r16,RCX_Semaphore    ; wenn Semaphore=0->LowContinue
    rjmp  RCX_LowContinue
    cbr   r16,(1<<RCX_Semaphore) ; RCX_Semaphore für nächsten Befehlsempfang vorbereiten
    sbr   r16,(1<<RCX_CommandRcvd) ; RCX_CommandRcvd = 1 -> Befehl wurde empfangen
    sts   RCX_Status,r16

    mov   r16,RCX_Command
    lsr   r16
    lsr   r16
    lsr   r16
    lsr   r16                  ; gemessene Dauer/8 -> Befehlsnummer 1..4
    mov   RCX_Command,r16

; ** eine 1 in RCX_Command heisst, dass ein Impuls mit einer idealen Länge von 24ms empfangen wurde
; ** eine 2 in RCX_Command heisst, 40ms
; ** eine 3 in RCX_Command heisst, 56ms
; ** eine 4 in RCX_Command heisst, 72ms
RCX_LowContinue:
    ret

RCX_Init:
    lds   r16,RCX_Status
    cbr   r16,(1<<RCX_CommandRcvd)+(1<<RCX_Semaphore) ; CommandRcvd=0->Empfang möglich,
                                                ; Semaphore:=0->kein vollständiger Empfang
    sts   RCX_Status,r16
    ret

.DSEG
RCX_Status: .BYTE 1          ; in diesem Byte steht der RCX_Status: RCX_Semaphore und RCX_CommandRcvd

```

UART8_lib.asm

```

; *****
;
; * Library:   UART8 für AVR Prozessoren
; * Autor:     Oliver Dahlmann

```

```

; * Version: 1.0
; * Beschreibung: Bibliothek mit verschiedenen Unterprogrammen
; * zur Benutzung der seriellen Schnittstelle im
; * 8Bit-Modus
; *****
;
; void UART8_Init(Baud:r16) bekommt in r16 einen Wert für die Baudrate übergeben,
; der UART wird auf 8Bit eingestellt, TX und RX Interrupts werden erlaubt
; und die Ringpuffer werden initialisiert (Zeiger)
;
;
; r16 Baud Abweichung% f_clock
; -----
; 207 2.400 0,2% Baud = -----
; 103 4.800 0,2% 16 * ( r16 + 1 )
; 51 9.600 0,2%
; 34 14.400 0,8%
; 25 19.200 0,2%
; 16 28.800 2,1% !!
; 15 31.250 0,0% (MIDI)
; 12 38.400 0,2%
;
; void UART8_SendByte(Byte:r17) schiebt das in r17 übergebene Byte in den Sende-Ringpuffer und startet, falls
; nötig, den Sendevorgang. Befinden sich noch Bytes im Puffer, werden diese
; interruptgesteuert gesendet (UART8_TXC_Handler wird automatisch aufgerufen).
; Ist der Puffer n Bytes gross, können maximal n Bytes 'am Stück' versandt werden
; (also direkt nacheinander).
;
; void UART8_GetByte(*Callback:Z) prüft, ob ein neues (noch nicht verarbeitetes) Byte im Ringpuffer auf seine
; r16,r17 wird verändert Verarbeitung wartet. In Z ist die Adresse einer Funktion zu übergeben, die
; die eigentliche Verarbeitung des Bytes sicherstellt.
; UART8_GetByte ändert keine Register ausser r16/r17, immer im Hinterkopf behalten
; dass die CallBack-Routine vielleicht Register verändert!
;
; Beispiel für Aufruf im Hauptprogramm:
;
; MAINLOOP:
; ...
; ldi zl,LOW(VERARBEITUNG)
; ldi zh,HIGH(VERARBEITUNG)
; rcall UART8_GetByte
; ...
; rjmp MAINLOOP
; VERARBEITUNG:
; ... ; empfangenes Byte in r17
; ret ; zurück hinter den Aufruf von UART8_GetByte
;
; void UART8_SendPGMString(*Char:Z) sendet einen im ProgramMemory befindlichen null-terminierten String
; Z ist ein Zeiger auf die Anfangs-Adresse des Strings
;
; void UART8_SendRAMString(*Char:Z) sendet einen im RAM befindlichen null-terminierten String
; Z ist ein Zeiger auf die Anfangs-Adresse des Strings
;

```

.CSEG

UART8_GetByte:

```
; ** Diese Routine holt ein Byte aus dem als Ringpuffer implementierten Empfangspuffer der seriellen Schnittstelle  
; ** und springt, falls es ein noch nicht verarbeitetes Byte im Puffer gab, an die in Z übergebene Adresse.  
; ** Das zu verarbeitende Byte befindet sich zu diesem Zeitpunkt in r17 und darf verändert werden. Ebenso darf Z  
; ** in der Callback-Routine verändert werden.  
; ** Das RET der in Z übergebenen Callback-Routine führt zu einem Rücksprung hinter den Aufruf von UART8_GetByte  
; ** r16 wird verändert !!!
```

cli

```
lds    r17, UART8_RB_ReadPos  
lds    r16, UART8_RB_WritePos  
cp     r17, r16  
breq   UART8_GetByte_NoNewData
```

```
push   zl ; Adresse für CallBack sichern
```

```
push   zh
```

```
ldi    zl, LOW(UART8_RB_START)
```

```
ldi    zh, HIGH(UART8_RB_START) ; Basisadresse des ReceiveBuffers
```

```
lds    r16, UART8_RB_ReadPos ; Der Lesezeiger innerhalb des ReceiveBuffers
```

```
add    zl, r16
```

```
clr    r16
```

```
adc    zh, r16
```

```
ld     r17, z ; in r17 steht das empfangene Byte
```

```
rcall  UART8_Inc_RB_ReadPos ; Lesezeiger erhöhen
```

```
; ** Hier irgendwas mit dem empfangenen Byte anstellen ...
```

```
; ** Also Einsprung in eine Routine, die das Byte in r17 verarbeitet
```

```
pop    zh ; Adresse für CallBack wiederherstellen
```

```
pop    zl
```

```
sei
```

```
ijmp   ; springt an die Adresse in Z (r31:r30), von dort wird direkt hinter den Aufruf UART8_GetByte zurückgesprungen
```

UART8_GetByte_NoNewData:

```
clr    r17 ; wenn keine neuen Daten empfangen wurden, r17=0 zurückgeben
```

```
sei
```

```
ret
```

UART8_Restart:

```
push   zl
```

```
push   zh
```

```
cli
```

```
lds    r16, UART8_SB_Empty
```

```
cp     r16, 1
```

```
; Wenn 1 in SB_Empty, ist der SB leer, es werden keine Daten gesendet, also TX_Interrupt auslösen
```

```
breq   UR_PufferLeer
```

```
; ** Hier angekommen war SB_Empty=0, also Zeichen im Puffer vorhanden
```

```
ldi    zl, LOW(UART8_SB_START)
```

```
ldi    zh, HIGH(UART8_SB_START)
```

```
lds    r16, UART8_SB_ReadPos
```

```
add    zl, r16
```

```
clr    r16
```

```

        adc     zh,r16
        ld      r17,z          ; Hole Zeichen aus Ringpuffer
        sei                    ; Interrupts wieder freigeben
        rjmp   UART8_Relaunch ; Manuell senden, Interrupts in Gang bringen...
UR_PufferLeer:
        pop    zh
        pop    zl
        sei
        ret

UART8_SendByte:
; ** Diese Routine schreibt das in r17 übergebene Byte in den Sendepuffer (Ringpuffer)
; ** der über den Interrupt automatisch gesendet wird
; ** r16 wird verändert !!!

        push   zl
        push   zh

        cli                    ; *** Critical Section, Interrupts sperren ***
        ldi    zl,LOW(UART8_SB_START)
        ldi    zh,HIGH(UART8_SB_START)
        lds    r16,UART8_SB_WritePos
        add    zl,r16
        clr    r16
        adc    zh,r16          ; Z := Z + SB_WritePos
        st     z,r17          ; Dann das Byte im Ringpuffer speichern

        rcall  UART8_Inc_SB_WritePos
        lds    r16,UART8_SB_WritePos
        push   r17
        lds    r17,UART8_SB_ReadPos
        cp     r16,r17
        pop    r17
        brne  UART8_BufferNotFull
UART8_SB_BufferFull:
        rcall  UART8_Dec_SB_WritePos
        lds    r16,UART8_SB_ReadPos
        sei                    ; *** Ende Critical Section Weg1, Interrupts freigeben ***
        push   r17
UART8_SB_WaitBufferFree:
        lds    r17,UART8_SB_ReadPos
        cp     r16,r17
        breq  UART8_SB_WaitBufferFree
        pop    r17
        rcall  UART8_Inc_SB_WritePos          ; Erhöhe Schreibzeiger um ein Byte
UART8_BufferNotFull:
        sei                    ; *** Ende Critical Section Weg2, Interrupts freigeben ***
        lds    r16,UART8_SB_Empty
        cpi    r16,1          ; Wenn 1 in SB_Empty, ist der SB leer, es werden keine Daten gesendet, also TX_Interrupt auslösen
        brne  UART8_SendevorgangLaeuft

        clr    r16

```

```

    sts     UART8_SB_Empty,r16           ; SB_Empty auf 0 setzen
UART8_Relaunch:
; ** Hier einspringen nachdem der TXIE-Interrupt gesperrt wurde, vorher zl, zh pushen!
    out     UDR,r17                     ; Zeichen senden (Das erste Zeichen hier manuell, Rest folgt per IRQ)
    rcall   UART8_Inc_SB_ReadPos        ; Erhöhe Lesezeiger um ein Byte

UART8_SendevorgangLaeuft:
    pop     zh
    pop     zl
    ret

UART8_Inc_SB_WritePos:
    lds     r16,UART8_SB_WritePos
    inc     r16
    cpi     r16,(UART8_SB_END-UART8_SB_START) ; Ist der Schreibzeiger auf 16, dann setze ihn auf 0 (Ringpuffer-Prinzip)
    brne   UART8_SB_NeuerRingzeigerWrite
    clr     r16
UART8_SB_NeuerRingzeigerWrite:
    sts     UART8_SB_WritePos,r16
    ret

UART8_Dec_SB_WritePos:
    lds     r16,UART8_SB_WritePos
    dec     r16
    cpi     r16,-1                       ; Ist der Schreibzeiger auf -1, dann setze ihn auf 16 (Ringpuffer-Prinzip)
    brne   UART8_Dec_SB_NeuerRingzWrite
    ldi     r16,((UART8_SB_END-UART8_SB_START)-1)
UART8_Dec_SB_NeuerRingzWrite:
    sts     UART8_SB_WritePos,r16
    ret

UART8_Inc_SB_ReadPos:
    lds     r16,UART8_SB_ReadPos
    inc     r16
    cpi     r16,(UART8_SB_END-UART8_SB_START) ; Ist der Lesezeiger auf 16, dann setze ihn auf 0 (Ringpuffer-Prinzip)
    brne   UART8_SB_NeuerRingzeigerRead
    clr     r16
UART8_SB_NeuerRingzeigerRead:
    sts     UART8_SB_ReadPos,r16
    ret

UART8_Inc_RB_WritePos:
    lds     r16,UART8_RB_WritePos
    inc     r16
    cpi     r16,(UART8_RB_END-UART8_RB_START) ; Ist der Schreibzeiger auf 16, dann setze ihn auf 0 (Ringpuffer-Prinzip)
    brne   UART8_RB_NeuerRingzeigerWrite
    clr     r16
UART8_RB_NeuerRingzeigerWrite:
    sts     UART8_RB_WritePos,r16
    ret

UART8_Inc_RB_ReadPos:

```



```

    lds    r16, UART8_RB_ReadPos
    inc   r16
    cpi   r16, (UART8_RB_END - UART8_RB_START)    ; Ist der Lesezeiger auf 16, dann setze ihn auf 0 (Ringpuffer-Prinzip)
    brne  UART8_RB_NeuerRingzeigerRead
    clr   r16
UART8_RB_NeuerRingzeigerRead:
    sts   UART8_RB_ReadPos, r16
    ret

UART8_SendPGMString:                ; Z: Zeiger auf String im ProgramMemory
    push  r0
    push  r17
    push  zl
    push  zh
UART8_SP_Kopiere:
    lpm   r17, r0                    ; liest aus (Z) -> r0
    mov   r17, r0
    cpi   r17, 0                    ; Null Terminierung gefunden?
    breq  UART8_SP_NullGefunden
    rcall UART8_SendByte             ; Das Byte in r17 wird gesendet (UART)
    adiw  zh, zl, 1                 ; inc(Z)
    rjmp  UART8_SP_Kopiere
UART8_SP_NullGefunden:
    pop   zh
    pop   zl
    pop   r17
    pop   r0
    ret

UART8_SendRAMString:                ; Z: Zeiger auf String im RAM
    push  r0
    push  r17
    push  zl
    push  zh
UART8_SR_Kopiere:
    ld    r17, z+                   ; liest aus (Z) -> r17
    cpi   r17, 0                    ; Null Terminierung gefunden?
    breq  UART8_SR_NullGefunden
    rcall UART8_SendByte             ; Das Byte in r17 wird gesendet (UART)
    rjmp  UART8_SR_Kopiere
UART8_SR_NullGefunden:
    pop   zh
    pop   zl
    pop   r17
    pop   r0
    ret

UART8_Init:
    out   UBRR, r16                 ; Baudrate wird in r16 übergeben (25 ergibt 19.200 Baud bei 8 MHz)
    ldi   r16, (1<<RXCIEN)+(1<<TXCIEN)+(1<<RXEN)+(1<<TXEN)
    out   UCSRB, r16                ; Sende- und Empfangs-Interrupts aktivieren

```

```

clr    r16
sts    UART8_SB_WritePos,r16      ; Schreibzeiger in den Sendepuffer (wird von der Sende-Routine aktualisiert)
sts    UART8_SB_ReadPos,r16      ; Lesezeiger in den Sendepuffer (wird vom Sende-IRQ aktualisiert)
sts    UART8_RB_WritePos,r16
sts    UART8_RB_ReadPos,r16

ldi    r16,1
sts    UART8_SB_Empty,r16        ; SB_Empty=1 -> Der Sendepuffer ist leer
ret

```

```

UART8_RXC_Handler:              ; aufzurufen vom UART_RXC_Interrupt
; ** ein Byte wurde von der seriellen Schnittstelle empfangen und hier in den Ringpuffer geschrieben

```

```

push   zh
push   zl
push   r16
in     r16,SREG
push   r16
ldi    zl,LOW(UART8_RB_START)
ldi    zh,HIGH(UART8_RB_START)   ; Basisadresse des ReceiveBuffers
lds    r16,UART8_RB_WritePos    ; Der Schreibzeiger innerhalb des ReceiveBuffers
add    zl,r16
clr    r16
adc    zh,r16
in     r16,UDR
st     z,r16                    ; Das Byte in den Empfangspuffer schreiben
rcall  UART8_Inc_RB_WritePos    ; Schreibzeiger für den Empfangspuffer erhöhen
pop    r16
out    SREG,r16
pop    r16
pop    zl
pop    zh
reti

```

```

UART8_TXC_Handler:
; ** Wenn noch Bytes im Ringpuffer sind (SB_WritePos <> SB_ReadPos), wird das nächste gesendet

```

```

push   r16
in     r16,SREG
push   r16
push   r17
push   zl
push   zh
lds    r16,UART8_SB_WritePos
lds    r17,UART8_SB_ReadPos
cp     r16,r17
breq   UART8_AlleBytesGesendet
ldi    zl,LOW(UART8_SB_START)
ldi    zh,HIGH(UART8_SB_START)
lds    r16,UART8_SB_ReadPos
add    zl,r16
clr    r16
adc    zh,r16
ld     r16,z                    ; Hole Zeichen aus Ringpuffer

```

```

        out    UDR,r16                ; Und senden
        rcall UART8_Inc_SB_ReadPos
        rjmp  UART8_TXC_Ende        ; Springe zum Ende des IRQ's. Ein neuer IRQ wird ausgelöst, wenn das Byte gesendet wurde
UART8_AlleBytesGesendet:
        ldi   r16,1
        sts   UART8_SB_Empty,r16    ; SB_Empty auf 1 setzen -> Sendepuffer ist leer
UART8_TXC_Ende:
        pop   zh
        pop   zl
        pop   r17
        pop   r16
        out   SREG,r16
        pop   r16
        reti

```

.DSEG

```

UART8_SB_START:      .BYTE  16      ; Sendepuffer
UART8_SB_END:

UART8_RB_START:      .BYTE  2       ; Empfangspuffer (Grösse frei veränderbar, max. 256)
UART8_RB_END:

UART8_RB_WritePos:   .BYTE  1
UART8_RB_ReadPos:    .BYTE  1
UART8_SB_WritePos:   .BYTE  1
UART8_SB_ReadPos:    .BYTE  1
UART8_SB_Empty:      .BYTE  1

```

X9C104_lib_short.asm

```

; *****
;
; * Library:      X9C104_lib_short für AVR Prozessoren

```

```

;* Autor:      Oliver Dahmann
;* Version:    1.0
;* Beschreibung: Bibliothek mit verschiedenen Unterprogrammen
;*            zur Nutzung eines X9C104 (Xicor) Digital-
;*            Potentiometers (3-Draht-Bus, 100Stufen)
;*            weniger Funktionsumfang als die X9X104_lib
;*****
;
; keine der Routinen verändert Register

```

```
.CSEG
```

```

X9C_Reset:
; ** Schleifer auf 0, dann Standby-Mode
    push    r16
    ldi     r16,100
    rcall   X9C_WiperDownTo    ; 100 Schritte runter, also RW,RL=0 Ohm, RW,RH=100kOhm
    pop     r16
    ret

```

```

X9C_Select0:
    cbi     POT_PORT,POT_CS0    ; selektiere Poti0
    ret

```

```

X9C_Deselect0:
    sbi     POT_PORT,POT_CS0    ; selektiere Poti0
    ret

```

```

X9C_WiperUpTo:
; ** Schleifer r16 Stufen hoch
    push    r16
    sbi     POT_PORT,POT_UD      ; Up
    cpi     r16,0
    breq    X9C_WUT_Null
X9C_WUT:
    sbi     POT_PORT,POT_INC
    cbi     POT_PORT,POT_INC      ; fallende Flanke -> StepUp
    dec     r16
    brne   X9C_WUT
X9C_WUT_Null:
    pop     r16
    ret

```

```

X9C_WiperDownTo:
; ** Schleifer r16 Stufen runter
    push    r16
    cbi     POT_PORT,POT_UD      ; Down
    cpi     r16,0
    breq    X9C_WDT_Null
X9C_WDT:
    sbi     POT_PORT,POT_INC
    cbi     POT_PORT,POT_INC      ; fallende Flanke -> StepDown

```

```
    dec    r16
    brne  X9C_WDT
X9C_WDT_Null:
    pop   r16
    ret
```

SensorVerarbeitung_lib.asm

;*****

```

;* Library:      SensorVerarbeitung_lib
;* Autor:       Oliver Dahlmann
;* Version:     1.0
;* Beschreibung: Diese Bibliothek verknüpft einen
;*              Ultraschall-Messwert, einen Infrarot-Messwert
;*              und den Zustand des Stossstangenkontaktes zu
;*              einem wahrscheinlichen Entfernungswert
;*****
;
;
; Pre-Condition:
; IR-Wert in mm      : r19:r18
; US-Wert in mm     : r21:r20

; Post-Condition:
; Rückgabewert in mm : r23:r22
; Differenz          : r17:r16
; Status            : r24          (1->IR, 2->US)

.EQU  VertraueIRMax      =      700    ; unterhalb dieses Wertes (Rohdaten vom ADC) sind die Werte des IR-Sensors wenig vertrauenswürdig
.EQU  VertraueUSMin     =      140    ; unterhalb dieses Wertes sind die Ultraschalldaten unglaubwürdig
.EQU  USIR_Verschiebung =      100    ; Verschiebung des Wertes um n mm nach oben, sofern dieser nicht über den Stossstangentaster ermittelt wurde

.EQU  VVA_STATUS BUMPER =      3
.EQU  VVA_STATUS_US    =      2
.EQU  VVA_STATUS_IR    =      1

.CSEG

SensorVerarbeitung:
; ** Prüfen, welcher Wert kleiner ist, IR oder US
; ** IR-Wert in mm      : r19:r18
; ** US-Wert in mm     : r21:r20
; ** Ist US > IR ?
    cp      r21,r19
    brlo   SenV_US          ; IRhigh > UShigh
    brne   SenV_IR          ; IRhigh < UShigh
; ** USH=IRH, also Lowbytes vergleichen
    cp      r20,r18
    brsh   SenV_IR          ; UShigh = IRhigh, USlow > IRlow
SenV_US:
; ** IR >= US
    push   r19              ; IR Wert sichern
    push   r18

    sub    r18,r20
    sbc    r19,r21          ; Diff:=IR-US
    mov    r17,r19
    mov    r16,r18          ; Differenz in r17r16 absichern, wird von Debug-Routine ausgegeben

    pop    r18
    pop    r19              ; IR Wert wiederherstellen
    rjmp   SenV_returnUS

```

```

SenV_IR:
; ** US > IR
    push    r21                ; US Wert sichern
    push    r20
    sub     r20,r18
    sbc     r21,r19
    mov     r17,r21
    mov     r16,r20            ; Differenz in r17:r16 absichern, wird von Debug-Routine ausgegeben

    pop     r20
    pop     r21                ; US Wert wiederherstellen
; ** jetzt prüfen, ob der Infrarotwert > max. mm, dann Ultraschallwert benutzen
; ** sonst IR-Wert übergeben
    push    r21
    push    r20                ; US Wert absichern
    ldi     r20,LOW(VertraueIRmax)
    ldi     r21,HIGH(VertraueIRmax)
    sub     r20,r18
    sbc     r21,r19            ; (VertraueIRmax-IR)
    pop     r20
    pop     r21                ; US Wert wiederherstellen
    brpl   SenV_returnIR

SenV_returnUS:
; ** somit wird der Ultraschallwert übergeben
    mov     r23,r21
    mov     r22,r20
    ldi     r24,VVA_STATUS_US
    rjmp   SenV_Bumper

SenV_returnIR:
; ** Der Infrarotwert war im vertrauenswürdigen Messbereich, daher wird der IR-Wert zurückgegeben
    mov     r23,r19
    mov     r22,r18
    ldi     r24,VVA_STATUS_IR

SenV_Bumper:
; ** Als letztes die Kontakte in der Stosstange abfragen
    sbi     PORTC,BUMPER_LEFT
    sbi     PORTC,BUMPER_RIGHT    ; Pullup-Widerstände aktivieren
    in     r18,PINC
    andi   r18,((1<<BUMPER_LEFT)+(1<<BUMPER_RIGHT))
    cpi     r18,0                ; 0 wenn offen, 1 wenn geschlossen
    breq   SenV_End             ; wenn Bumper Kontakt -> Ausgabewert=0mm

SenV_BumperKontakt:
    clr     r23
    clr     r22                ; Rückgabewert = 0
    ldi     r24,VVA_STATUS_BUMPER
    ret

SenV_End:
; ** hier angekommen, wurde ein Wert vom US- oder IR-Sensor ermittelt
; ** die Taster in der Stosstange haben KEINE Berührung signalisiert
; ** Damit der RCX deutlich zwischen durch Zusammenstoß ermittelten und
; ** durch US oder IR ermittelten d=0 unterscheiden kann, wird hier auf den

```

```
; ** Rückgabe-Wert ein Offset in Höhe von n mm, spezifiziert durch 'USIR_Verschiebung'  
; ** am Beginn dieser Datei, addiert.  
    ldi    r18,LOW(USIR_Verschiebung)  
    add    r22,r18  
    ldi    r18,HIGH(USIR_Verschiebung)  
    adc    r23,r18  
    ret
```

RCX_Output_lib.asm

```
. *****  
,  
; * Library:      RCX_Output_lib für AVR Prozessoren
```



```

;* Autor:          Oliver Dahlmann
;* Version:        1.0
;* Beschreibung:   Bibliothek mit Ausgaberroutine für Lego-RCX-
;*                Ansteuerung
;*                Ein auszugebender 16Bit-Wert wird skaliert
;*                und im Nullpunkt verschoben um den Erfassungs-
;*                bereich des Lego RCX-Eingangs so weit wie
;*                möglich auszunutzen.
;*****
;
; Pre-Condition:
;r17:r16 ..        16Bit-Wert in mm für die Ausgabe, 0000 - 5000
; Post-Condition:
;r17:r16 ..        16Bit-Wert für D/A-Wandler
;
;
; Experimentell ermittelt: RCX 0x4200 entspricht einem DAC-Wert von 7200, RCX 0xFF40 entspricht einem DAC-Wert von 55000
; Veränderung nahezu linear
;
;
; DAC = DacMin + ((DacMax - DacMin) / Wertebereich) * Wert
;
; Mit einem Wertebereich von 0 .. 2000 mm lautet die Gleichung also:
;                7200 + ( 47800 / 5000 ) * Wert
;
; Rechenreihenfolge um Rundungsfehler zu vermeiden:
; E1=((DacMax-DacMin)*256)/Wertebereich, E2=E1*Wert, E3=DacMax-(E2/256)
;
; Wenn der übergebene Wert den Wertebereich übersteigt, wird Wert:=MAX(Wertebereich)
.EQU   DacMin      =      7200
.EQU   DacMax      =      55000

.CSEG

RCX_Output:
; ** in r19:r18 wird der Wertebereich übergeben (z.B. 5000 für 0..5000mm)
; ** in r17:r16 wird der Wert in mm übergeben
    push    r24
    push    r23
    push    r22
    push    r21
    push    r20

    cp      r17,r19          ; HighBytes vergleichen, Wert > Wertebereich?
    breq    RCXO_GleichHigh
    rjmp    RCXO_WerteUngleich
RCXO_GleichHigh:
    cp      r16,r18          ; LowBytes vergleichen
; wenn MAX(Wertebereich) = Wert -> C=0, Z=1
; wenn MAX(Wertebereich) < Wert -> C=0, Z=0
; wenn MAX(Wertebereich) > Wert -> C=1, Z=0

RCXO_WerteUngleich:
    brcs   RCXO_WertGueltig
    mov    r17,r19

```

```

    mov     r16,r18                ; da der Wert den Wertebereich überstieg, auf Maximum setzen
RCXO_WertGueltig:
    push   r17
    push   r16
    mov    r17,r19
    mov    r16,r18
    ldi   r22,HIGH(DacMax-DacMin)
    ldi   r21,LOW(DacMax-DacMin)
    clr   r20
    clr   r18
    rcall Divide24x24
    mov   r19,r1
    mov   r18,r0
    pop   r16
    pop   r17
    rcall Multi16x16
    ldi   r17,HIGH(DacMin)
    ldi   r16,LOW(DacMin)
    add   r16,r21
    adc   r17,r22
    pop   r20
    pop   r21
    pop   r22
    pop   r23
    pop   r24
    ret

```

EEPROM_lib.asm

```
; *****
```

```

;* Library:      EEPROM_lib für AVR Prozessoren
;* Autor:       Oliver Dahlmann
;* Version:     1.0
;* Beschreibung: Bibliothek mit Zugriffsroutinen für das
;*             interne EEPROM, basierend auf Application
;*             Note AVR100: Accessing the EEPROM von Atmel
;*****
;
;
;Achtung: r16 wird von EEPROM_Write und EEPROM_Read zerstört
.CSEG

EEPROM_Write:
    sbic    EECR,EEWE                ; vor dem Aufruf r16=Databyte, r17=Adress
    rjmp   EEPROM_Write            ; Warte, bis EEWE=0
    out    EEAR,r17
    out    EEDR,r16
    cli
    sbi    EECR,EEMWE                ; Master Write Enable
    sbi    EECR,EEWE                ; Write Strobe
    sei
    ret

EEPROM_Read:
    sbic    EECR,EEWE                ; vor dem Aufruf r16=Adress, nach dem Aufruf r16=Data
    rjmp   EEPROM_Read            ; Warte, bis EEWE=0, falls direkt nach EEPROM_Write aufgerufen
    out    EEAR,r16                ; Adresse ausgeben
    sbi    EECR,EERE                ; Read Strobe
    in    r16,EEDR
    ret

```